

Supplementary Materials

Discovery of Natural Dimeric Naphthopyrones as Potential Cytotoxic Agents Through ROS-mediated Apoptotic Pathway

Kuo Xu ^{1,†}, Chuanlong Guo ^{1,2,†}, Jie Meng ^{1,4}, Haiying Tian ⁵, Shuju Guo ^{1,*} and Dayong Shi ^{1,3,*}

¹ Chinese Academy of Sciences Key Laboratory of Experimental Marine Biology, Institute of Oceanology, Chinese Academy of Sciences, Qingdao 266071, China; xukuoworld@126.com (K.X.); gcl_cpu@126.com (C.G.); mengjie@qibebt.ac.cn (J.M.)

² Department of Pharmacy, College of Chemical Engineering, Qingdao University of Science and Technology, Qingdao 266042, China

³ State Key Laboratory of Microbial Technology, School of Life Science, Shandong University, No. 72 Binhai Road, Qingdao 266237, China

⁴ College of Resources and Environment, Qingdao Agricultural University, Qingdao 266109, China;

⁵ Technology Center, China Tobacco Henan Industrial Co., Ltd., Zhengzhou, 450000, China;
13623810925@126.com

* Correspondence: guoshuju@qdio.ac.cn (S.G.); shidayong@qdio.ac.cn (D.S.); Tel.: +86-532-82898741 (S.G.);
+86-532-82898719 (D.S.)

† These authors contributed equally to this work.

Table of Contents

NO.	Contents	Page
Figure S1	The UV spectrum of 1 in MeOH	S4
Figure S2	The ECD spectrum of 1 in MeOH	S4
Figure S3	The HR-ESI-MS data of 1	S5
Figure S4	The IR spectrum (KBr) of 1	S5
Figure S5	The ¹ H NMR spectrum (600 MHz) of 1 in DMSO- <i>d</i> ₆	S6
Figure S6	The ¹³ C NMR spectrum (150 MHz) of 1 in DMSO- <i>d</i> ₆	S6
Figure S7	The HSQC spectrum (600 MHz) of 1 in DMSO- <i>d</i> ₆	S7
Figure S8	The HMBC spectrum (600 MHz) of 1 in DMSO- <i>d</i> ₆	S7
Figure S9	The HR-ESI-MS data of 2	S8
Figure S10	The ¹ H NMR spectrum (600 MHz) of 2 in DMSO- <i>d</i> ₆	S8
Figure S11	The ¹³ C NMR spectrum (150 MHz) of 2 in DMSO- <i>d</i> ₆	S9
Figure S12	The HR-ESI-MS data of 3	S9
Figure S13	The ¹ H NMR spectrum (600 MHz) of 3 in acetone- <i>d</i> ₆	S10
Figure S14	The ¹³ C NMR spectrum (150 MHz) of 3 in acetone- <i>d</i> ₆	S10
Figure S15	The HR-ESI-MS data of 4	S11
Figure S16	The ¹ H NMR spectrum (600 MHz) of 4 in acetone- <i>d</i> ₆	S11
Figure S17	The ¹³ C NMR spectrum (150 MHz) of 4 in acetone- <i>d</i> ₆	S12

Figure S18	The HR-ESI-MS data of 5	S12
Figure S19	The ^1H NMR spectrum (600 MHz) of 5 in CDCl_3	S13
Figure S20	The ^{13}C NMR spectrum (150 MHz) of 5 in CDCl_3	S13
Figure S21	The HR-ESI-MS data of 6	S14
Figure S22	The ^1H NMR spectrum (600 MHz) of 6 in acetone- d_6	S14
Figure S23	The ^{13}C NMR spectrum (150 MHz) of 6 in acetone- d_6	S15
Figure S24	The HR-ESI-MS data of 7	S15
Figure S25	The ^1H NMR spectrum (600 MHz) of 7 in acetone- d_6	S16
Figure S26	The ^{13}C NMR spectrum (150 MHz) of 7 in acetone- d_6	S16
Figure S27	The HR-ESI-MS data of 8	S17
Figure S28	The ^1H NMR spectrum (600 MHz) of 8 in acetone- d_6	S17
Figure S29	The ^{13}C NMR spectrum (150 MHz) of 8 in acetone- d_6	S18
Figure S30	The HR-ESI-MS data of 9	S18
Figure S31	The ^1H NMR spectrum (600 MHz) of 9 in acetone- d_6	S19
Figure S32	The ^{13}C NMR spectrum (150 MHz) of 9 in acetone- d_6	S19
Figure S33	The HR-ESI-MS data of 10	S20
Figure S34	The ^1H NMR spectrum (600 MHz) of 10 in acetone- d_6	S20
Figure S35	The ^{13}C NMR spectrum (150 MHz) of 10 in acetone- d_6	S21
Figure S36	The HR-ESI-MS data of 11	S21
Figure S37	The ^1H NMR spectrum (600 MHz) of 11 in acetone- d_6	S22
Figure S38	The ^{13}C NMR spectrum (150 MHz) of 11 in acetone- d_6	S22
Figure S39	The HR-ESI-MS data of 12	S23
Figure S40	The ECD spectrum of 12 in MeOH	S23
Figure S41	The ^1H NMR spectrum (600 MHz) of 12 in acetone- d_6	S24
Figure S42	The ^{13}C NMR spectrum (150 MHz) of 12 in acetone- d_6	S24
Figure S43	The HR-ESI-MS data of 13	S25
Figure S44	The ^1H NMR spectrum (600 MHz) of 13 in acetone- d_6	S25
Figure S45	The ^{13}C NMR spectrum (150 MHz) of 13 in acetone- d_6	S26
Figure S46	The HR-ESI-MS data of 14	S26
Figure S47	The ^1H NMR spectrum (600 MHz) of 14 in DMSO- d_6	S27
Figure S48	The ^{13}C NMR spectrum (150 MHz) of 14 in DMSO- d_6	S27
Figure S49	The HR-ESI-MS data of 15	S28
Figure S50	The ^1H NMR spectrum (600 MHz) of 15 in acetone- d_6	S28
Figure S51	The ^{13}C NMR spectrum (150 MHz) of 15 in acetone- d_6	S29
Figure S52	The HR-ESI-MS data of 16	S29

Figure S53	The ^1H NMR spectrum (600 MHz) of 16 in acetone- d_6	S30
Figure S54	The ^{13}C NMR spectrum (150 MHz) of 16 in acetone- d_6	S30
Figure S55	The HR-ESI-MS data of 17	S31
Figure S56	The ^1H NMR spectrum (600 MHz) of 17 in acetone- d_6	S31
Figure S57	The ^{13}C NMR spectrum (150 MHz) of 17 in acetone- d_6	S32
Figure S58	The HR-ESI-MS data of 18	S32
Figure S59	The ^1H NMR spectrum (600 MHz) of 18 in acetone- d_6	S33
Figure S60	The ^{13}C NMR spectrum (150 MHz) of 18 in acetone- d_6	S33
—	General procedure for ECD calculations of compounds 1 and 12	S34–S36
—	Analytical HPLC spectra for all isolated compounds (1 – 18)	S37–S54

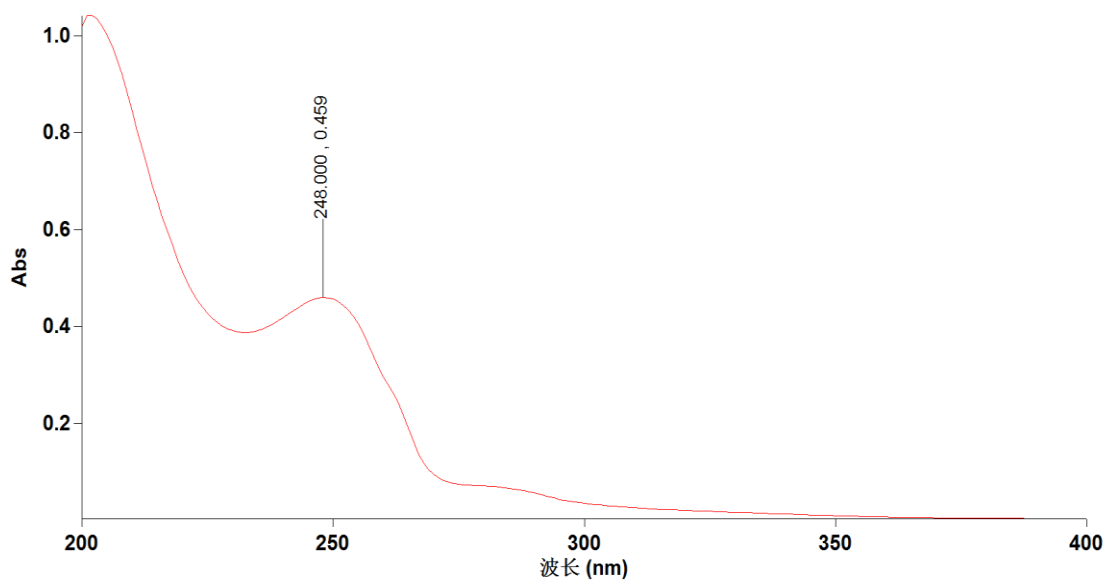


Figure S1. The UV spectrum of **1** in MeOH

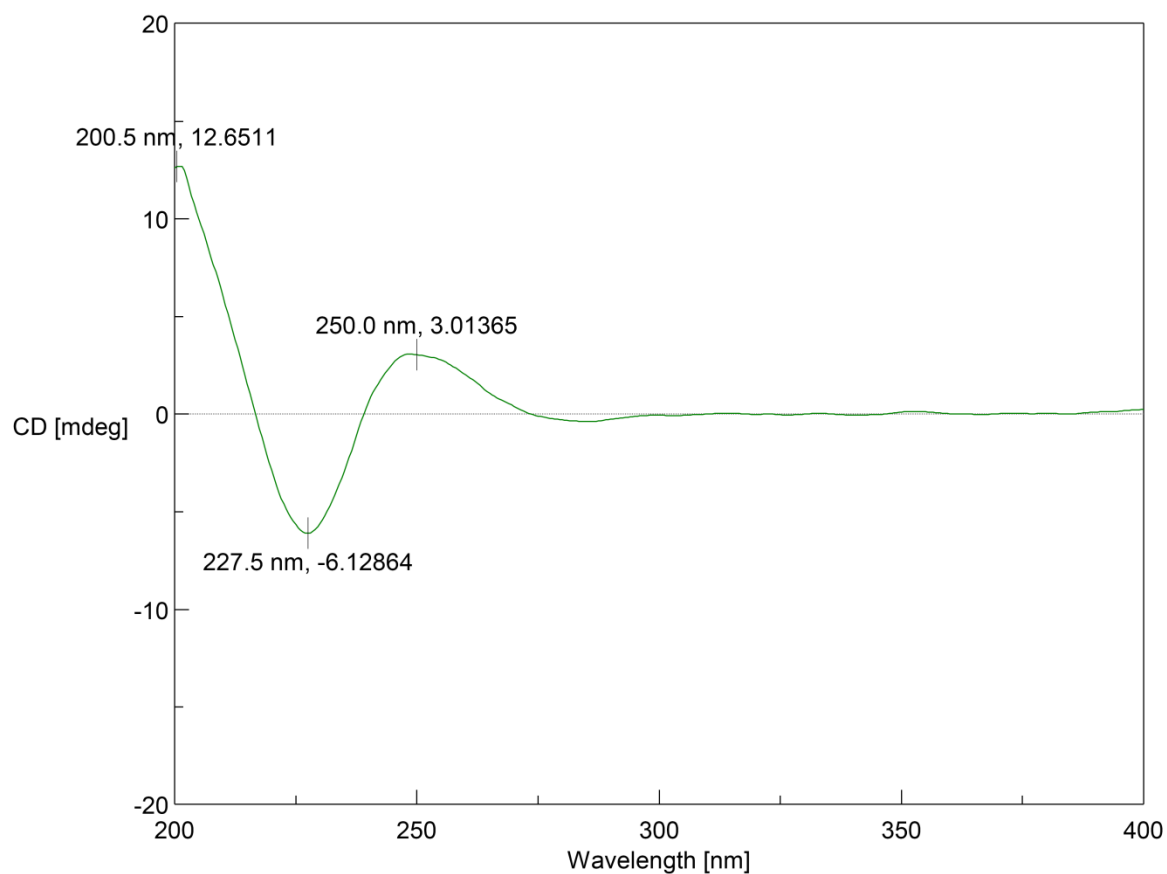


Figure S2. The ECD spectrum of **1** in MeOH

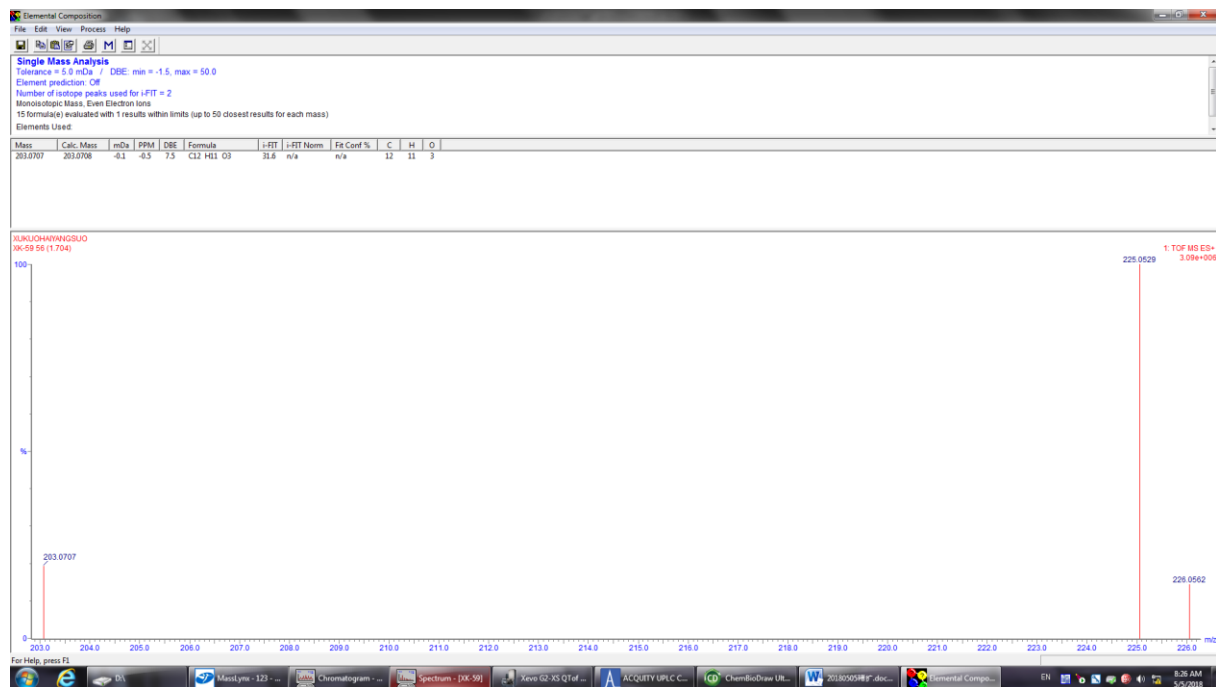


Figure S3. The HR-ESI-MS data of 1

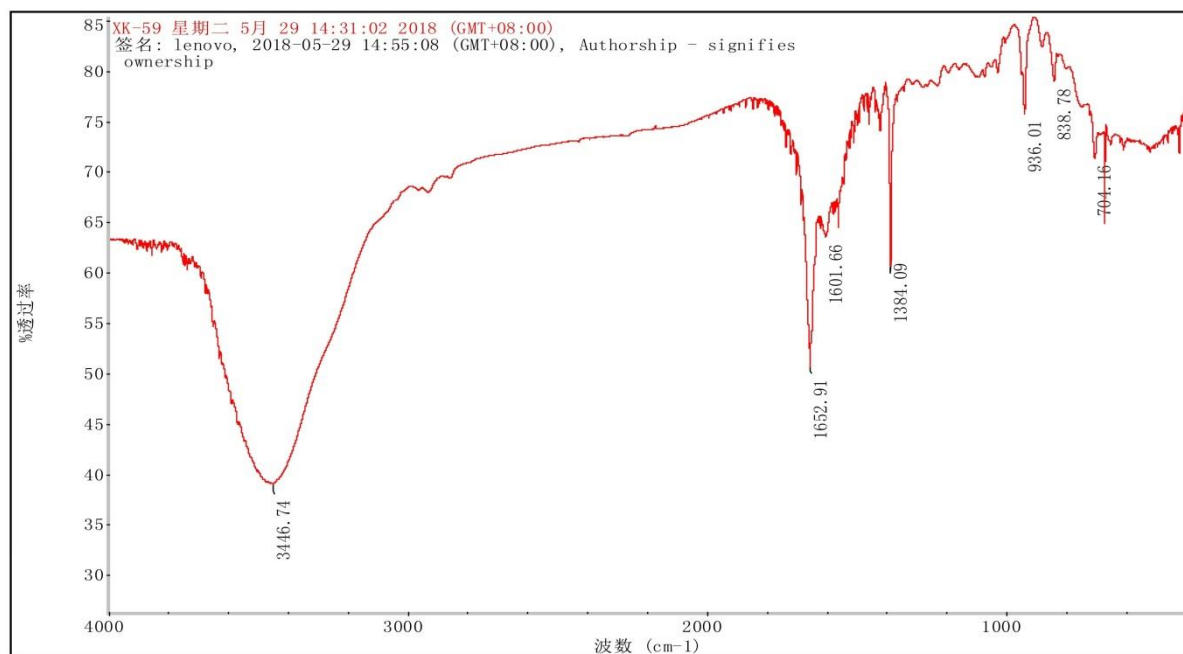


Figure S4. The IR spectrum (KBr) of 1

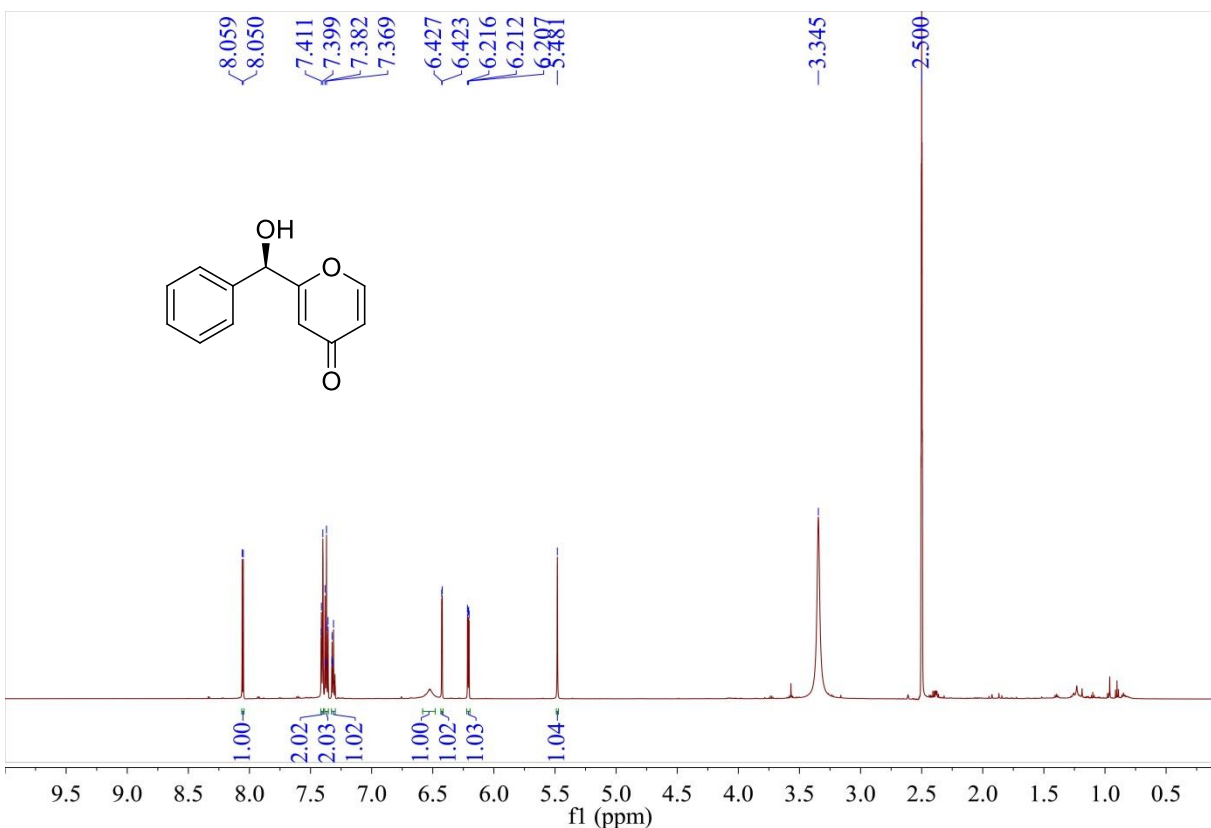


Figure S5. The ¹H NMR spectrum (600 MHz) of **1** in DMSO-*d*₆

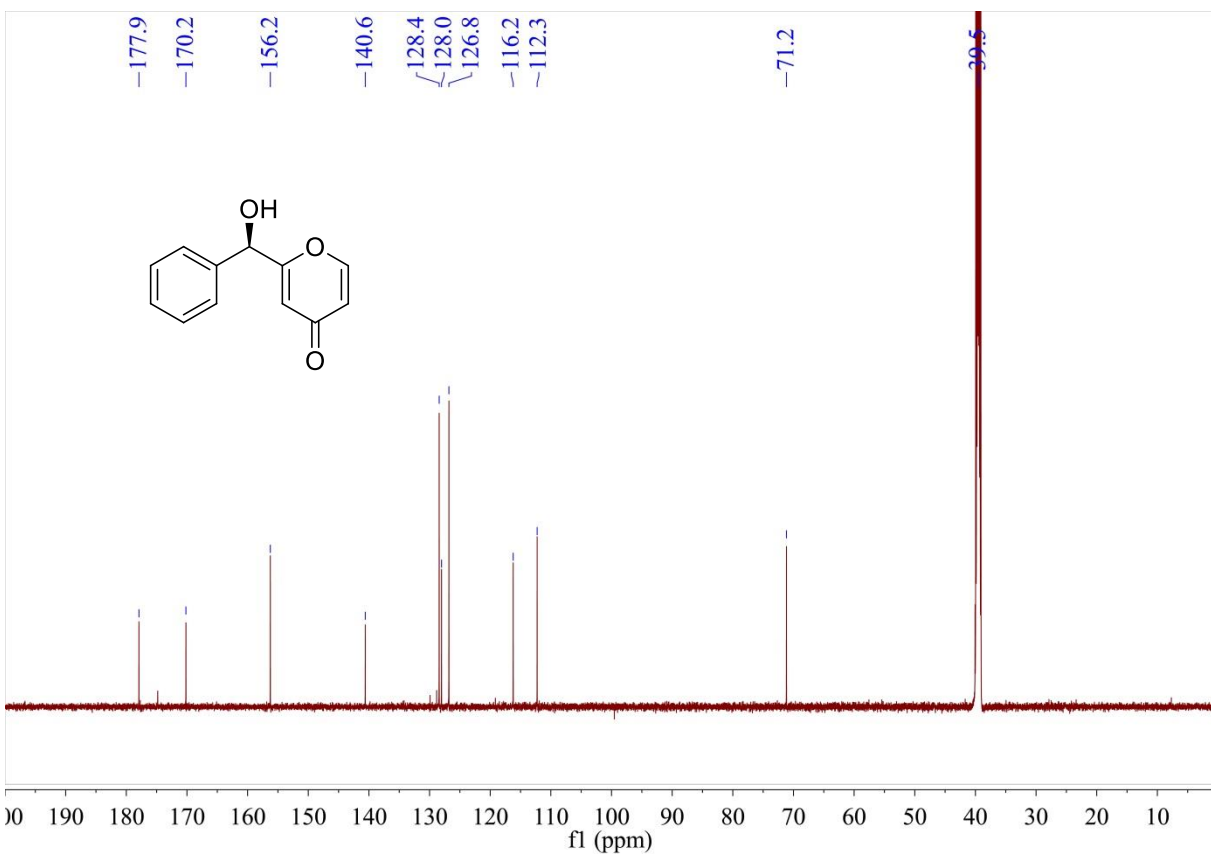


Figure S6. The ¹³C NMR spectrum (150 MHz) of **1** in DMSO-*d*₆

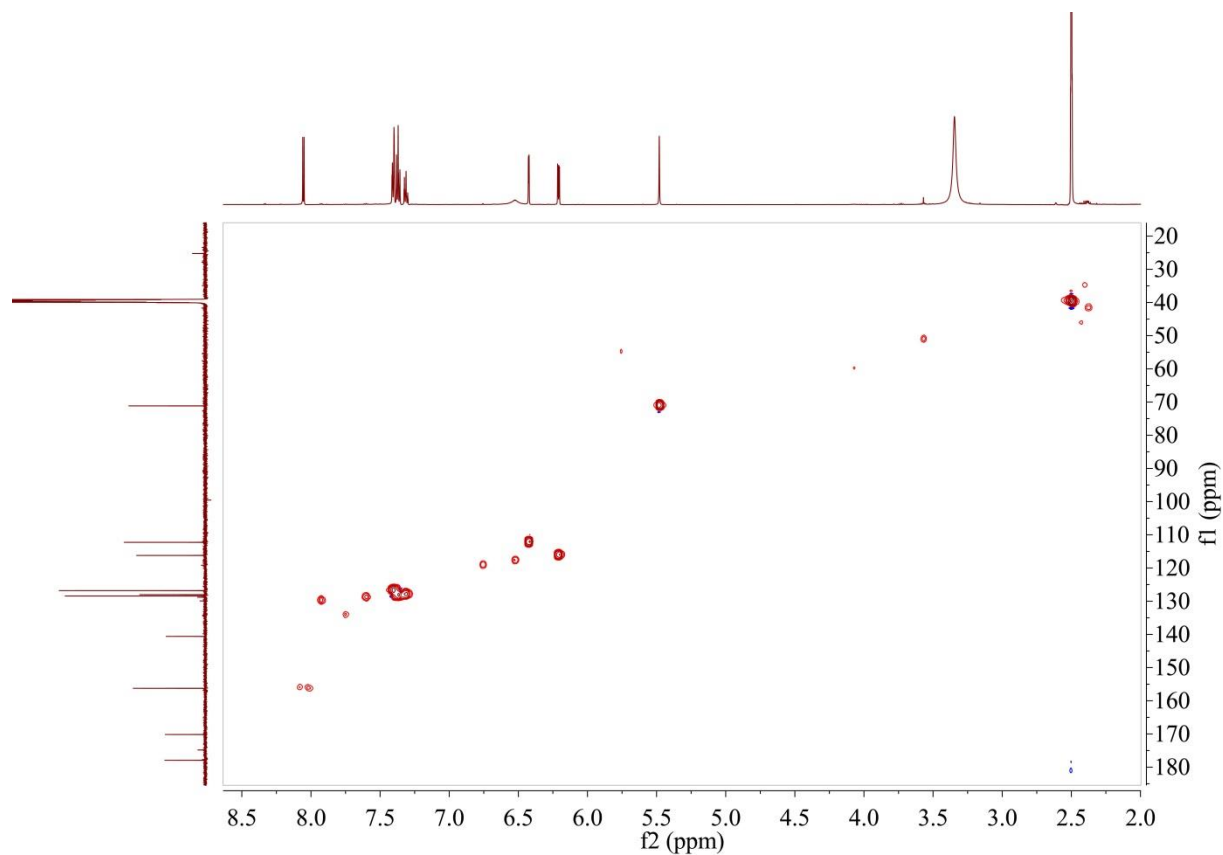


Figure S7. The HSQC spectrum (600 MHz) of **1** in $\text{DMSO}-d_6$

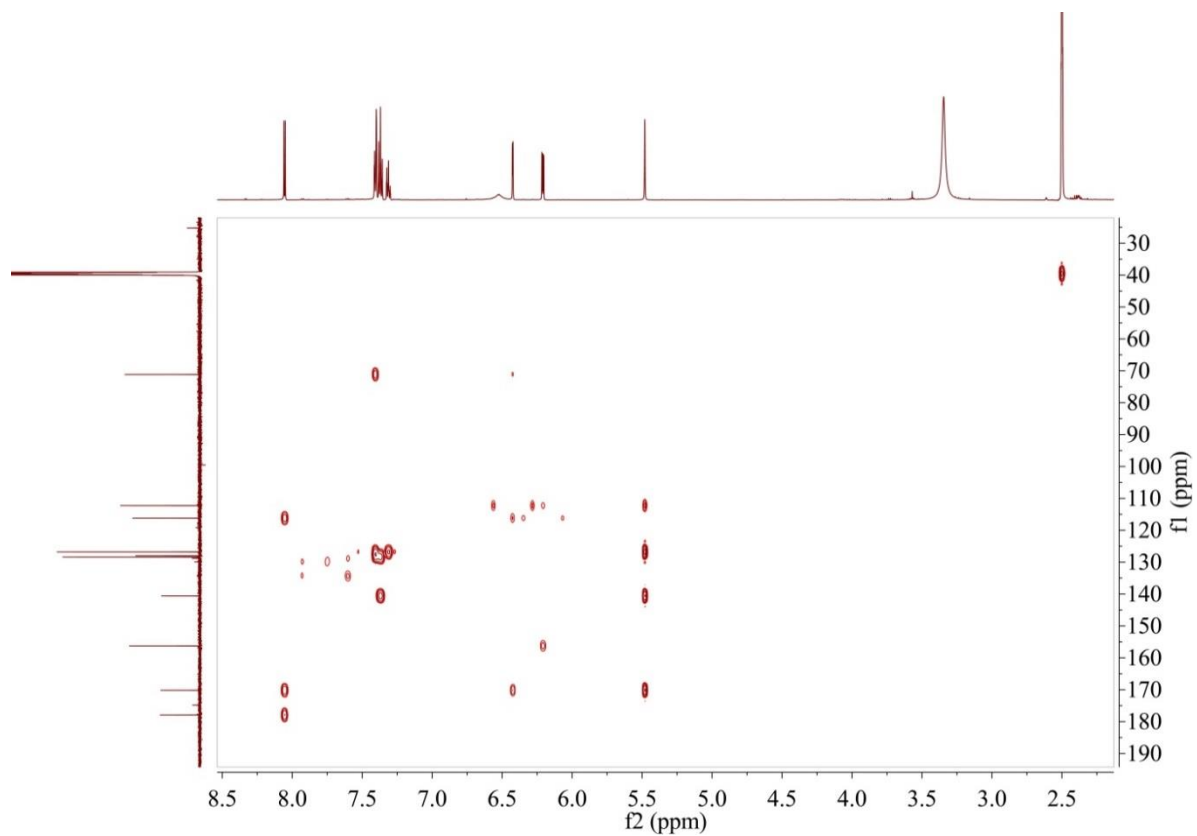


Figure S8. The HMBC spectrum (600 MHz) of **1** in $\text{DMSO}-d_6$

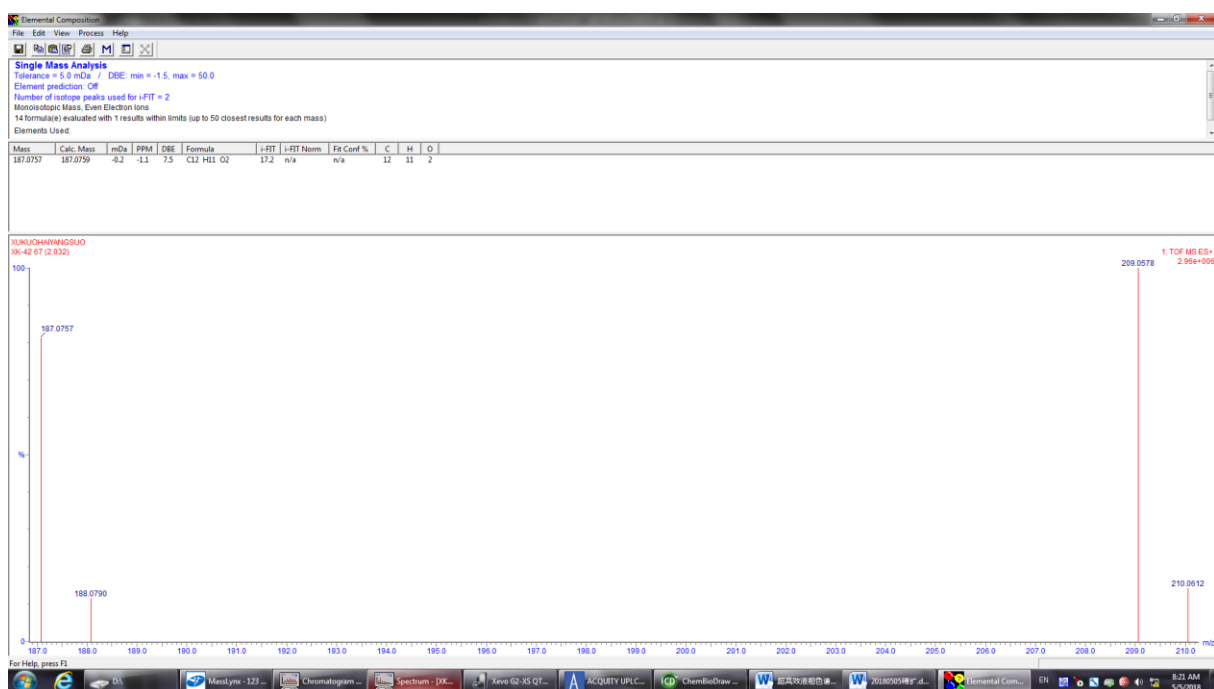


Figure S9. The HR-ESI-MS data of 2

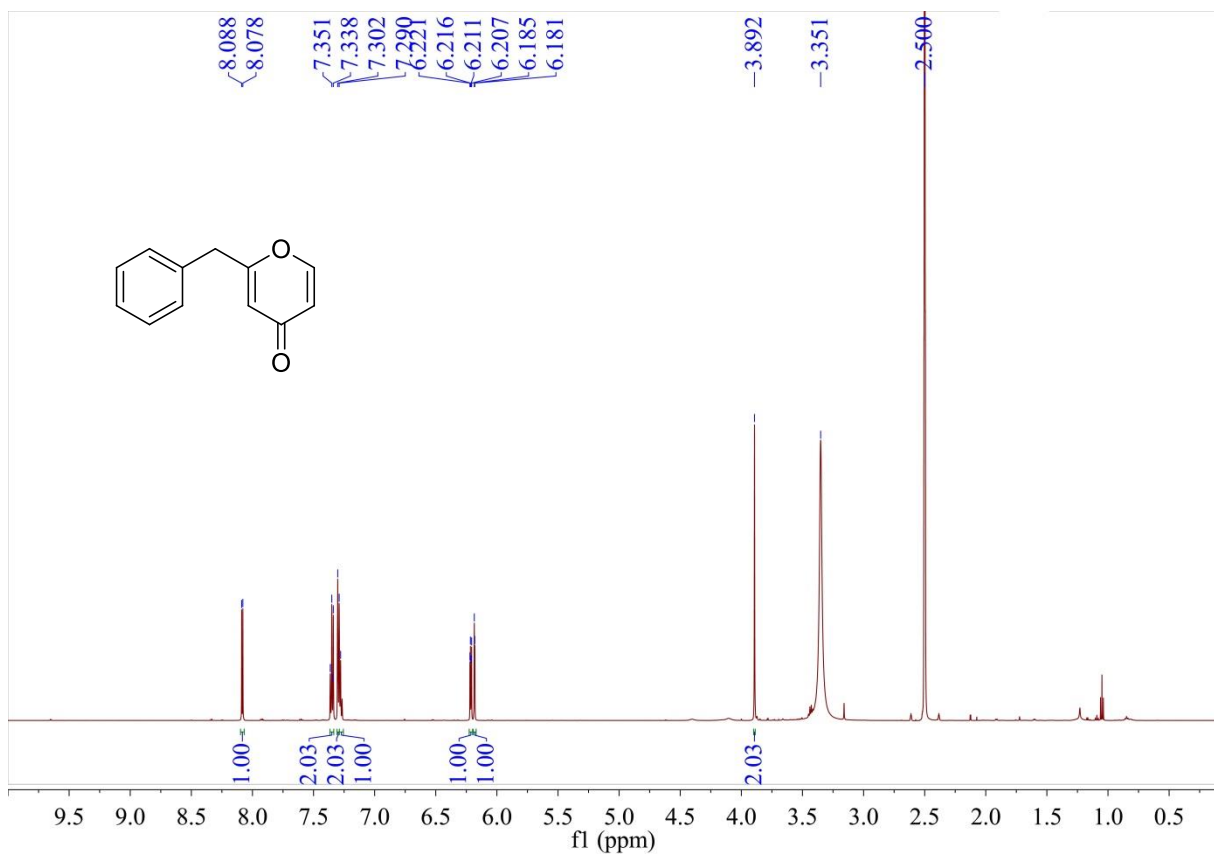


Figure S10. The ^1H NMR spectrum (600 MHz) of **2** in $\text{DMSO}-d_6$

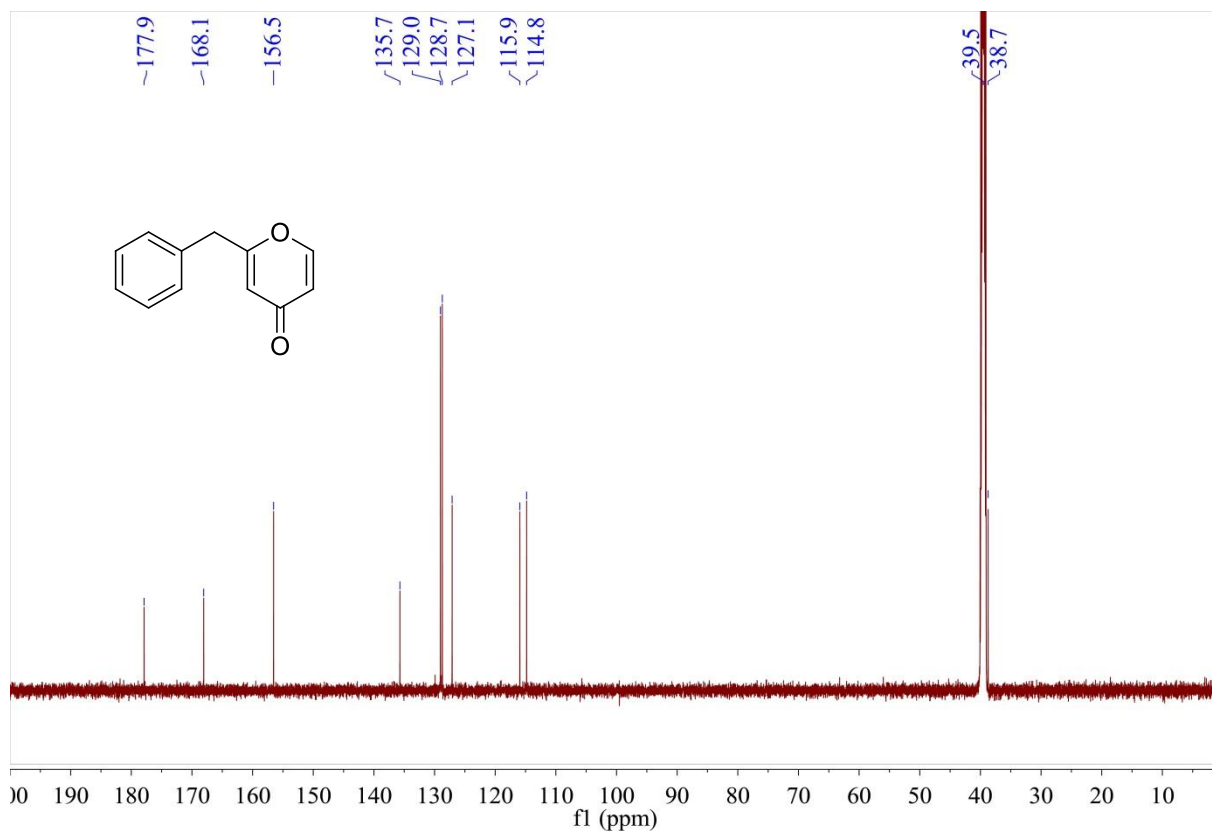


Figure S11. The ^{13}C NMR spectrum (150 MHz) of **2** in $\text{DMSO}-d_6$

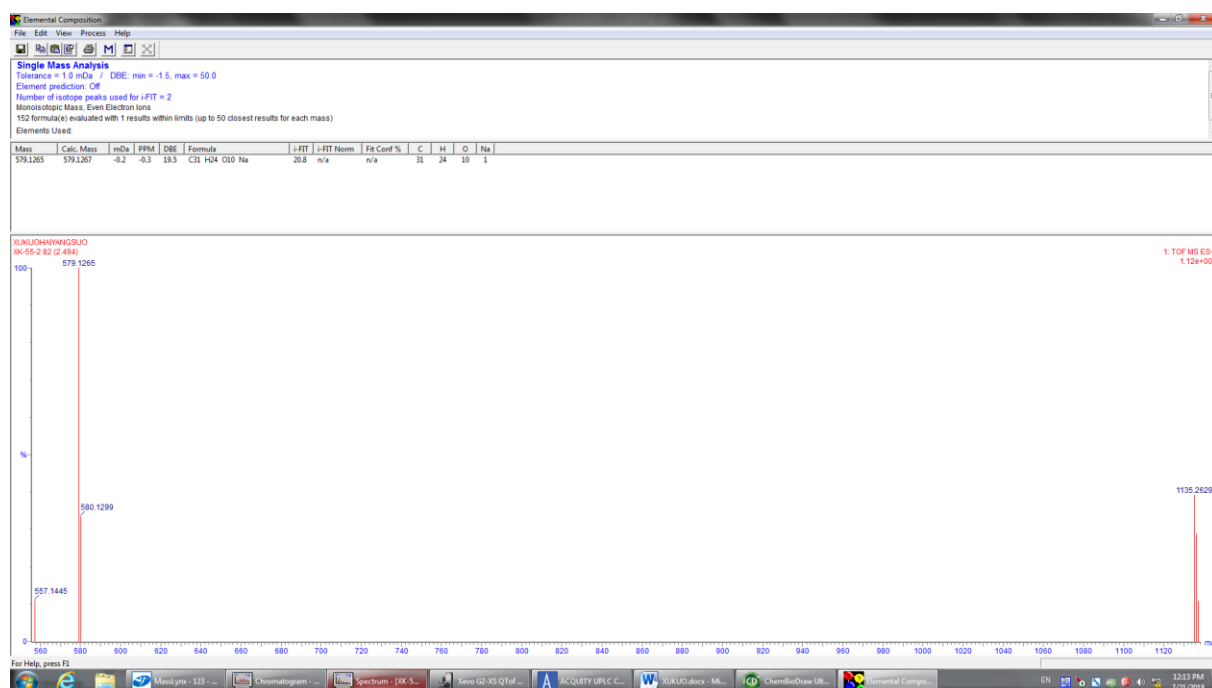


Figure S12. The HR-ESI-MS data of **3**

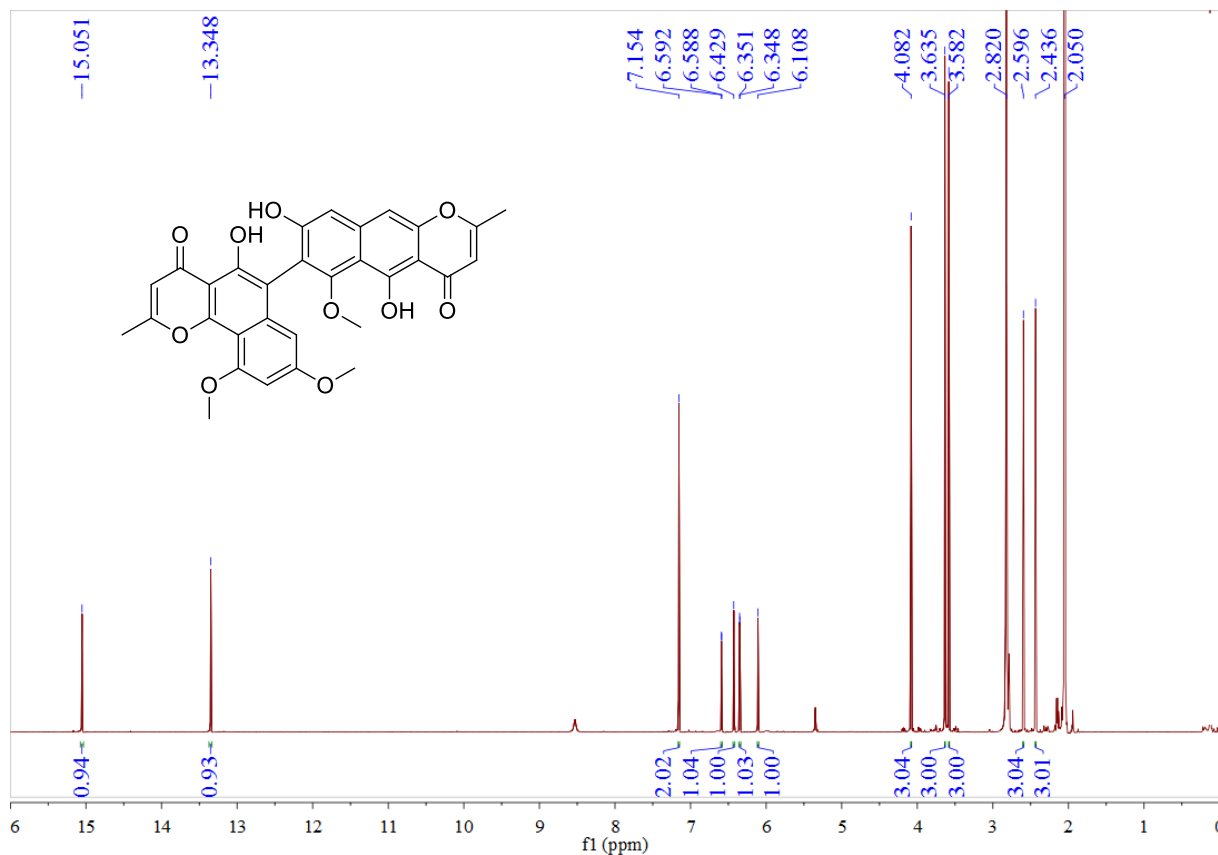


Figure S13. The ^1H NMR spectrum (600 MHz) of 3 in acetone- d_6

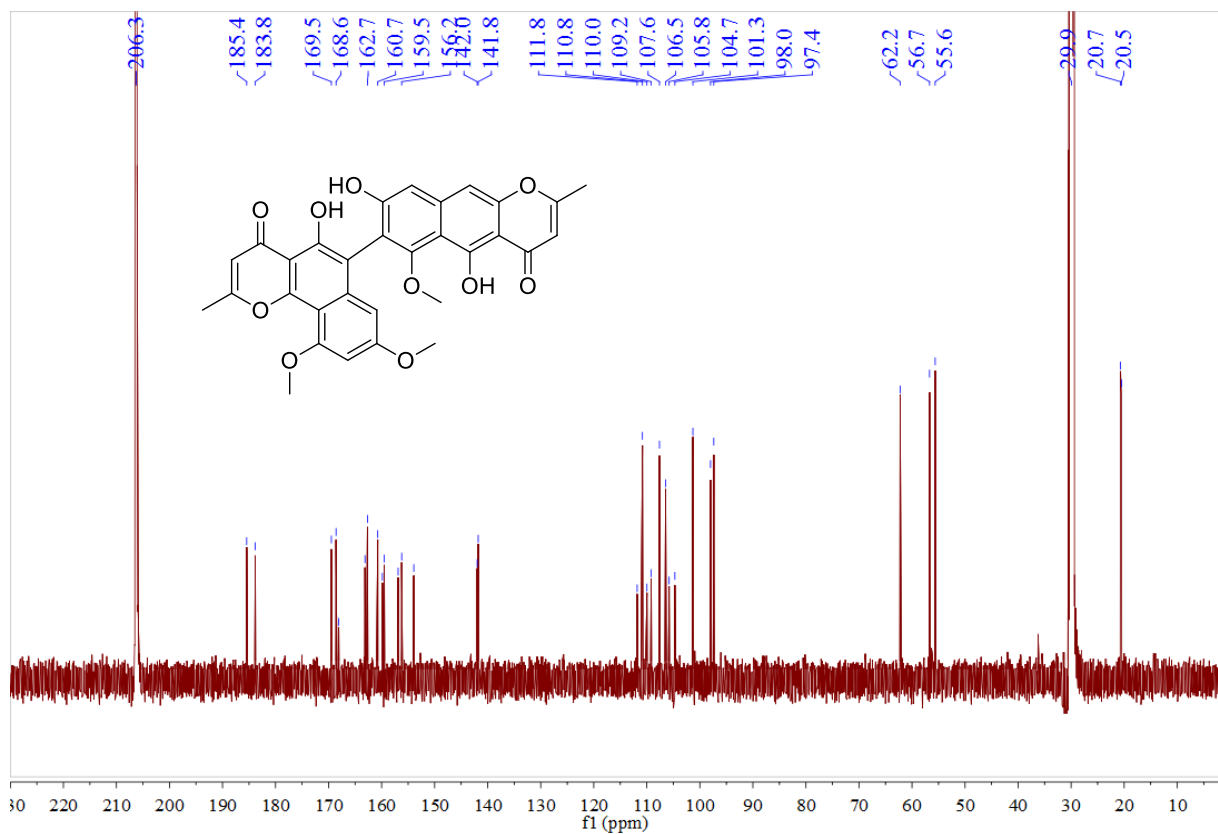


Figure S14. The ^{13}C NMR spectrum (150 MHz) of 3 in acetone- d_6

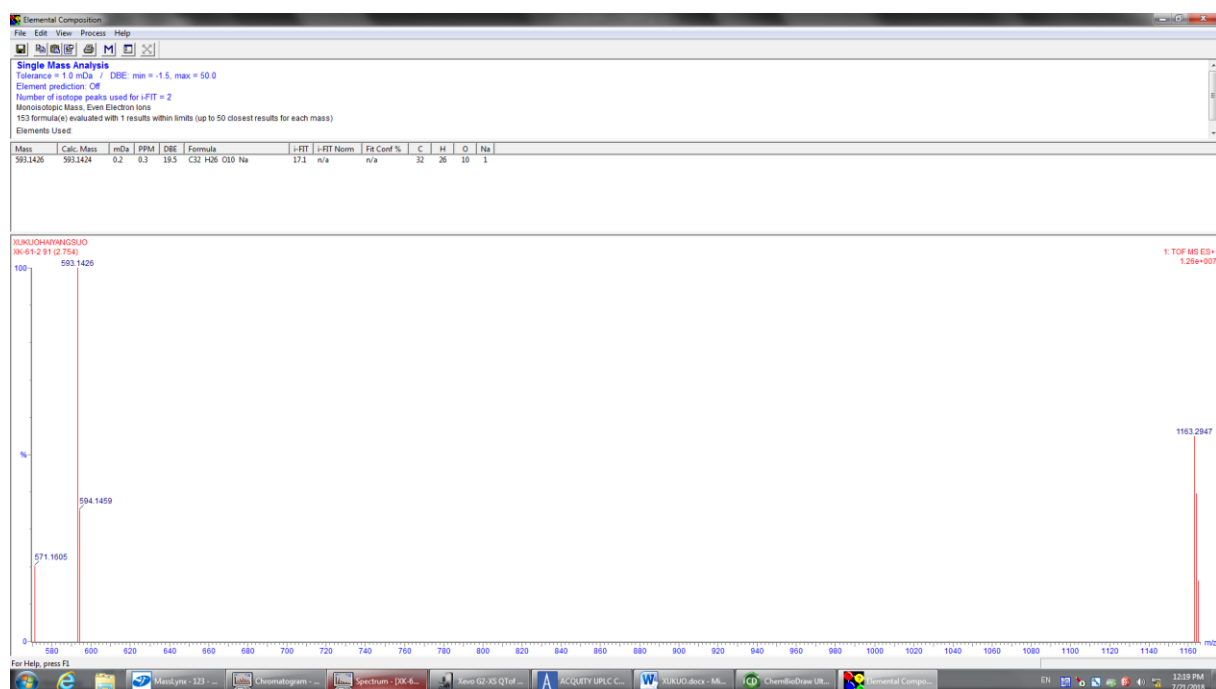


Figure S15. The HR-ESI-MS data of 4

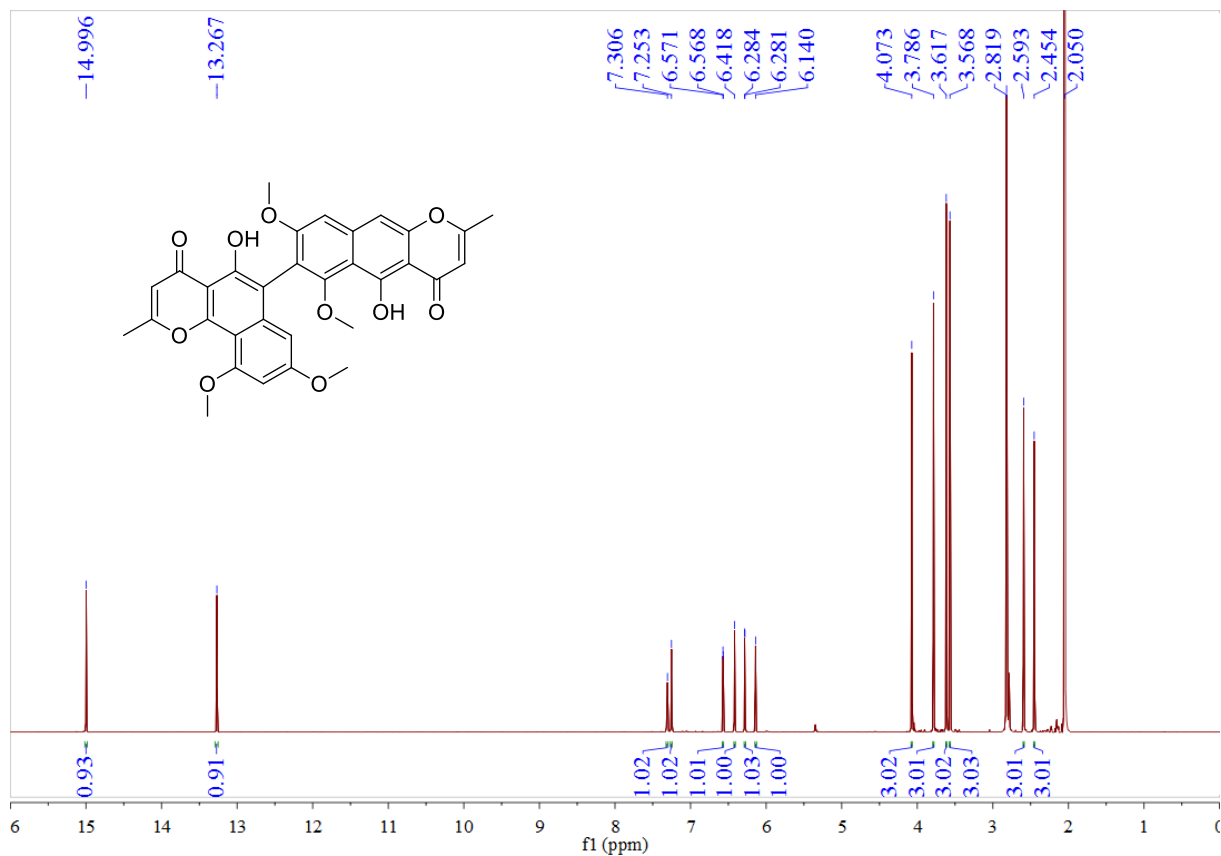


Figure S16. The ¹H NMR spectrum (600 MHz) of 4 in acetone-*d*₆

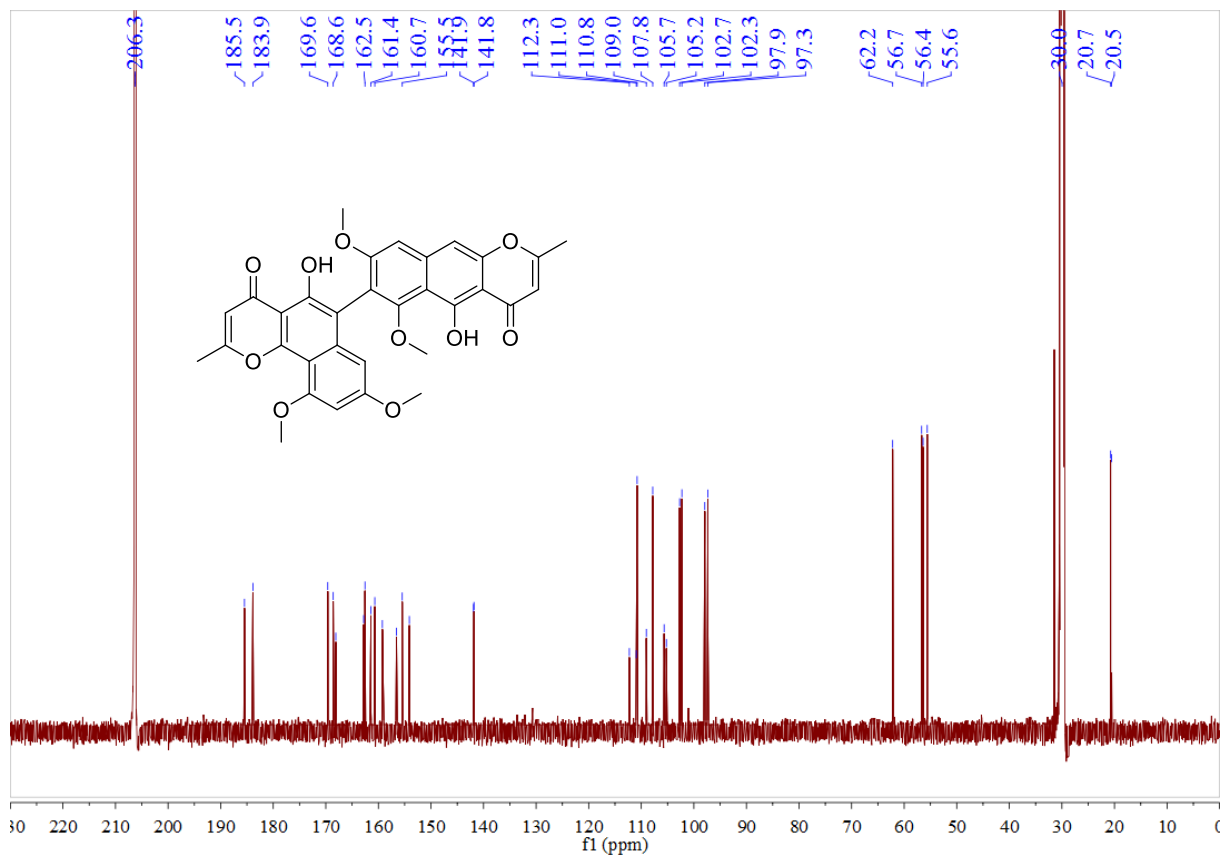


Figure S17. The ^{13}C NMR spectrum (150 MHz) of **4** in acetone- d_6

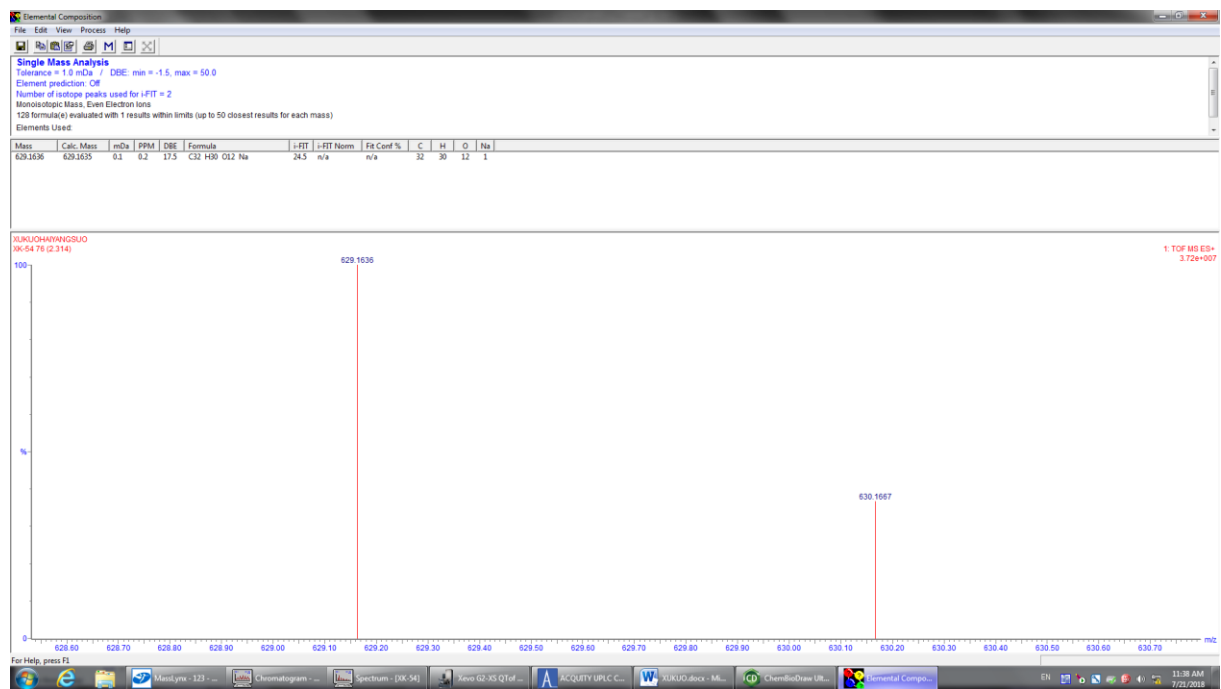


Figure S18. The HR-ESI-MS data of **5**

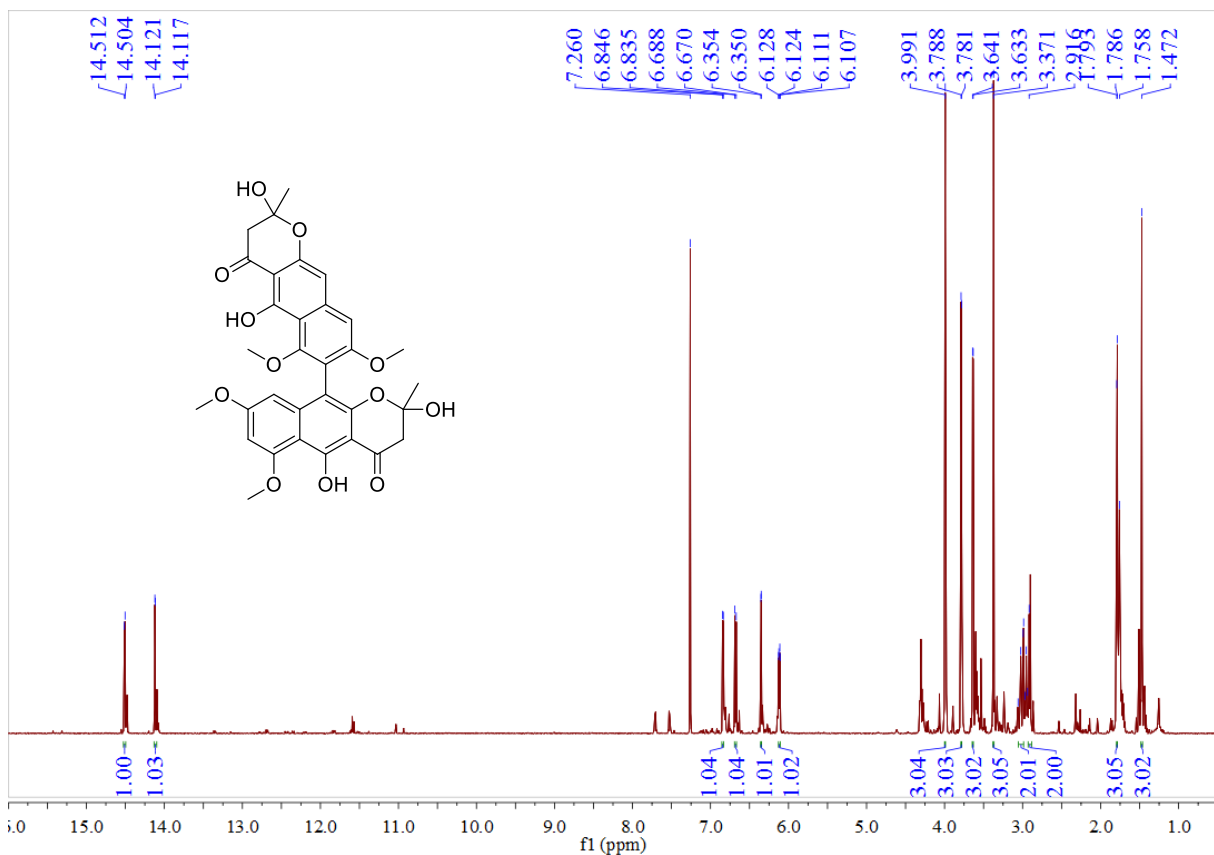


Figure S19. The ^1H NMR spectrum (600 MHz) of **5** in CDCl_3

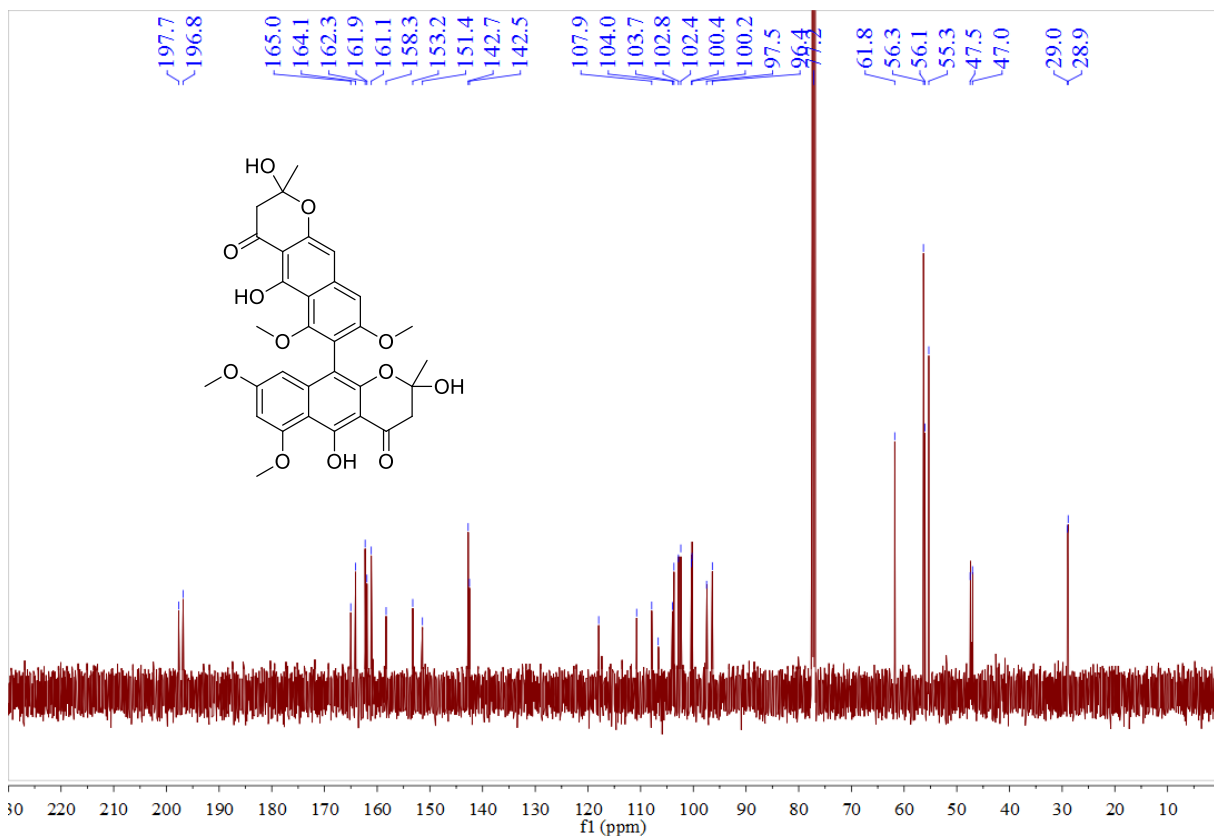


Figure S20. The ^{13}C NMR spectrum (150 MHz) of **5** in CDCl_3

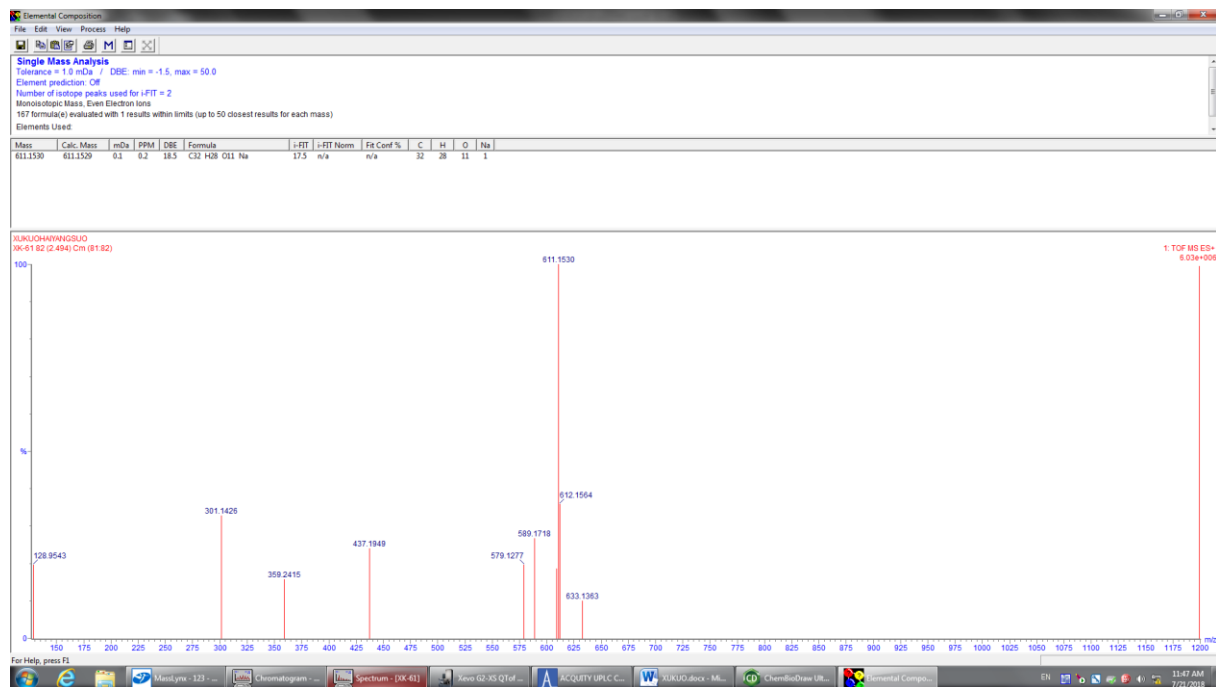


Figure S21. The HR-ESI-MS data of **6**

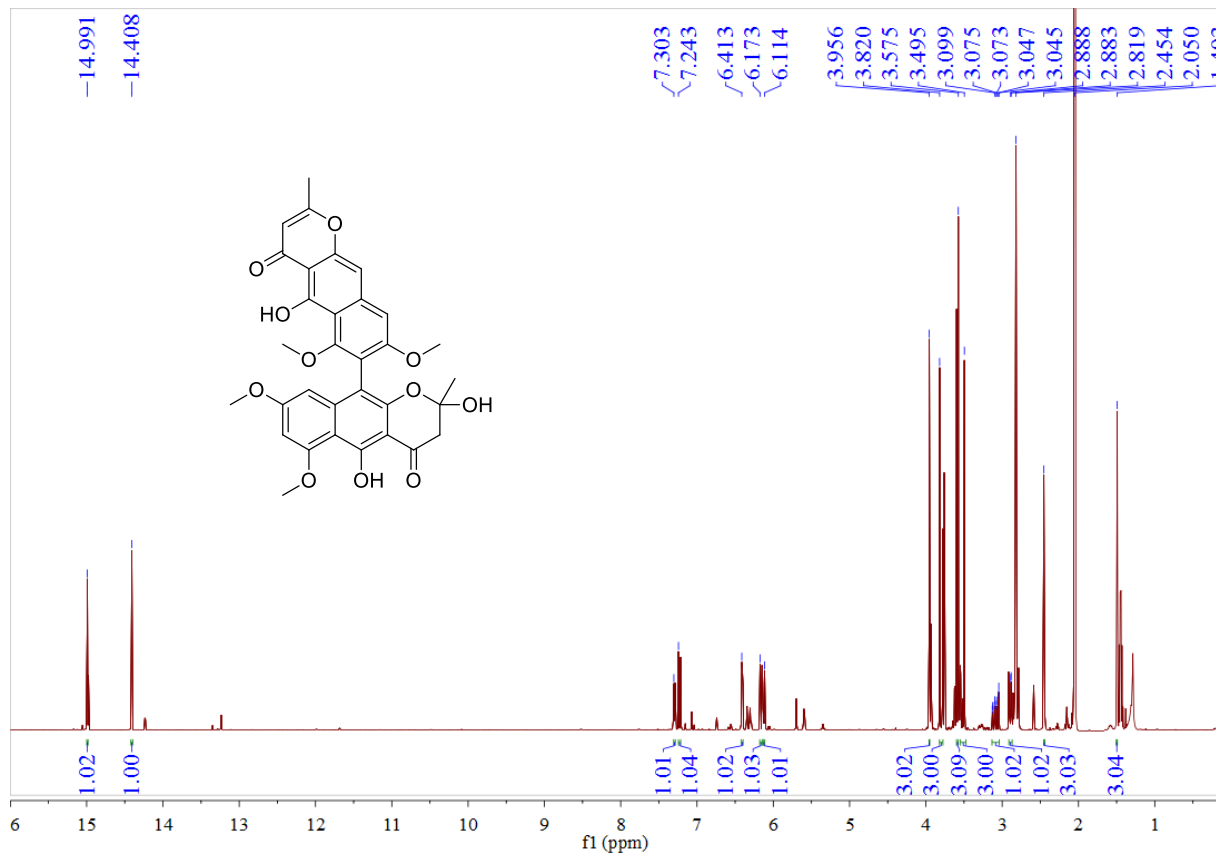


Figure S22. The ^1H NMR spectrum (600 MHz) of **6** in acetone- d_6

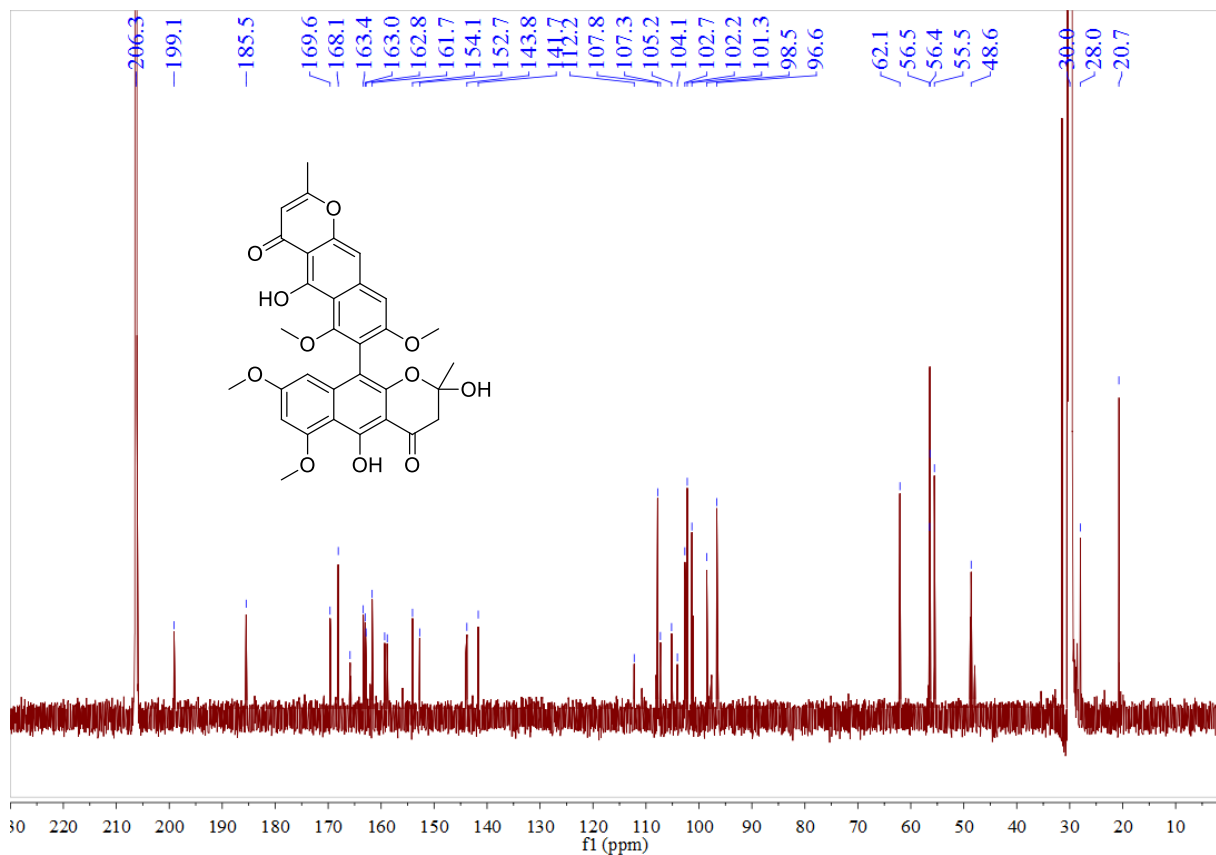


Figure S23. The ^{13}C NMR spectrum (150 MHz) of **6** in acetone- d_6

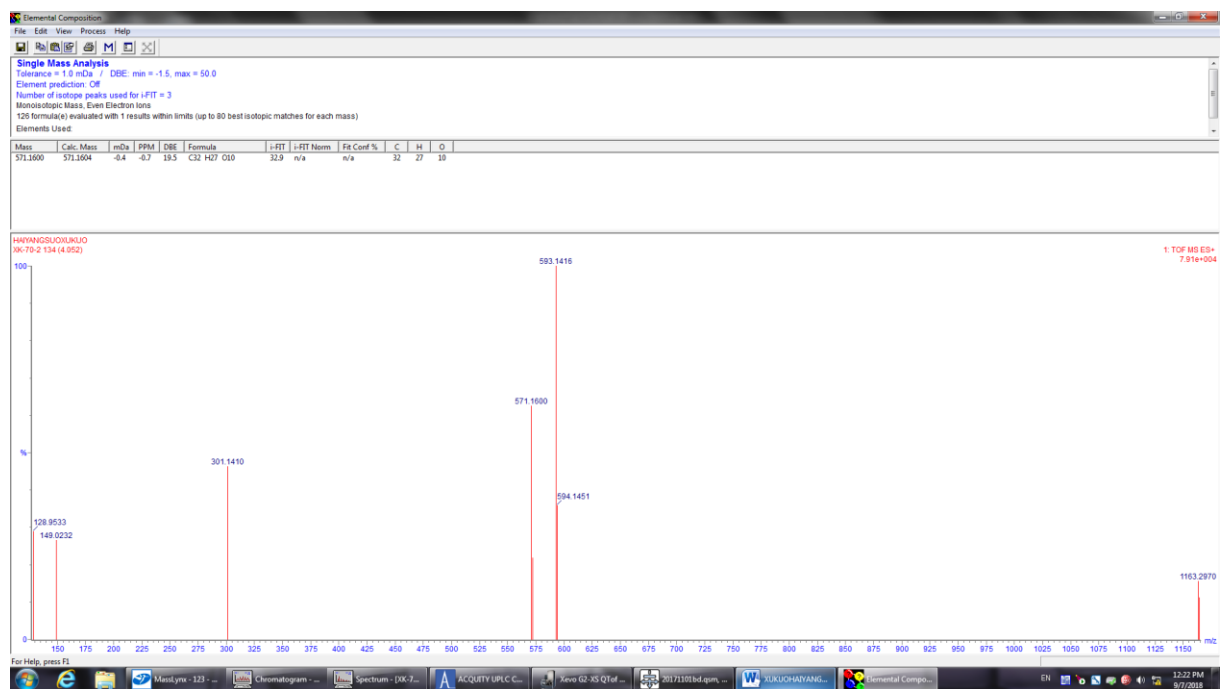


Figure S24. The HR-ESI-MS data of **7**

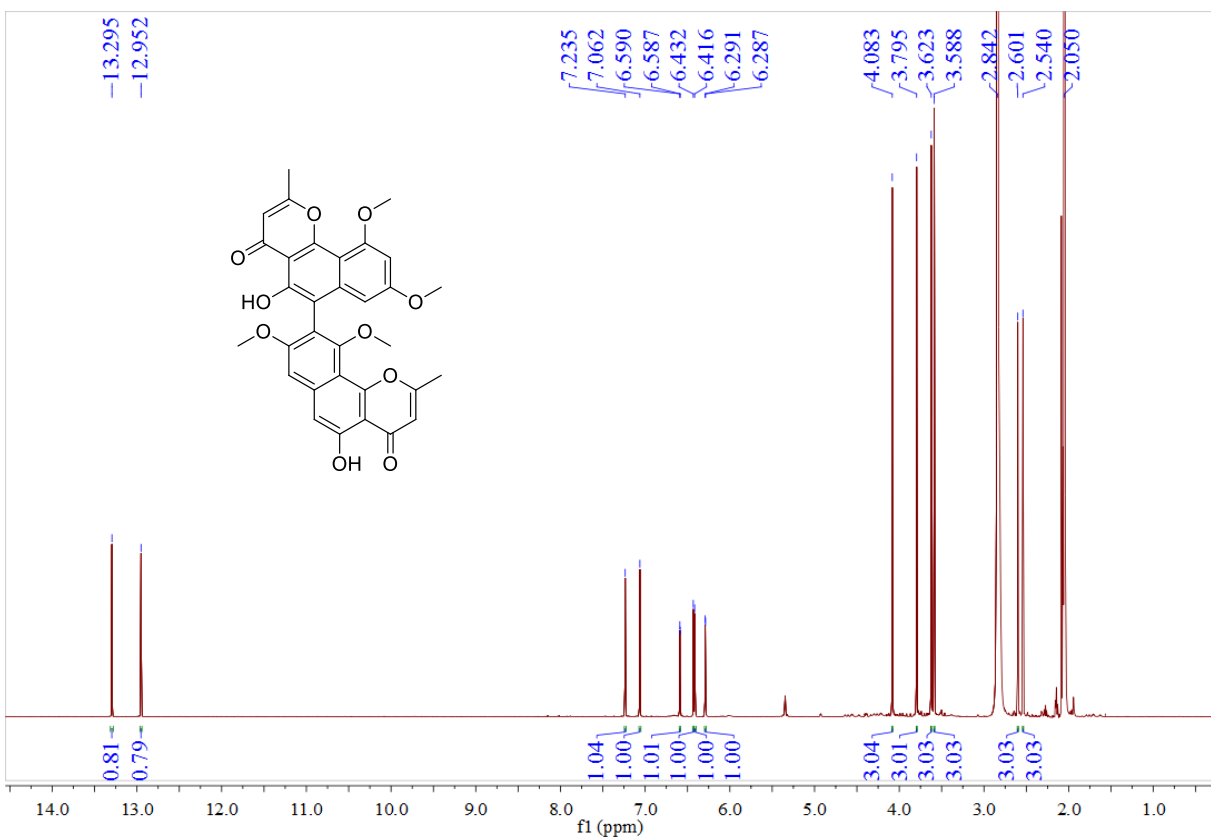


Figure S25. The ^1H NMR spectrum (600 MHz) of 7 in acetone- d_6

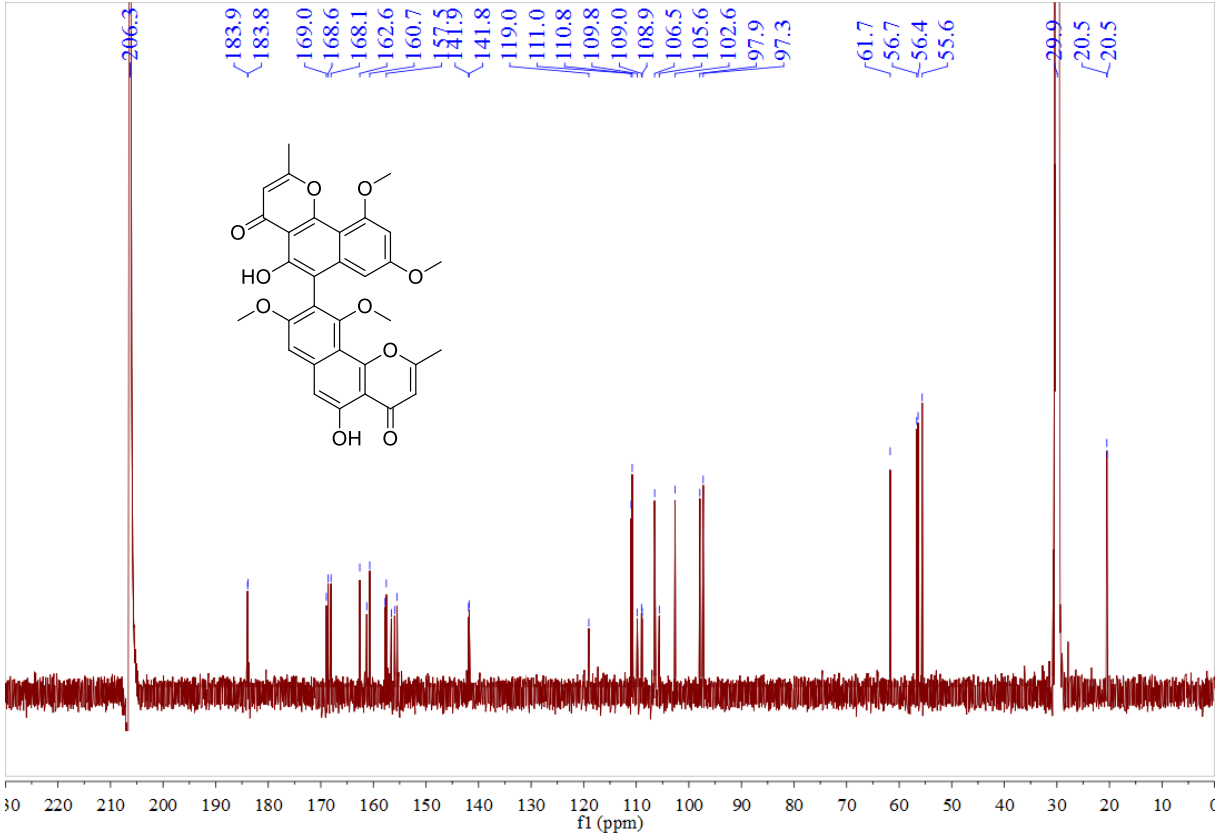


Figure S26. The ^{13}C NMR spectrum (150 MHz) of 7 in acetone- d_6

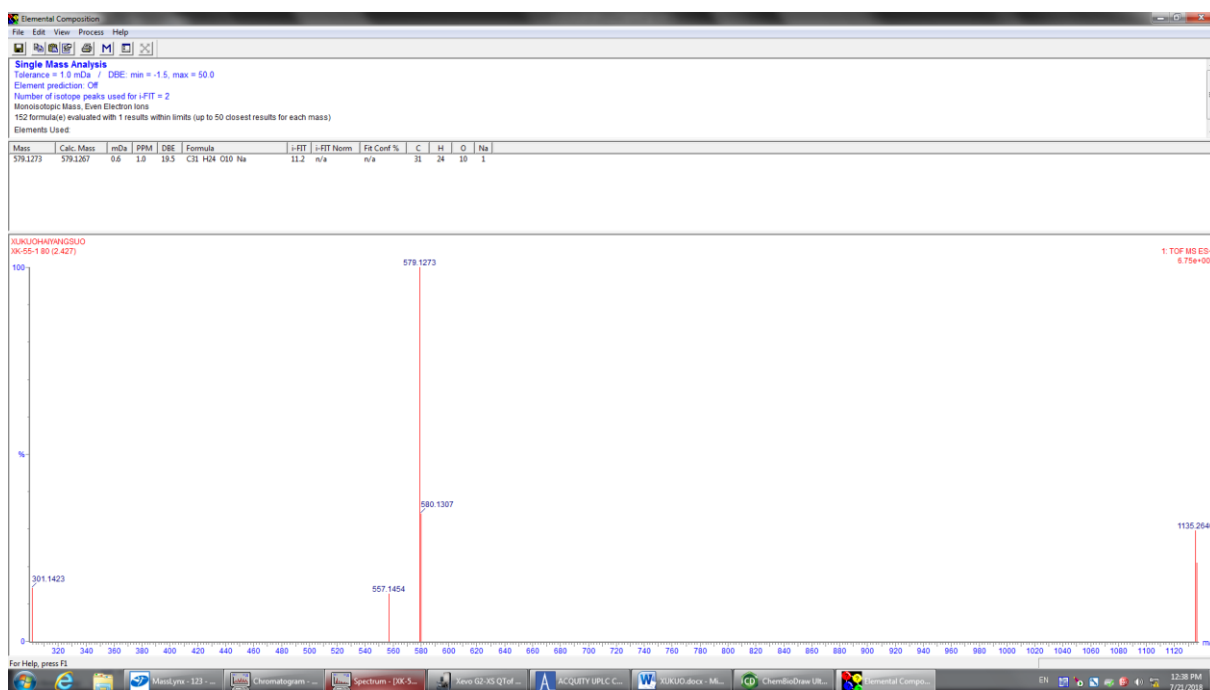


Figure S27. The HR-ESI-MS data of **8**

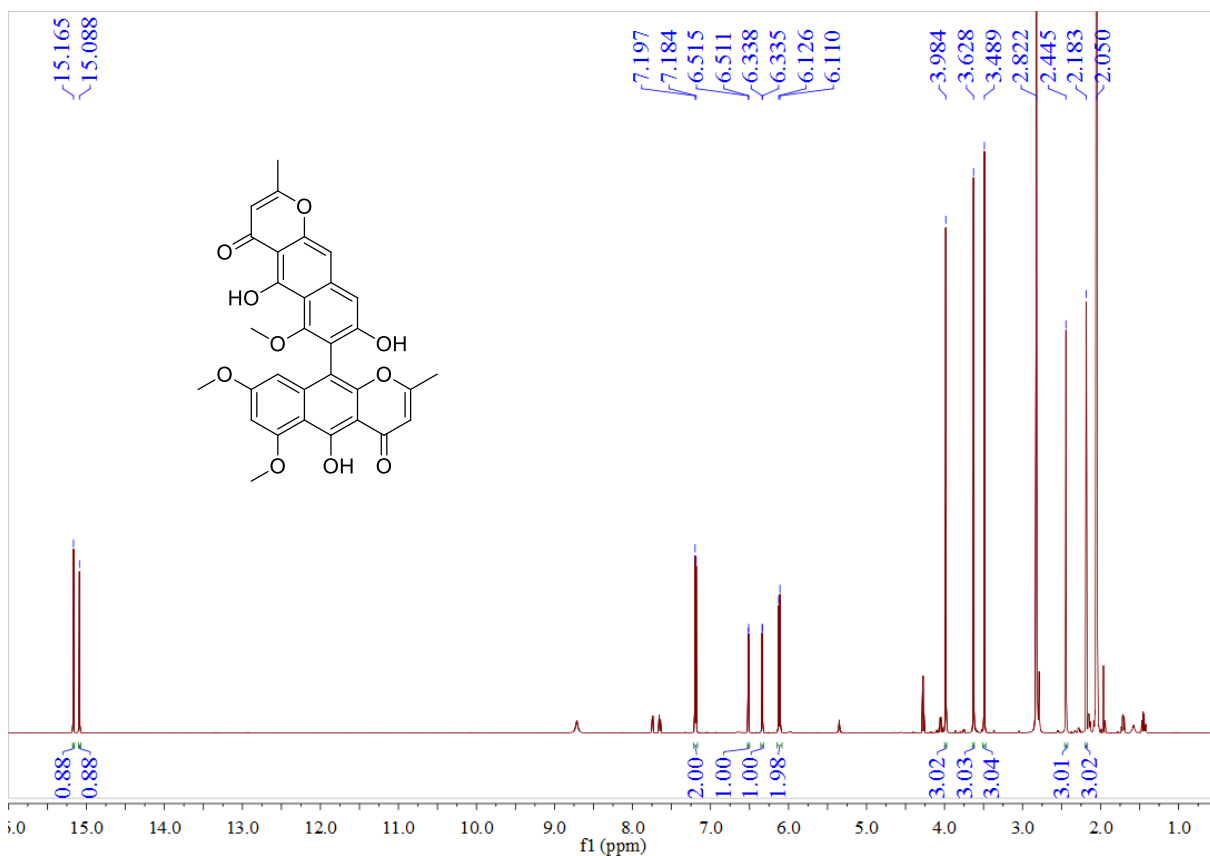


Figure S28. The ^1H NMR spectrum (600 MHz) of **8** in acetone- d_6

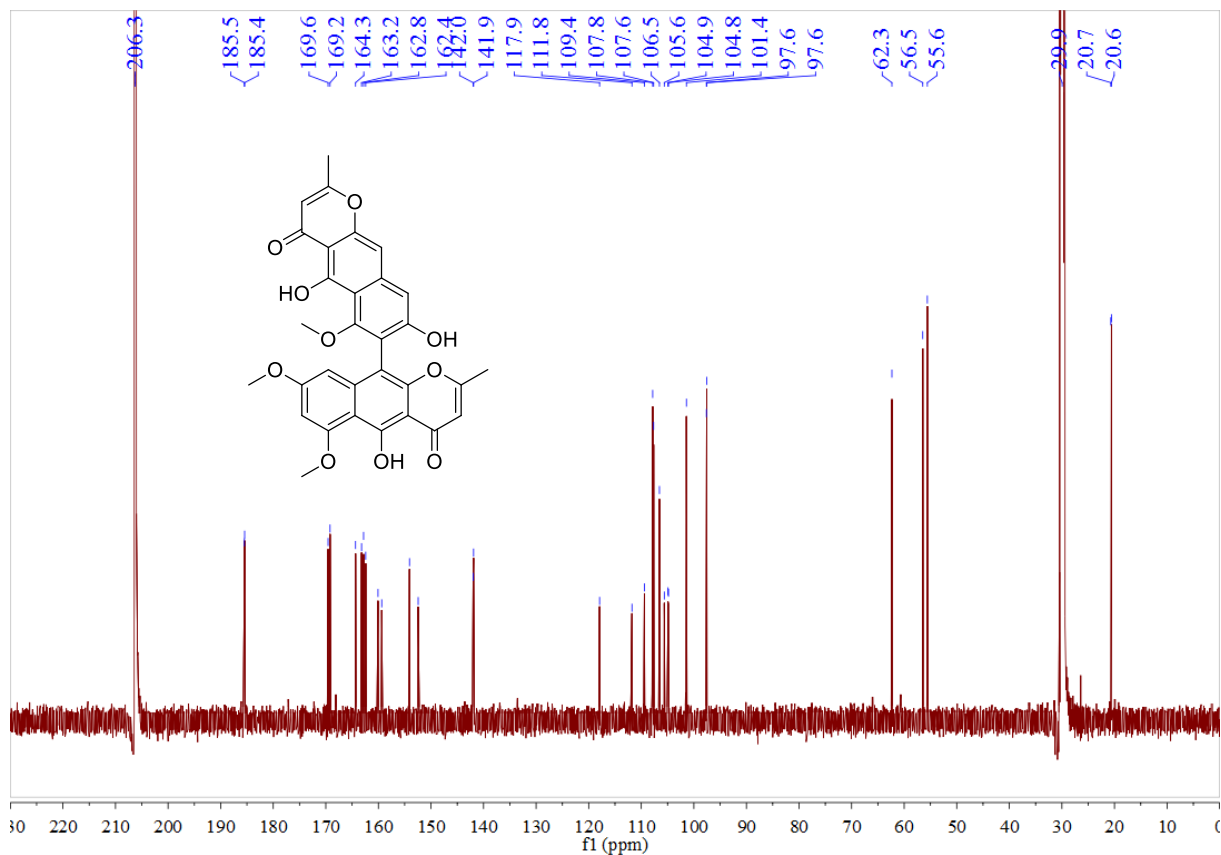


Figure S29. The ^{13}C NMR spectrum (150 MHz) of **8** in acetone- d_6

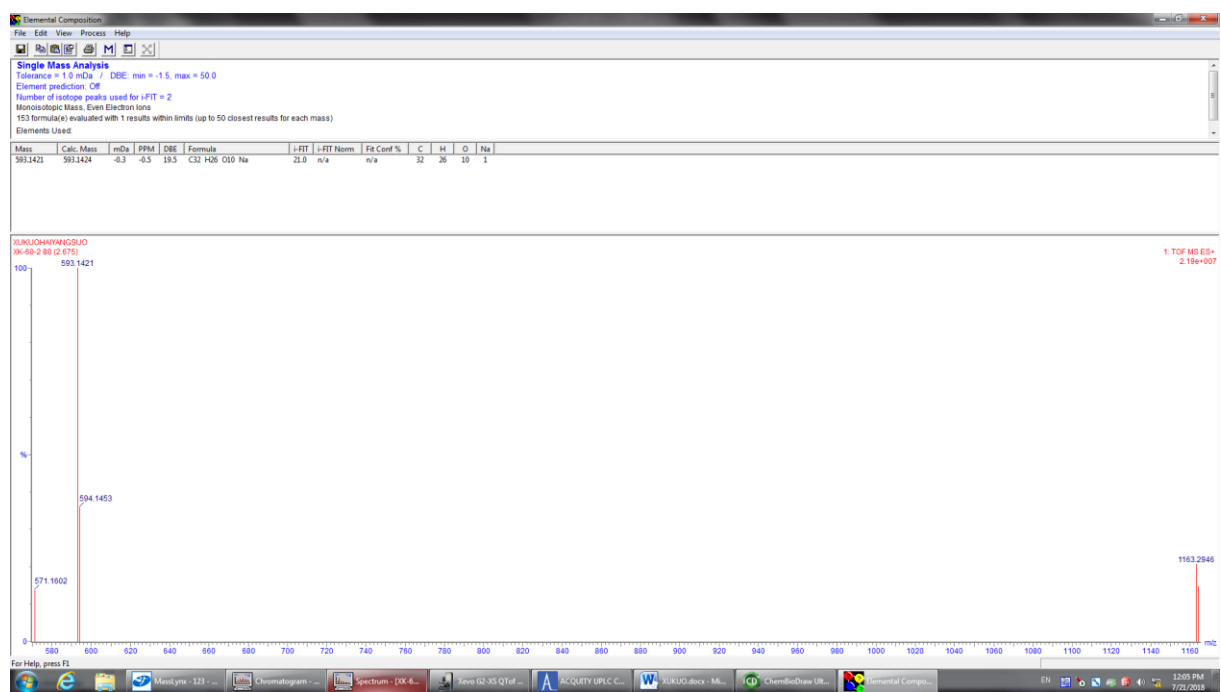


Figure S30. The HR-ESI-MS data of **9**

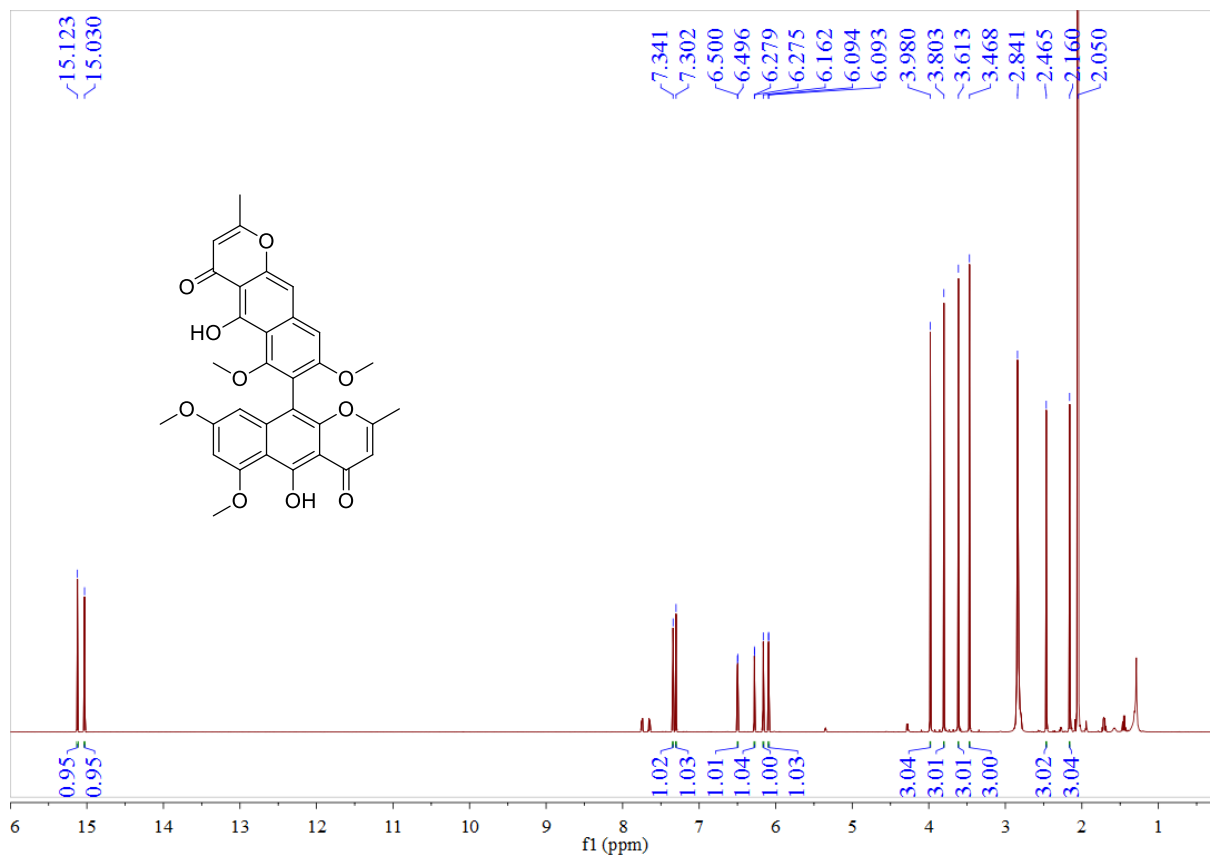


Figure S31. The ^1H NMR spectrum (600 MHz) of **9** in acetone- d_6

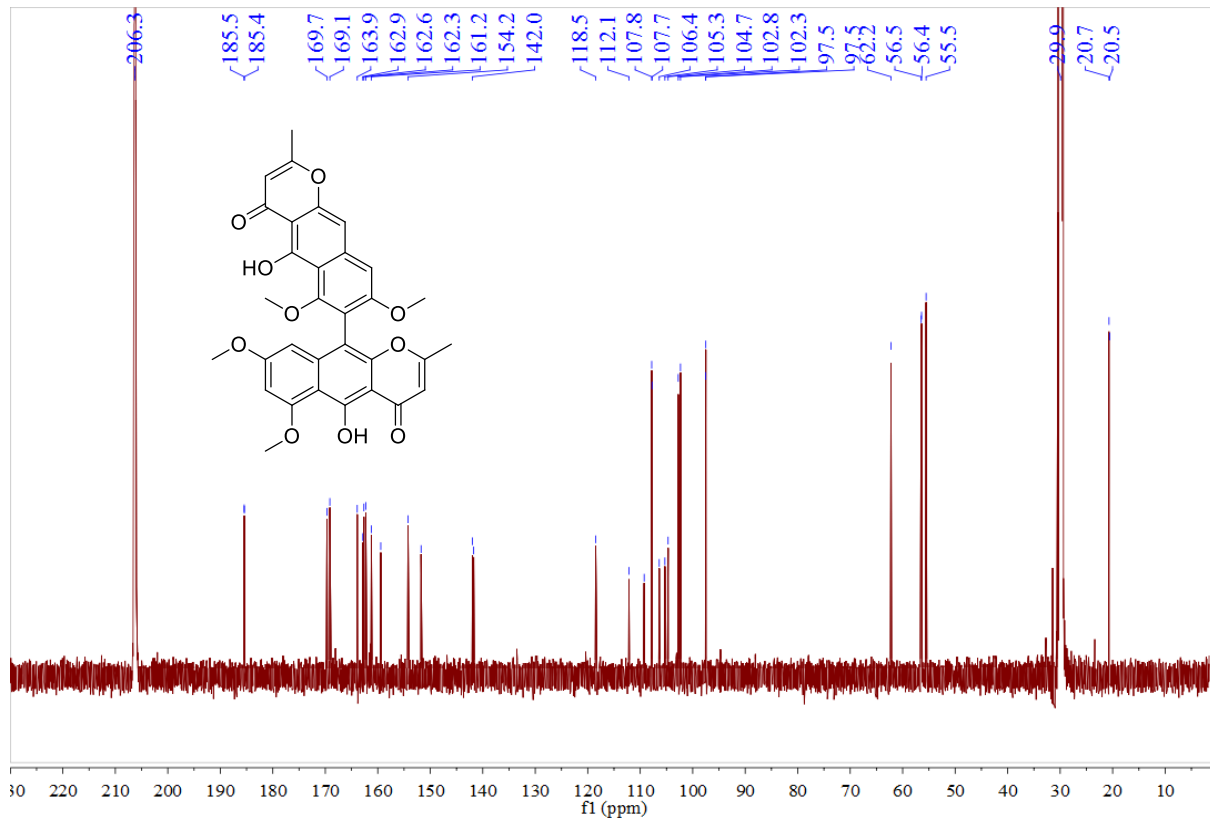


Figure S32. The ^{13}C NMR spectrum (150 MHz) of **9** in acetone- d_6

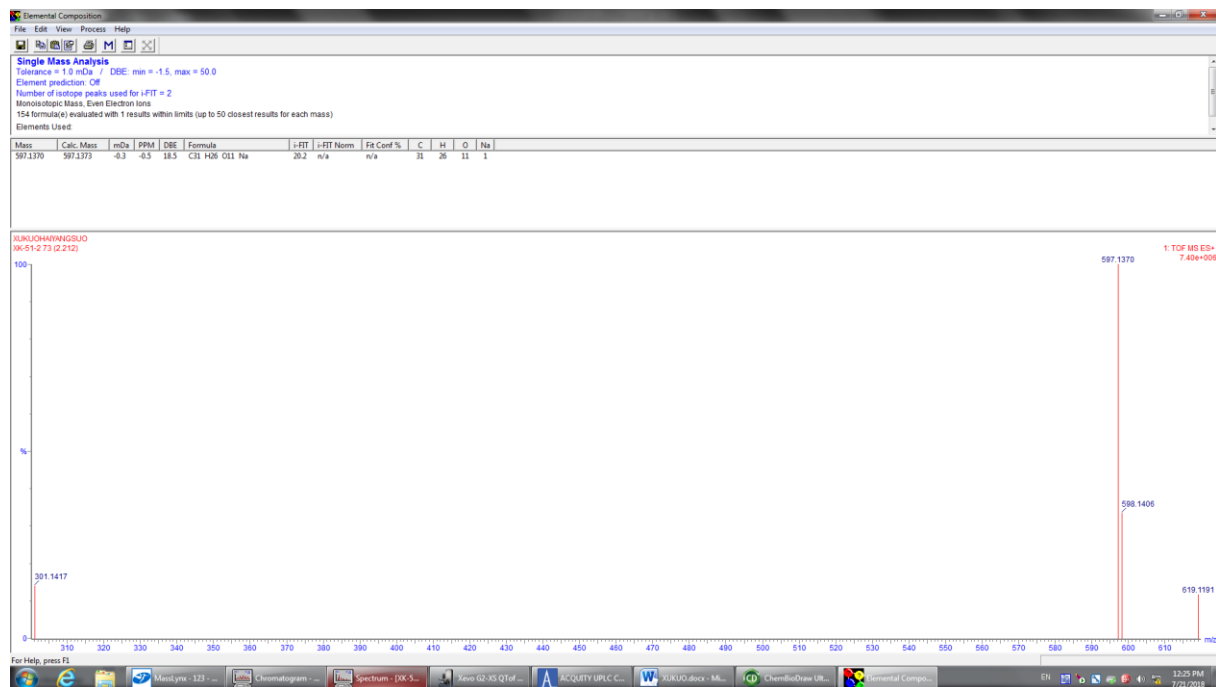


Figure S33. The HR-ESI-MS data of **10**

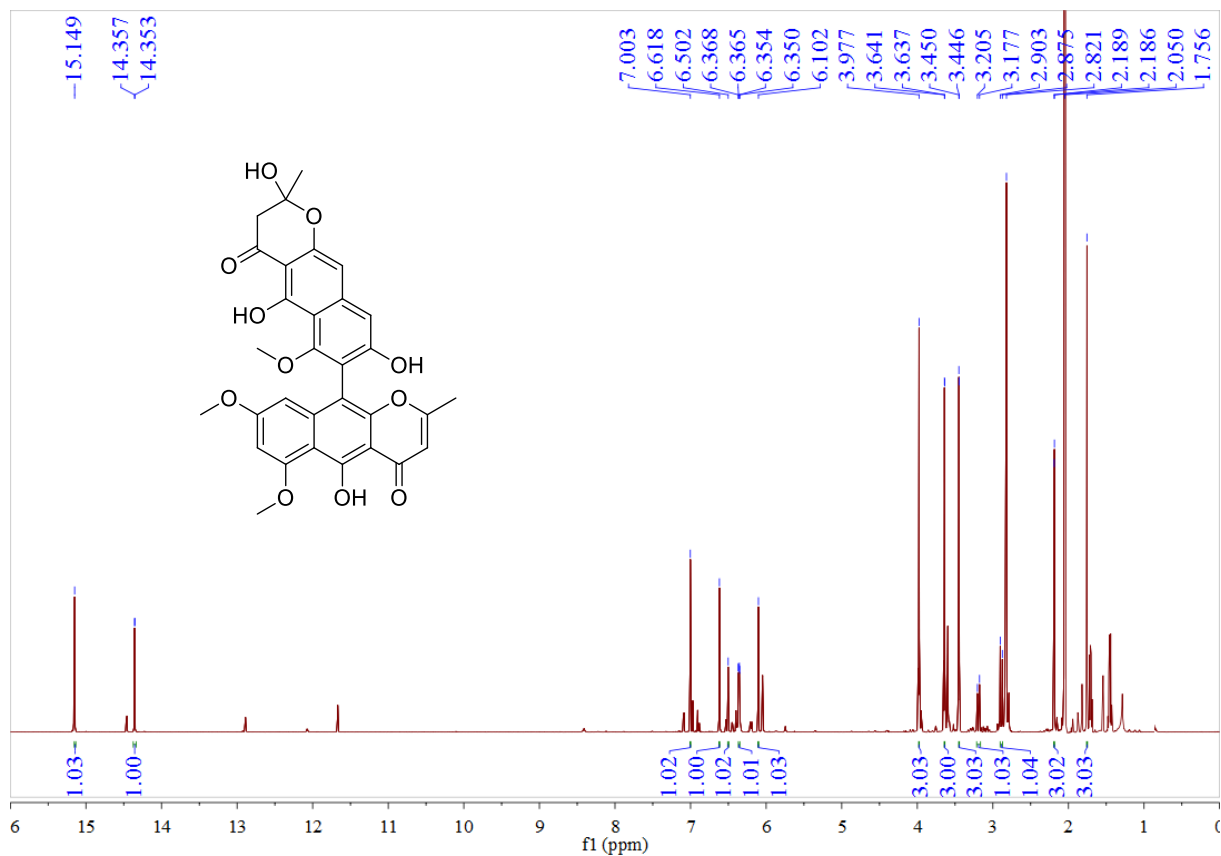


Figure S34. The ¹H NMR spectrum (600 MHz) of **10** in acetone-*d*₆

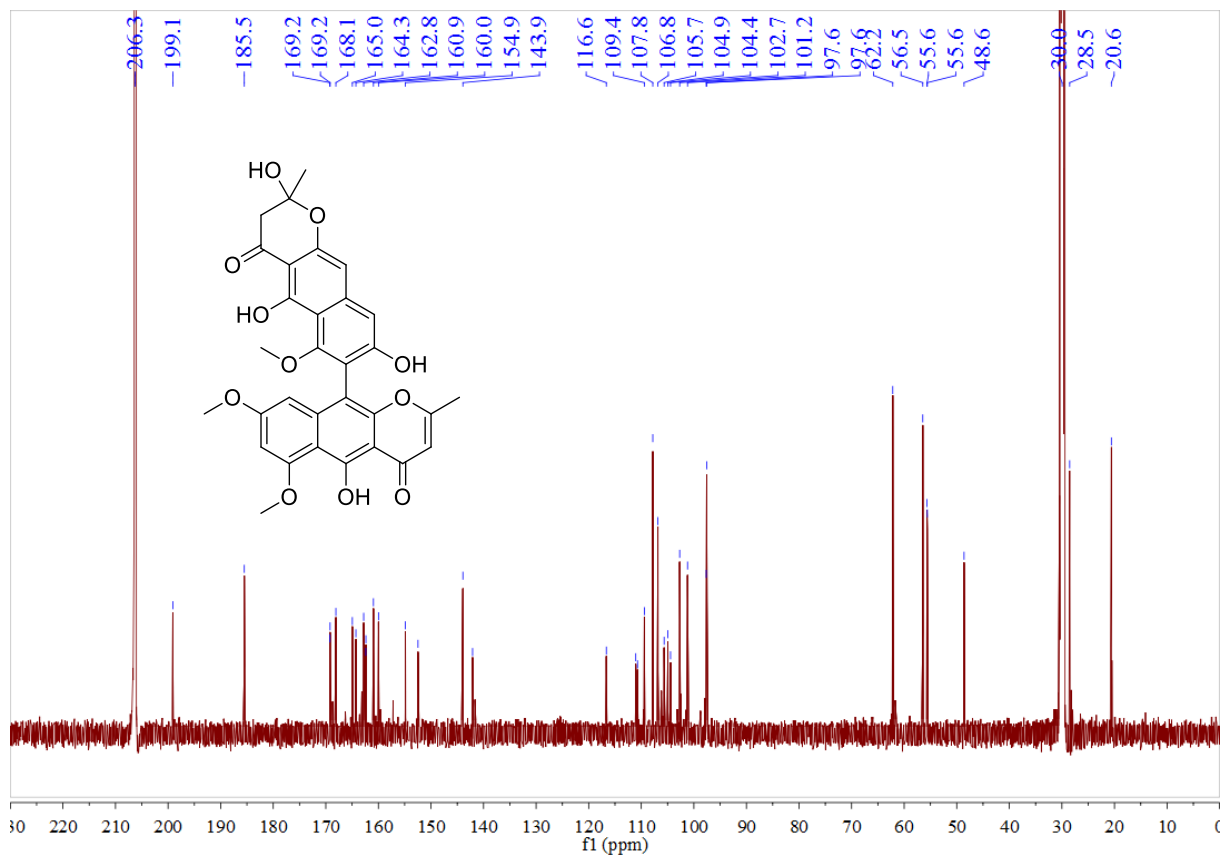


Figure S35. The ^{13}C NMR spectrum (150 MHz) of **10** in acetone- d_6

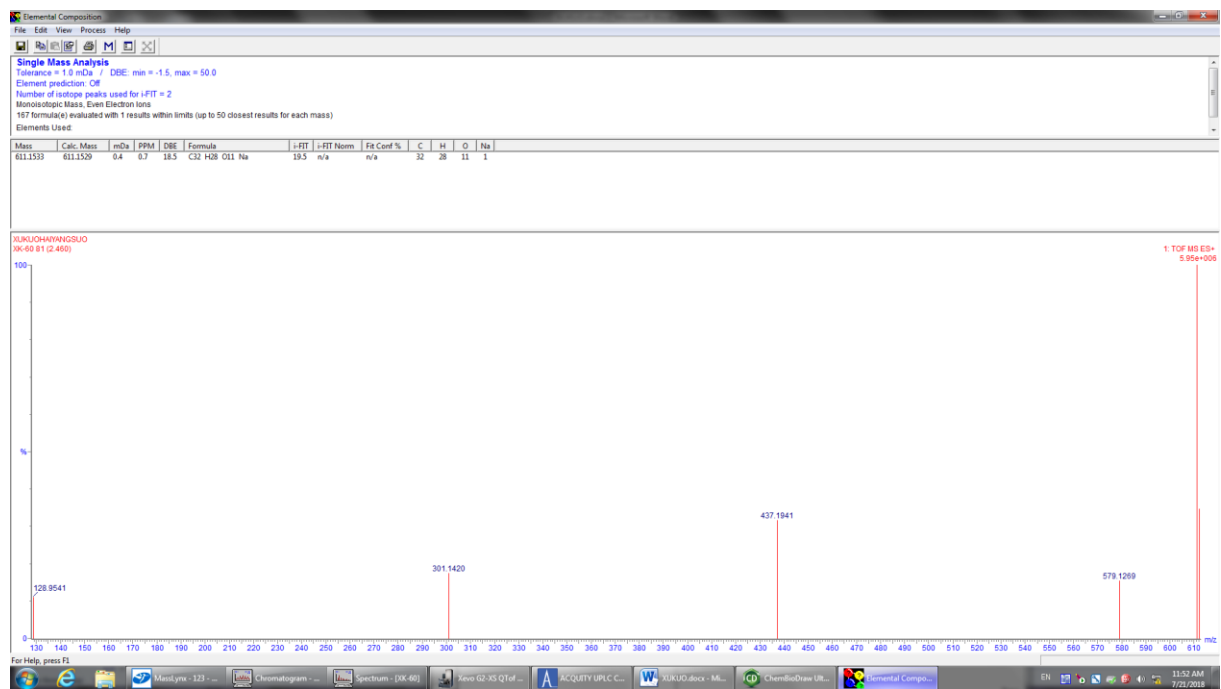


Figure S36. The HR-ESI-MS data of **11**

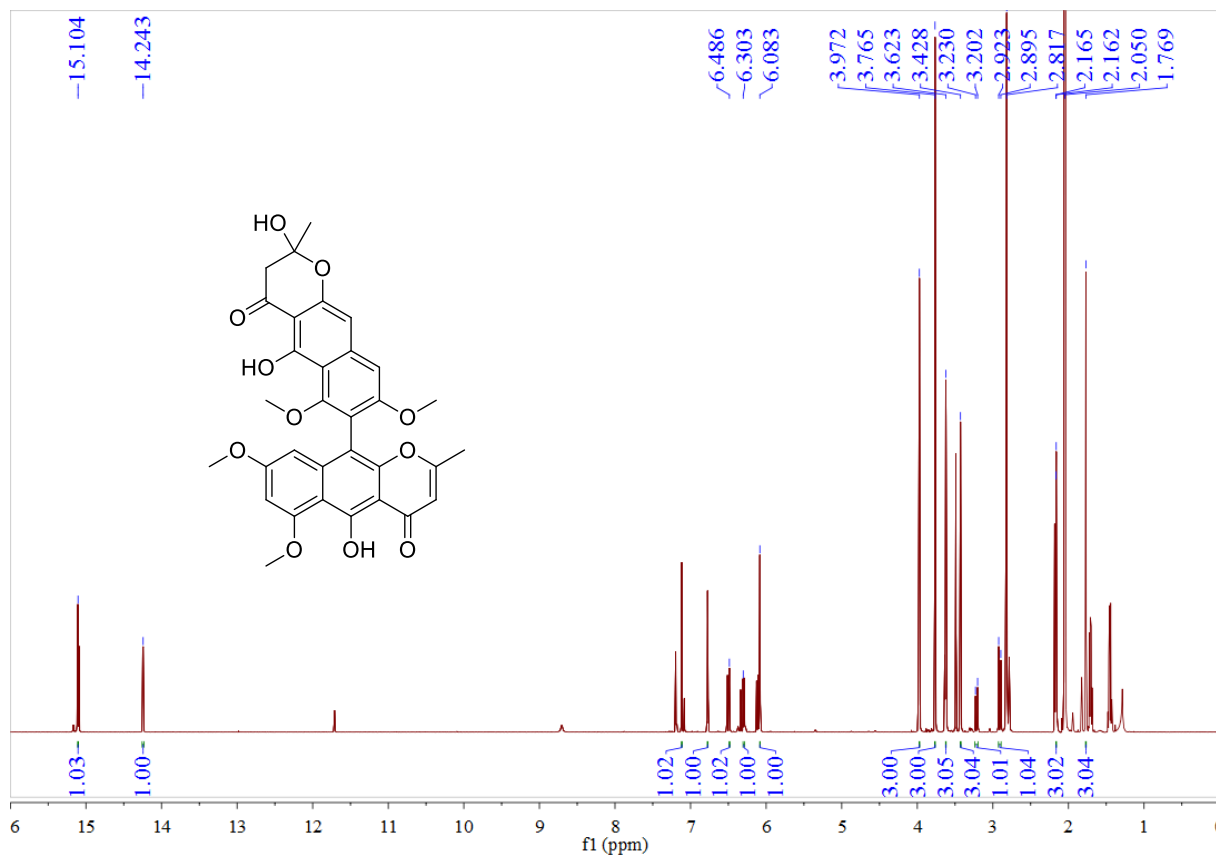


Figure S37. The ^1H NMR spectrum (600 MHz) of **11** in acetone- d_6

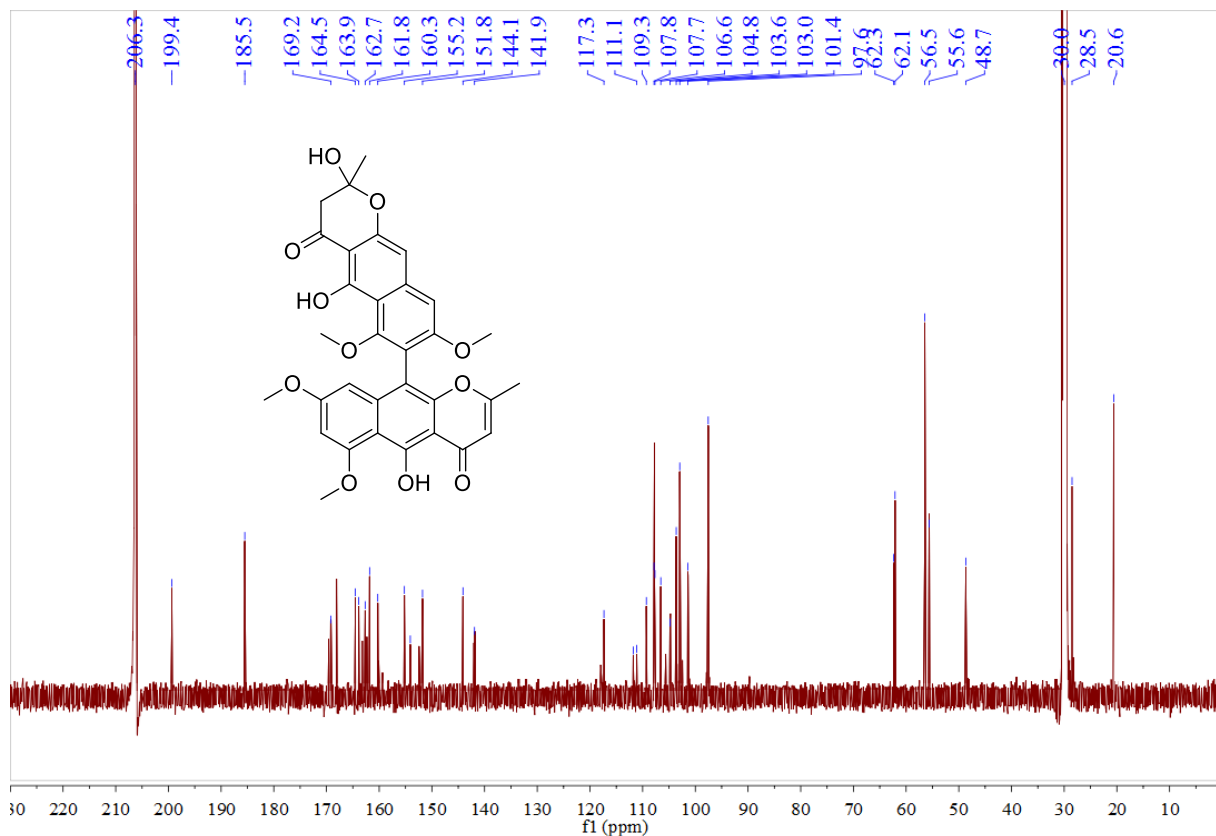


Figure S38. The ^{13}C NMR spectrum (150 MHz) of **11** in acetone- d_6

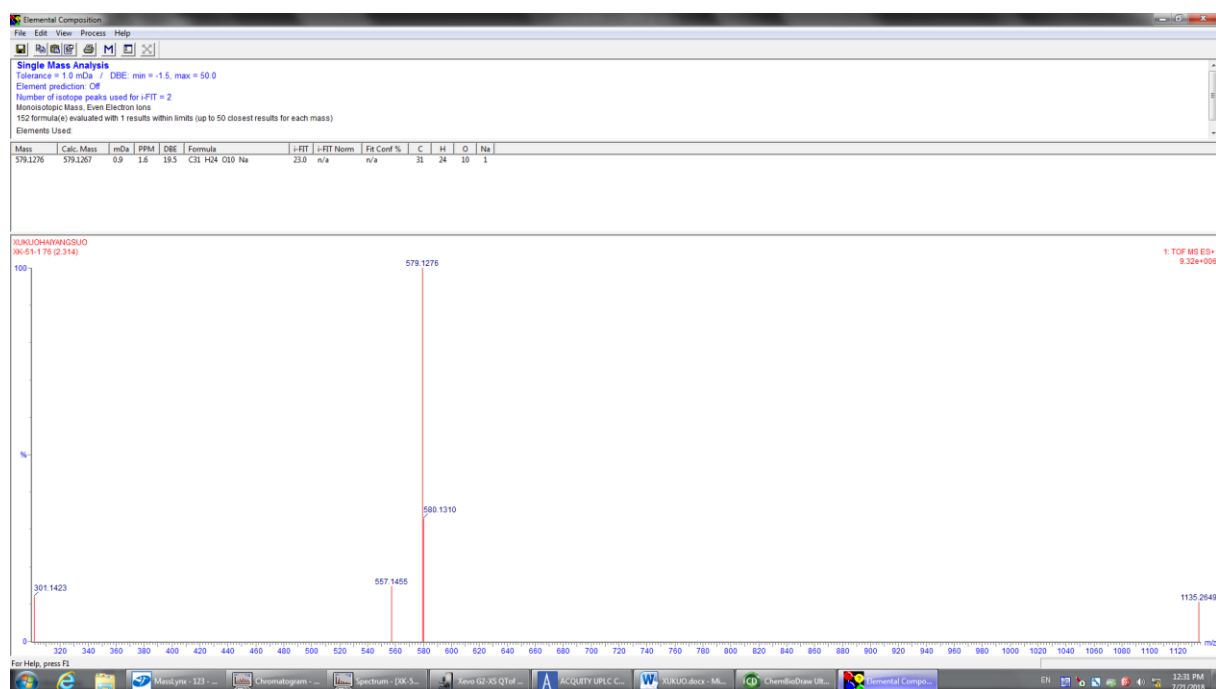


Figure S39. The HR-ESI-MS data of 12

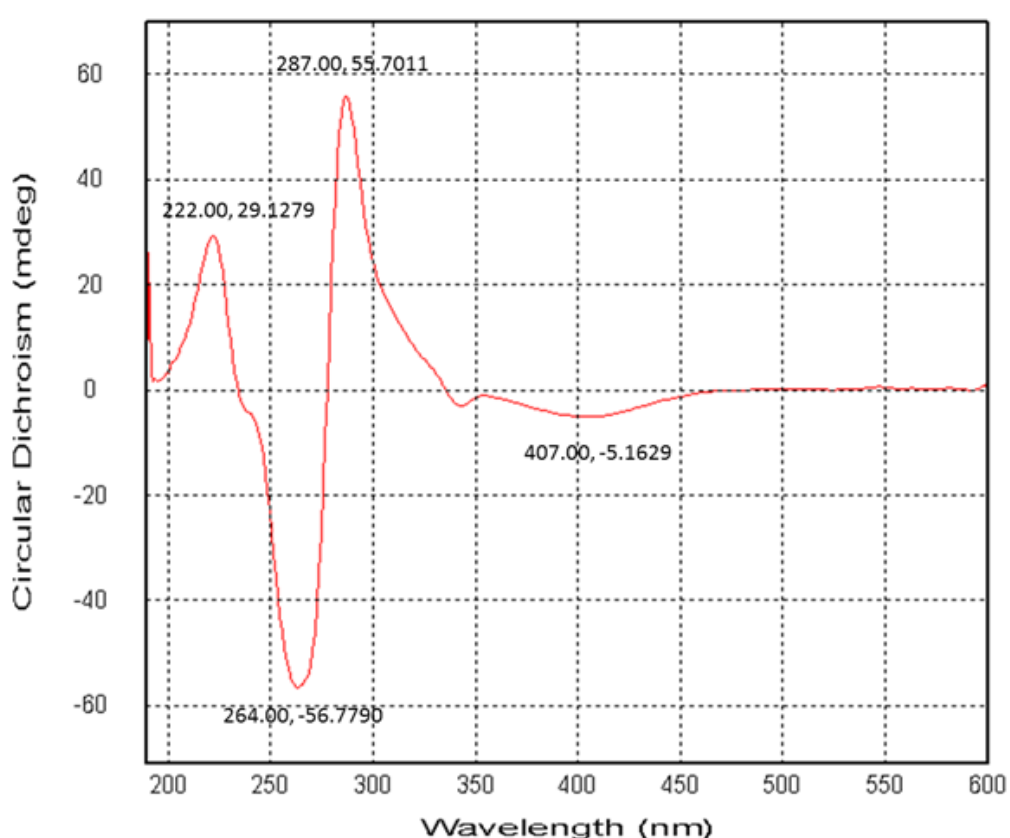


Figure S40. The ECD spectrum of 12 in MeOH

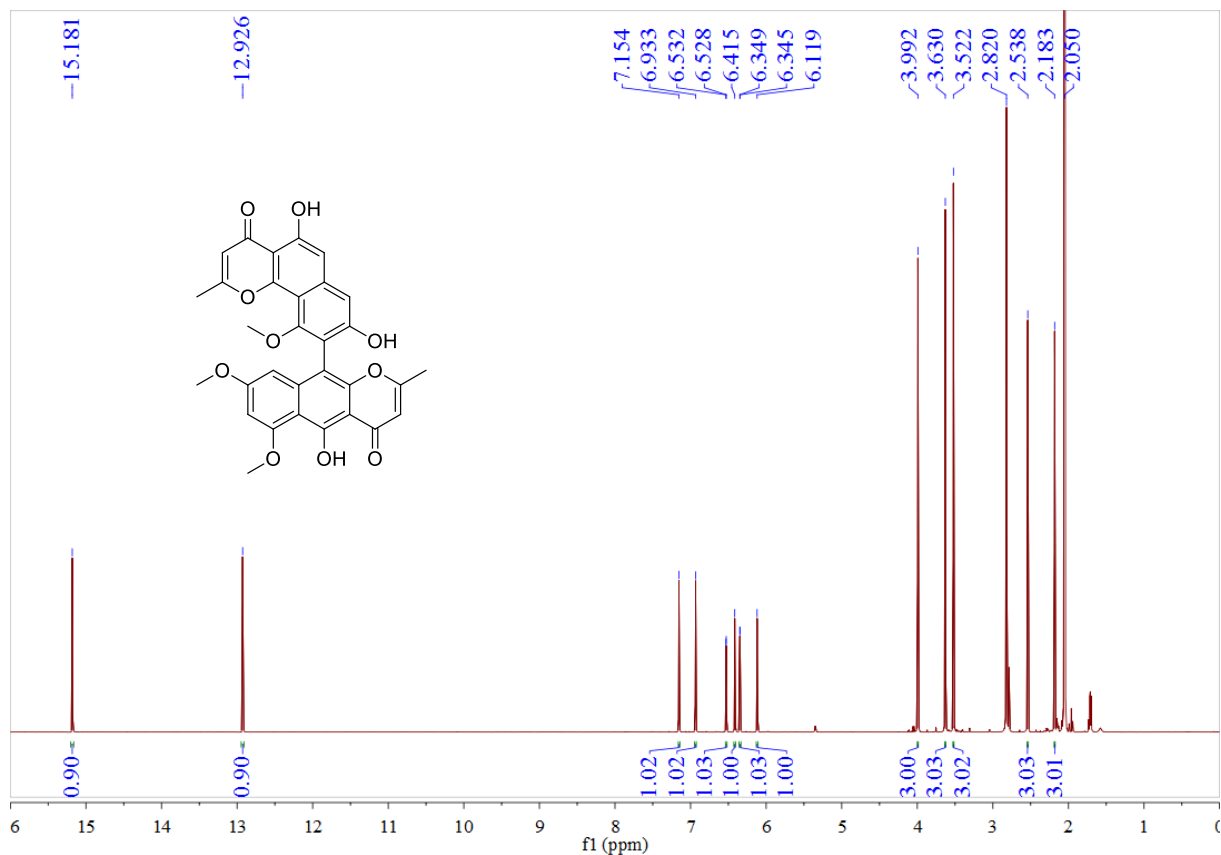


Figure S41. The ^1H NMR spectrum (600 MHz) of **12** in acetone- d_6

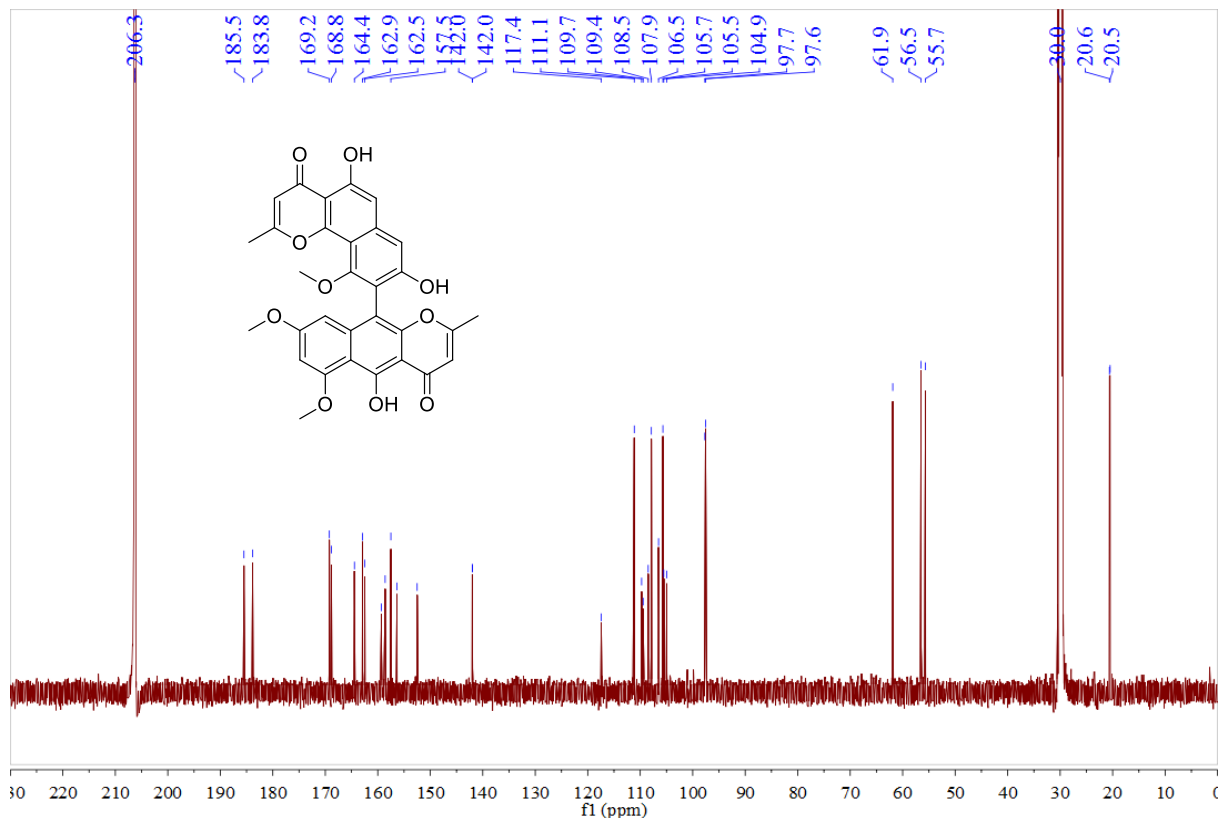


Figure S42. The ^{13}C NMR spectrum (150 MHz) of **12** in acetone- d_6

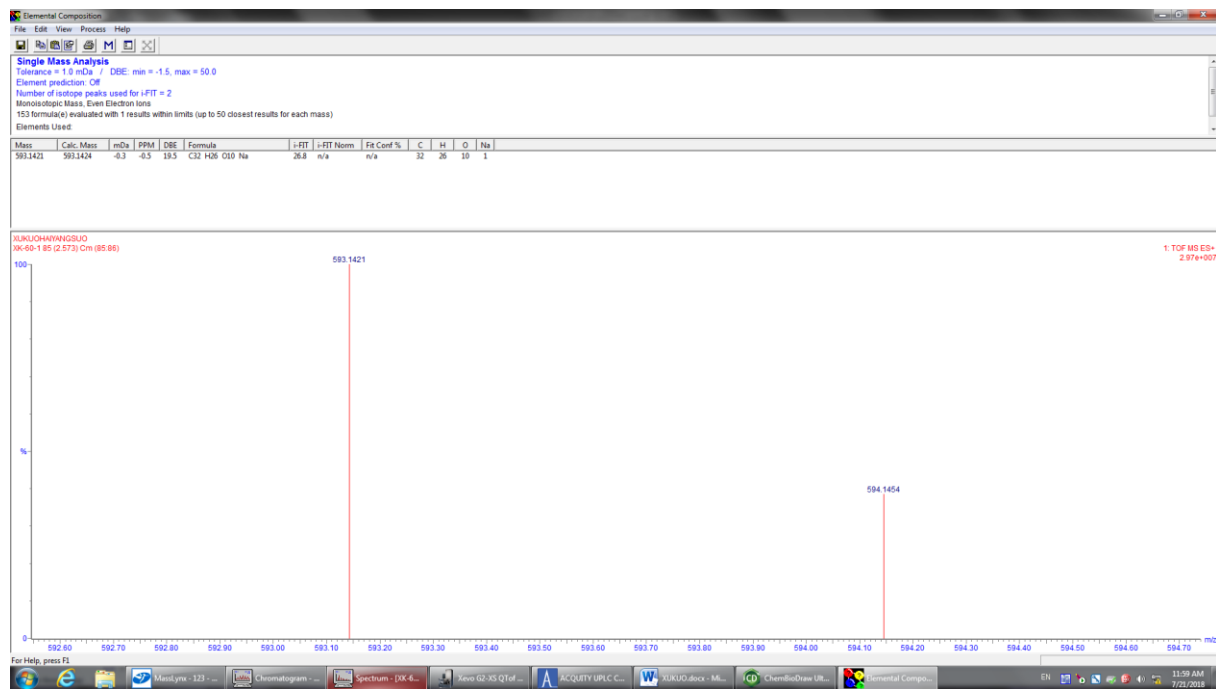


Figure S43. The HR-ESI-MS data of 13

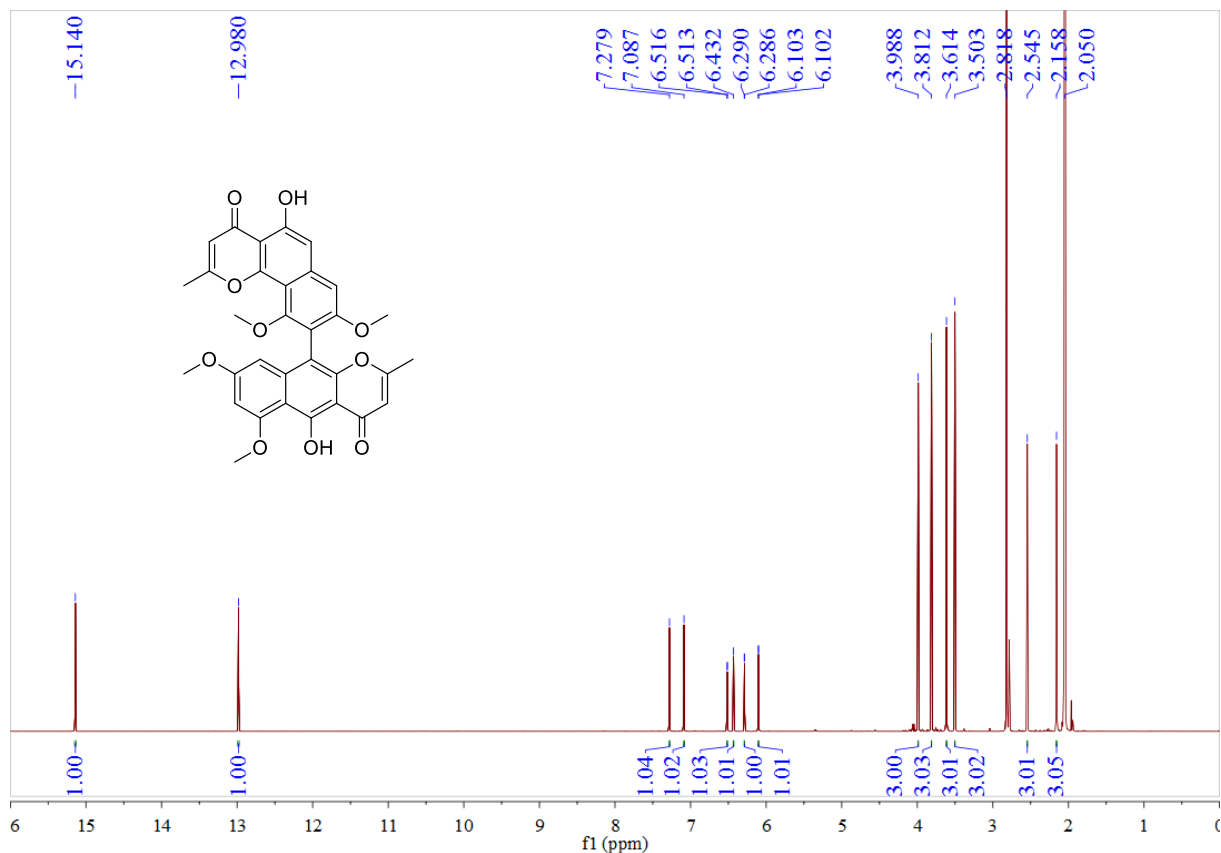


Figure S44. The ¹H NMR spectrum (600 MHz) of 13 in acetone-*d*₆

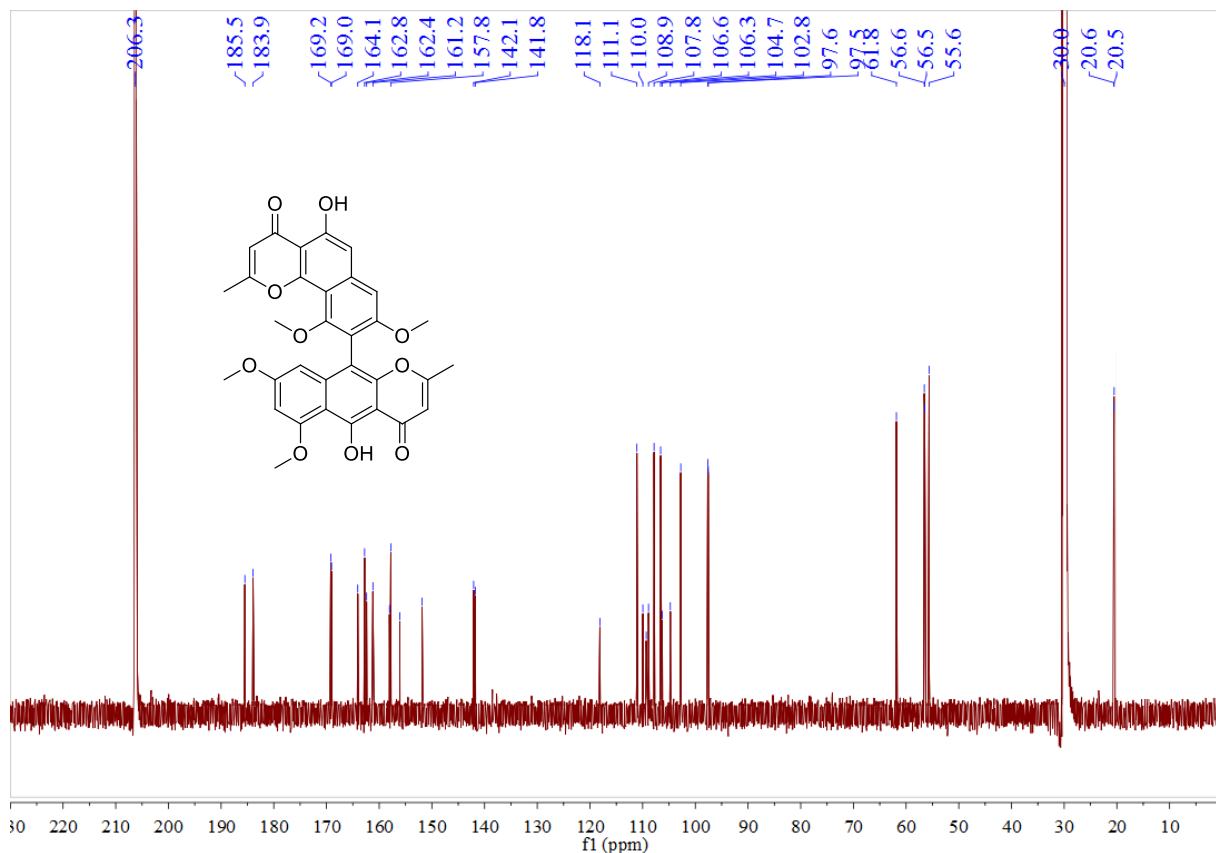


Figure S45. The ^{13}C NMR spectrum (150 MHz) of **13** in acetone- d_6

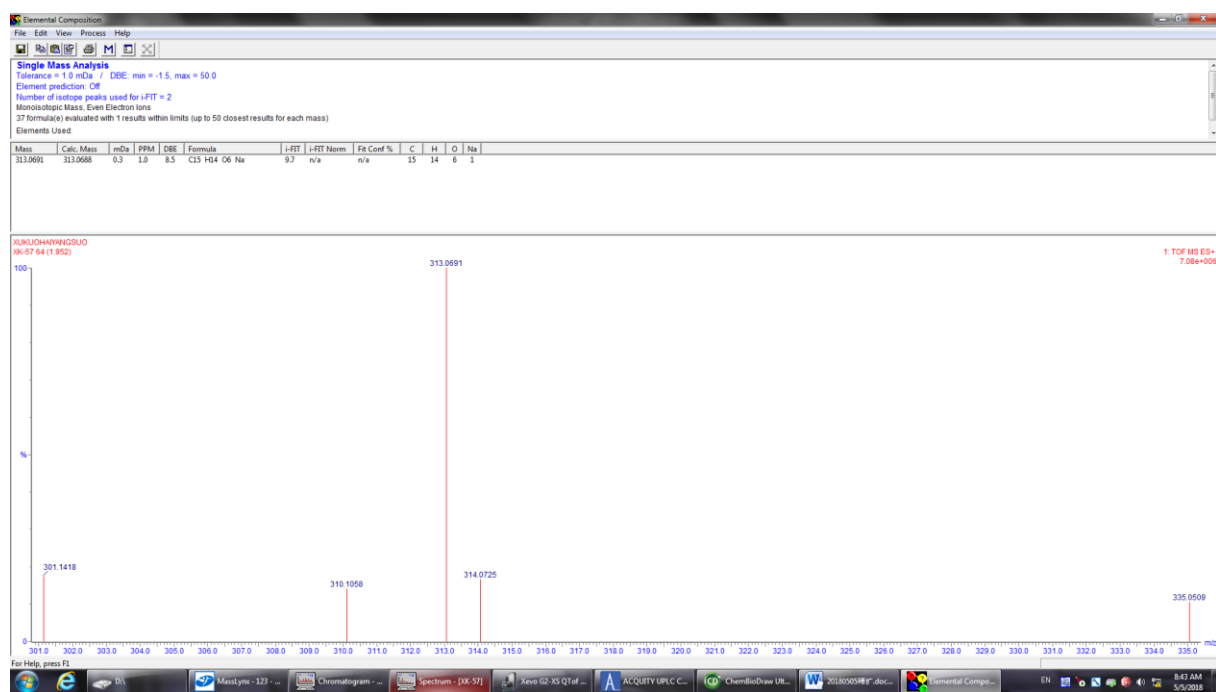


Figure S46. The HR-ESI-MS data of **14**

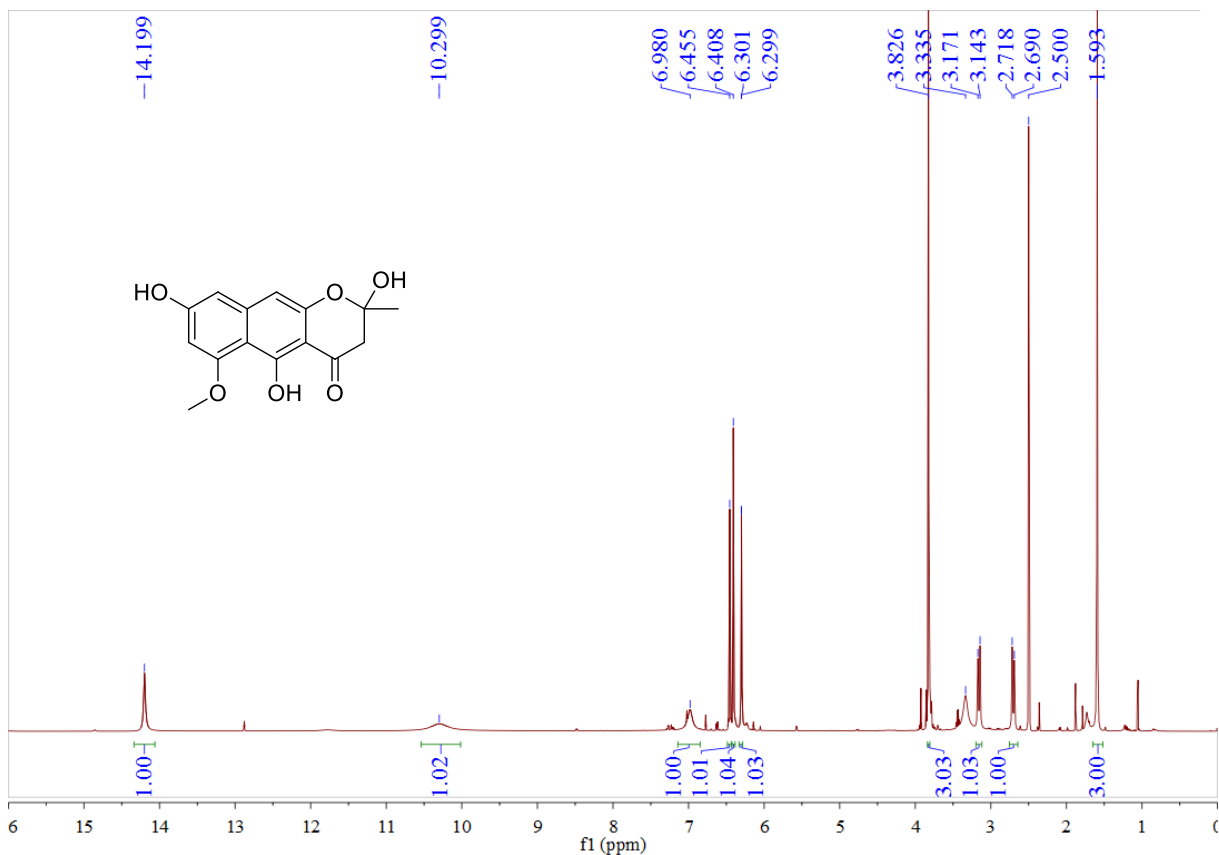


Figure S47. The ¹H NMR spectrum (600 MHz) of **14** in DMSO-*d*₆

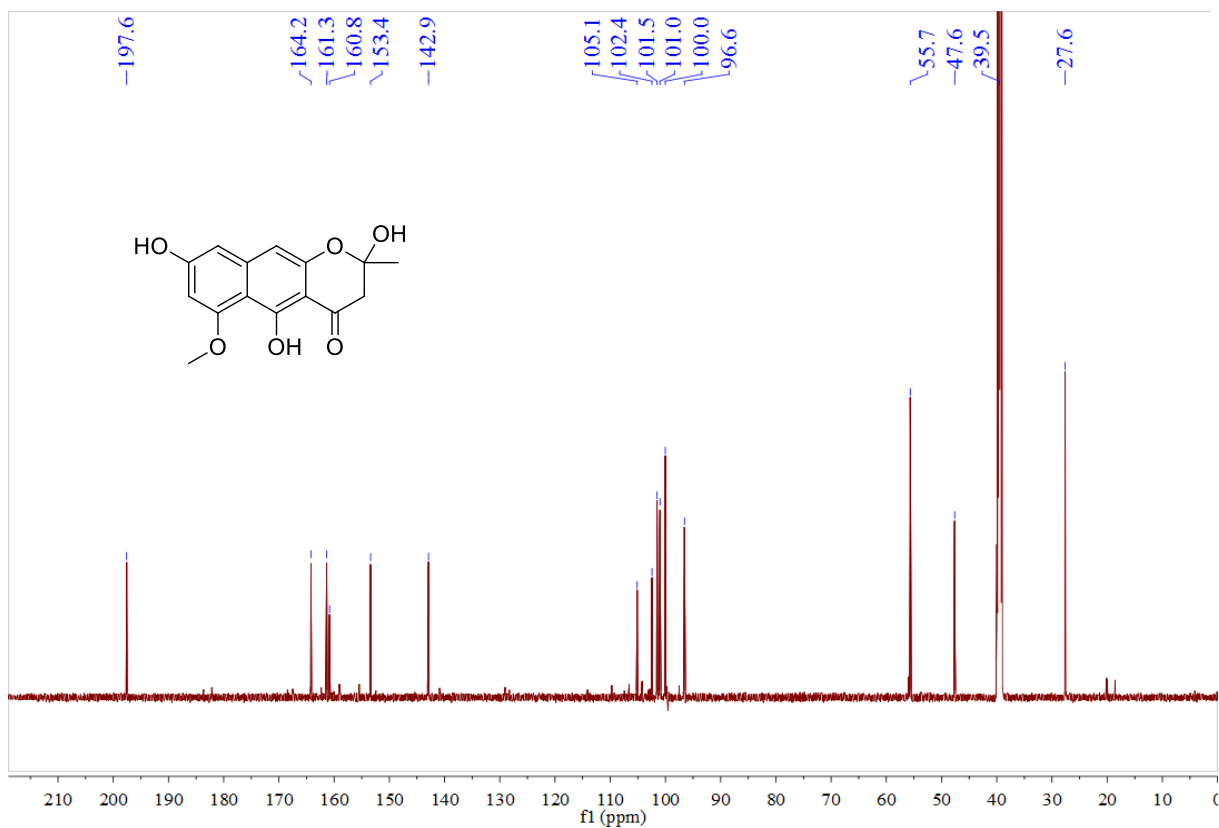


Figure S48. The ¹³C NMR spectrum (150 MHz) of **14** in DMSO-*d*₆

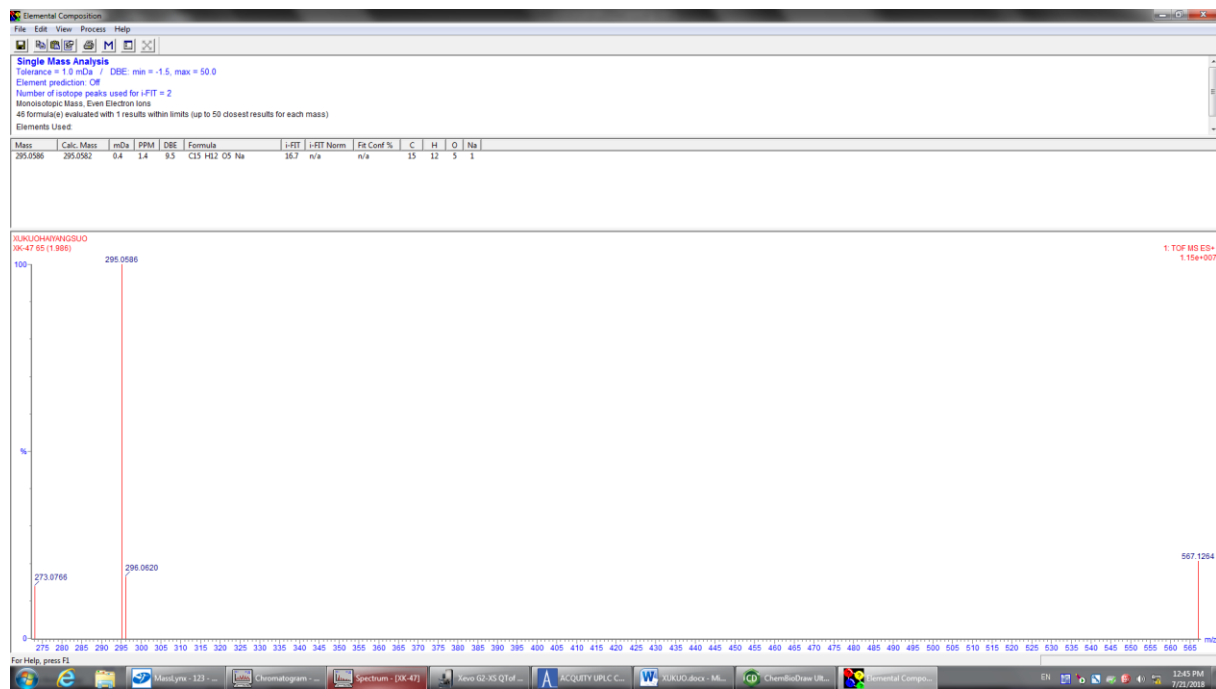


Figure S49. The HR-ESI-MS data of **15**

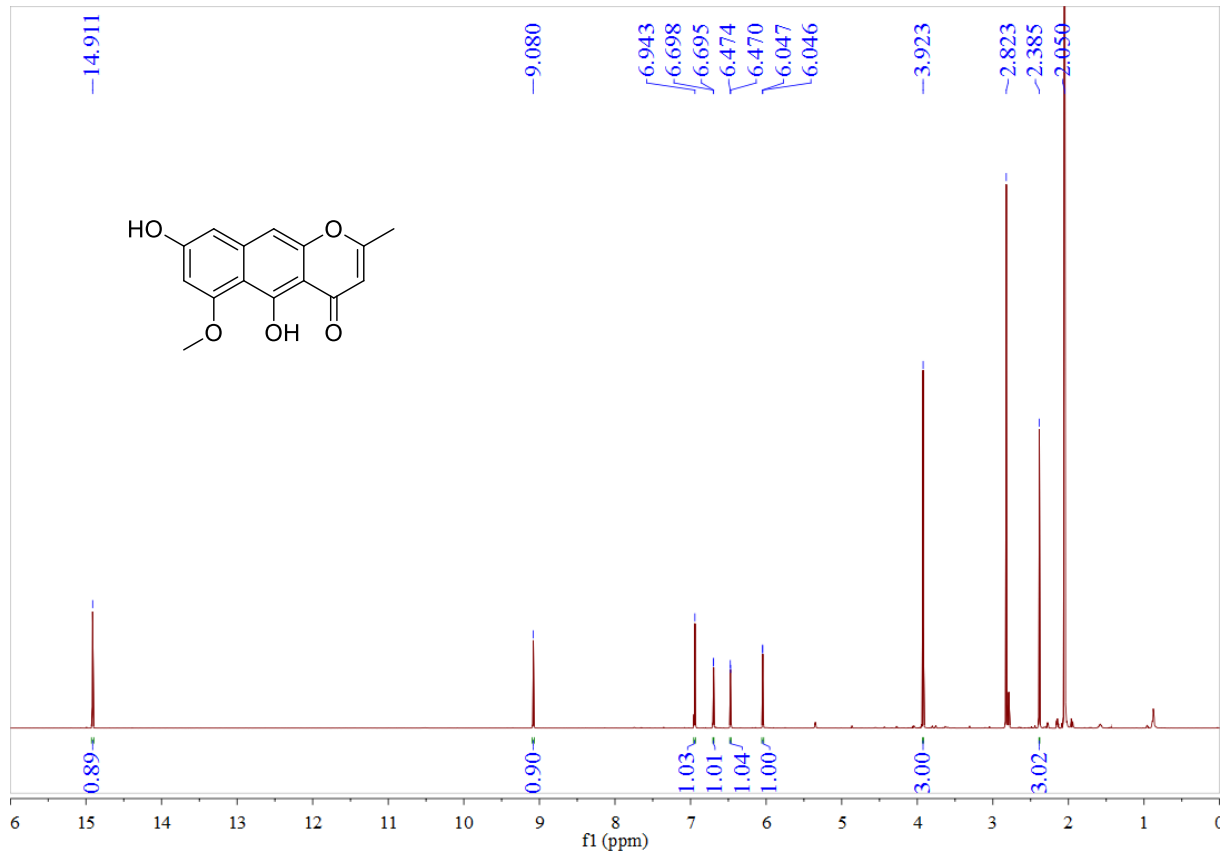


Figure S50. The ¹H NMR spectrum (600 MHz) of **15** in acetone-*d*₆

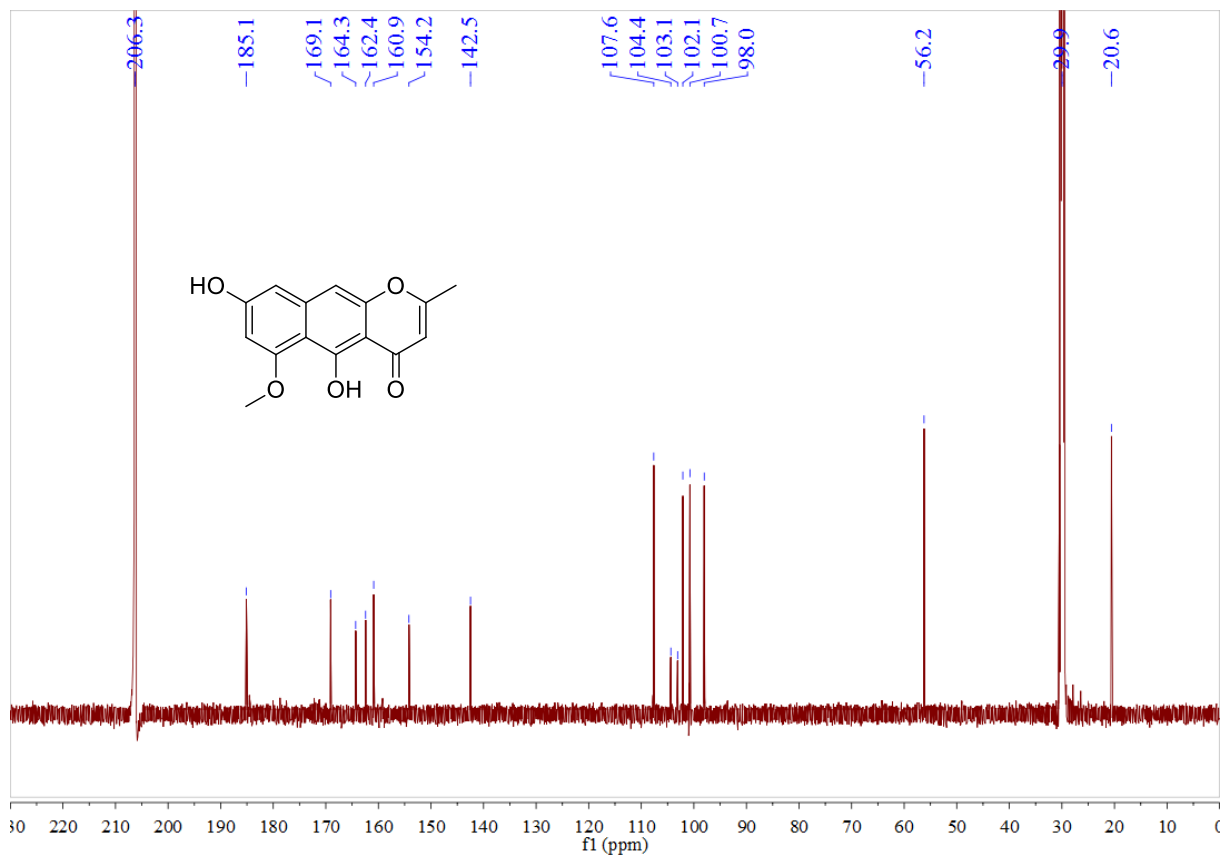


Figure S51. The ^{13}C NMR spectrum (150 MHz) of **15** in acetone- d_6

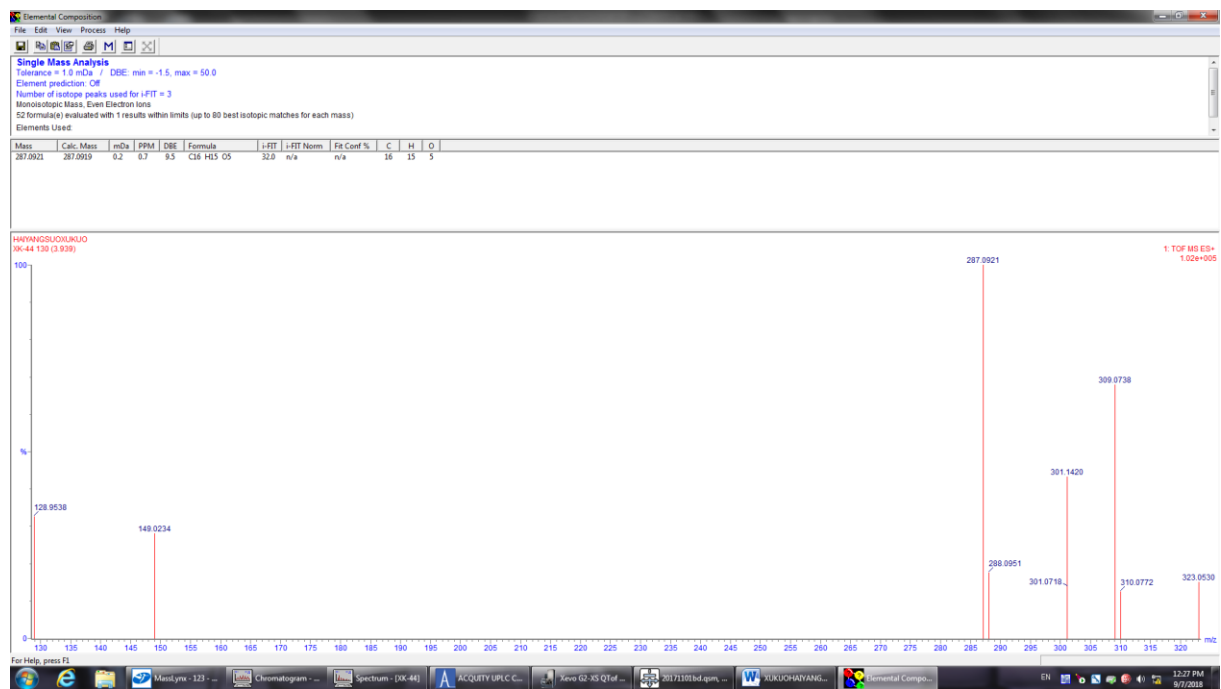


Figure S52. The HR-ESI-MS data of **16**

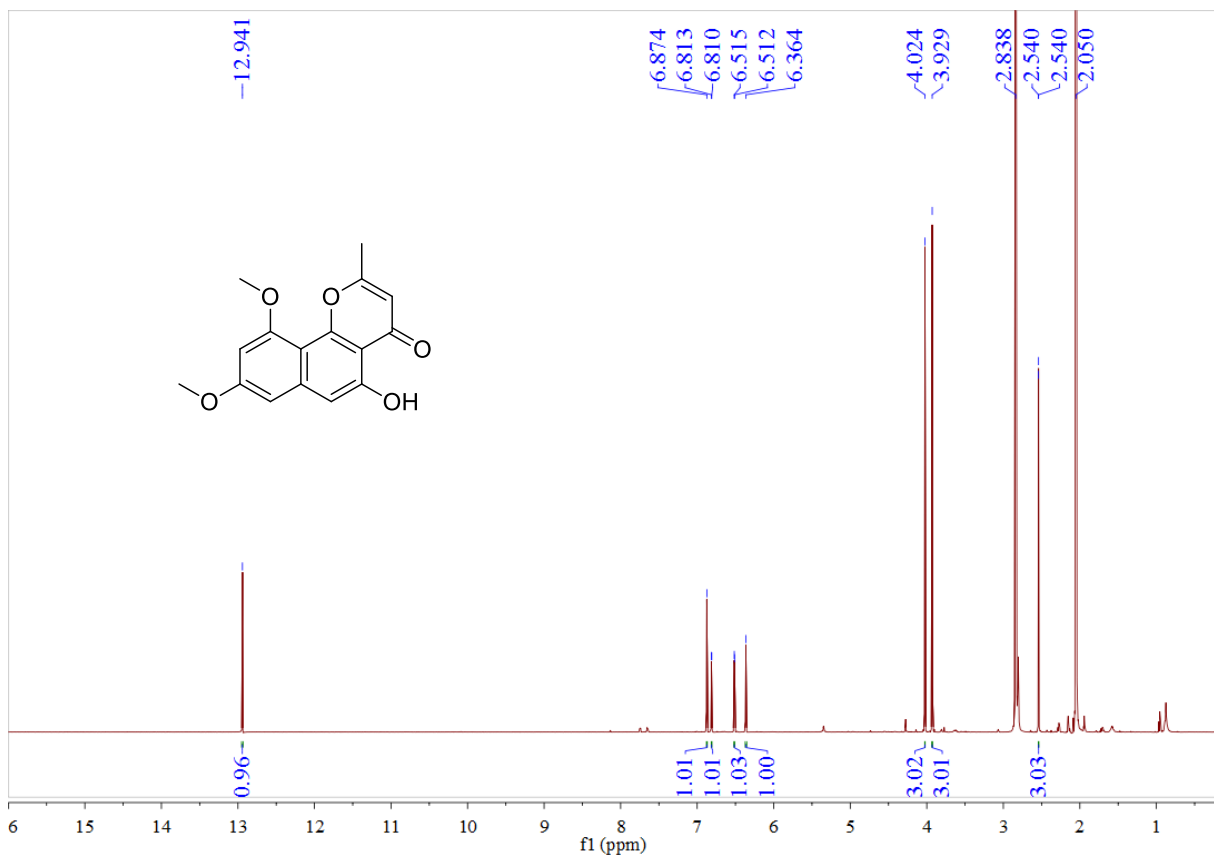


Figure S53. The ^1H NMR spectrum (600 MHz) of **16** in acetone- d_6

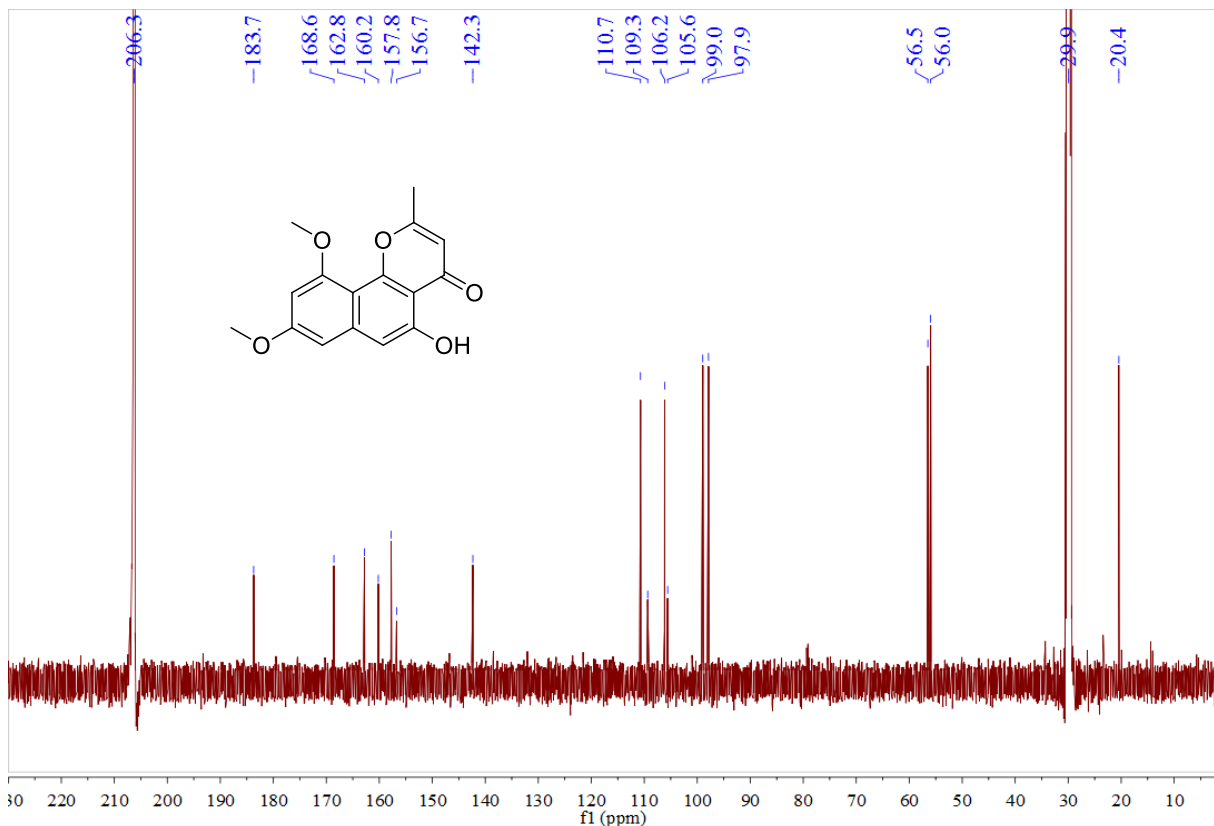


Figure S54. The ^{13}C NMR spectrum (150 MHz) of **16** in acetone- d_6

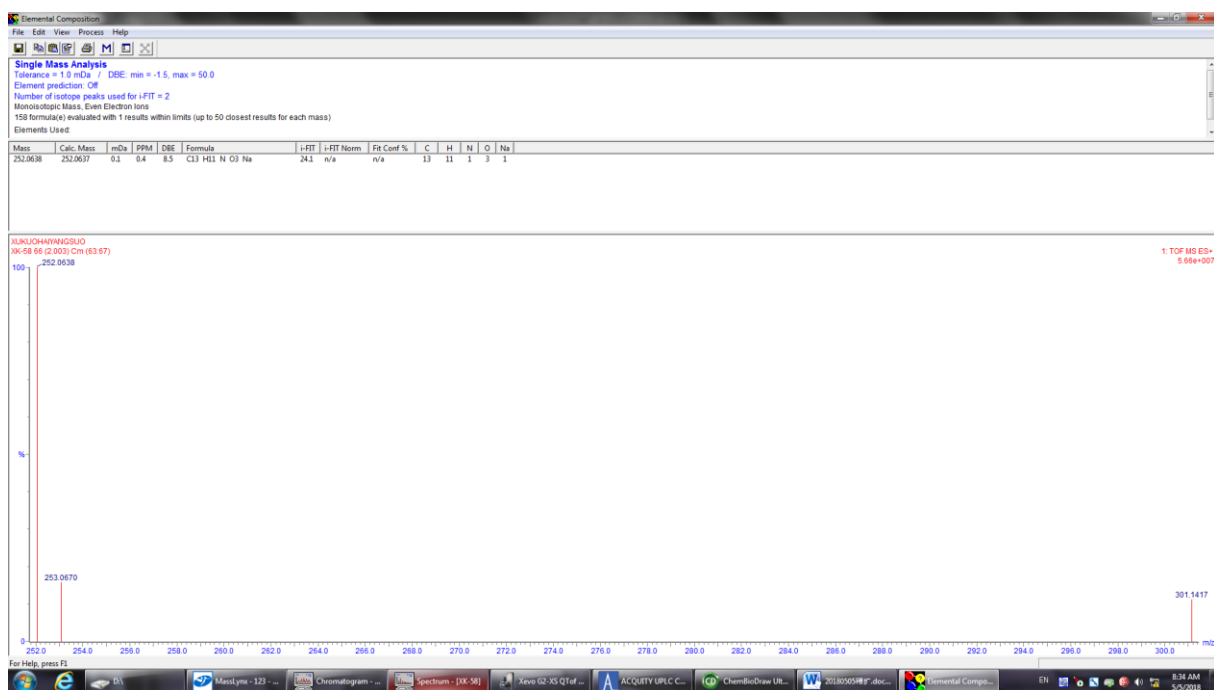


Figure S55. The HR-ESI-MS data of 17

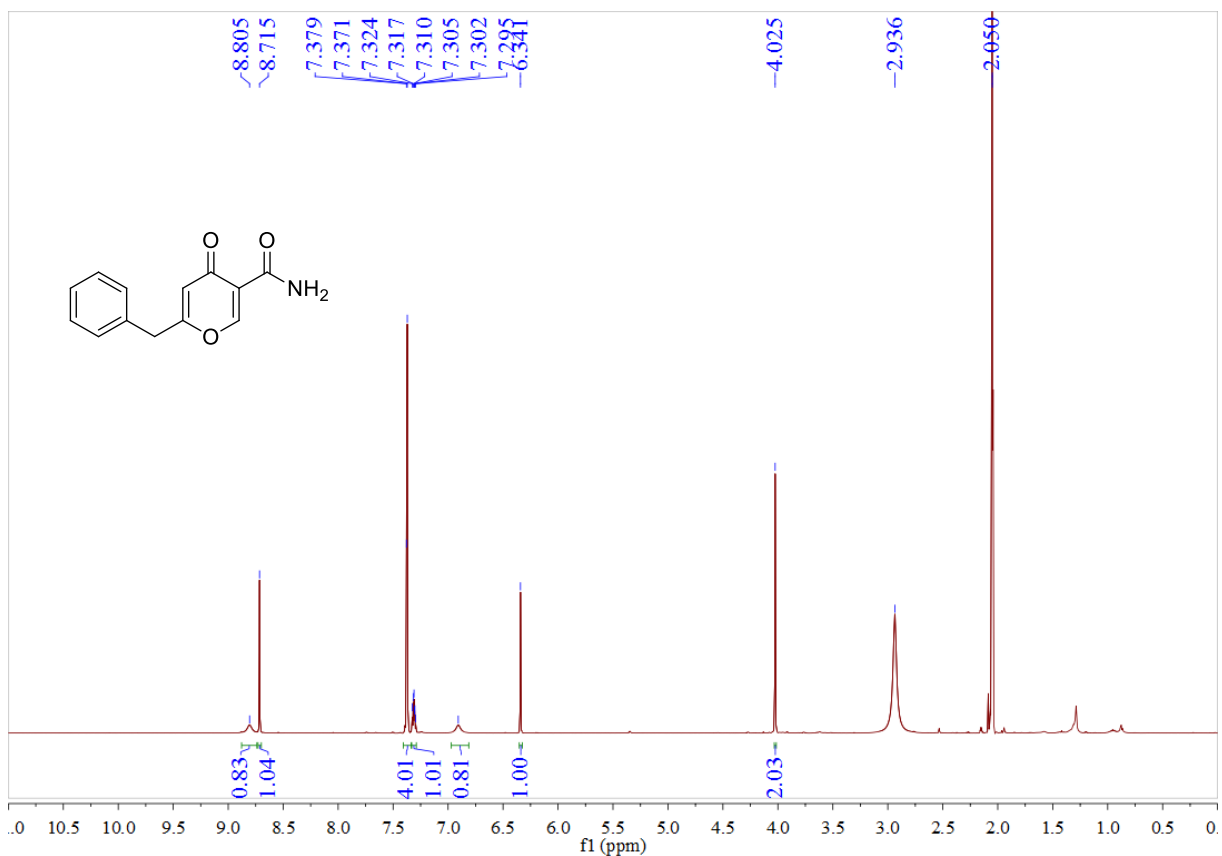


Figure S56. The ^1H NMR spectrum (600 MHz) of **17** in acetone- d_6

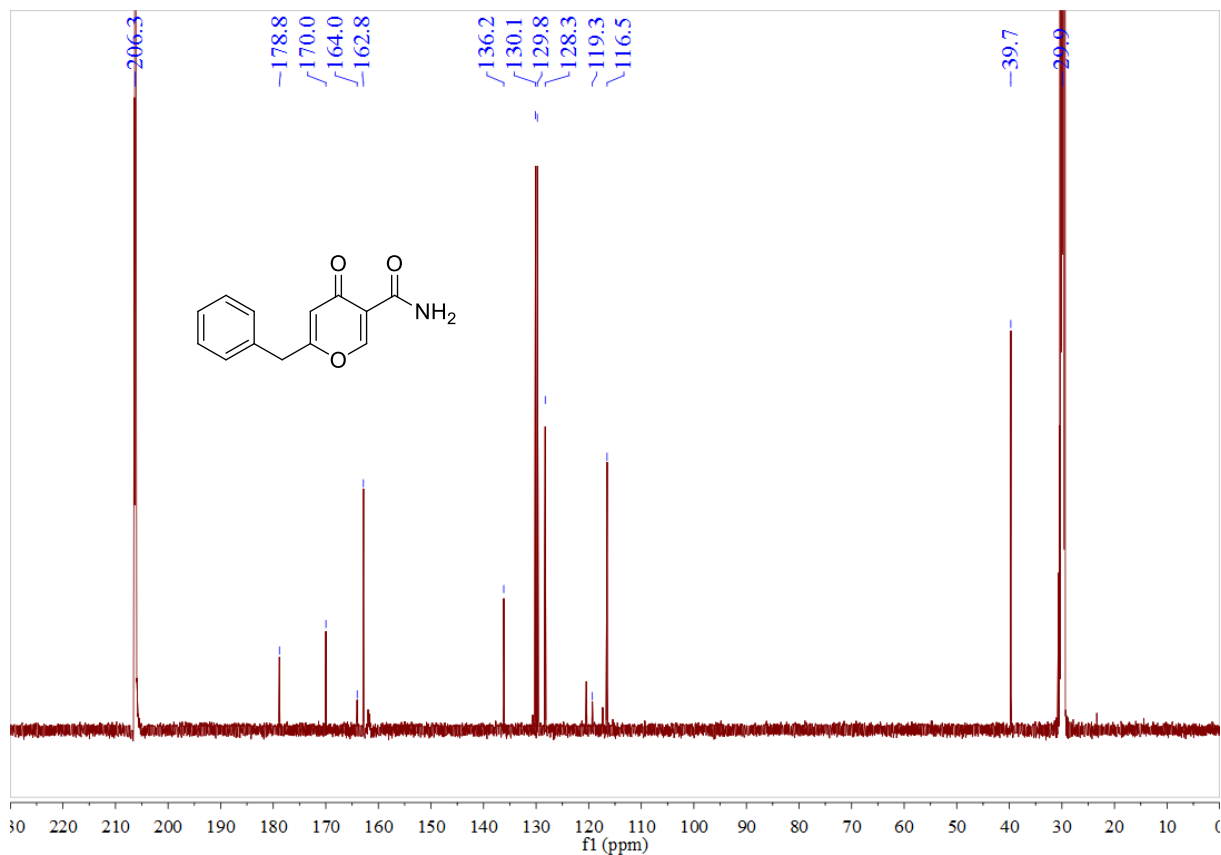


Figure S57. The ^{13}C NMR spectrum (150 MHz) of **17** in acetone- d_6

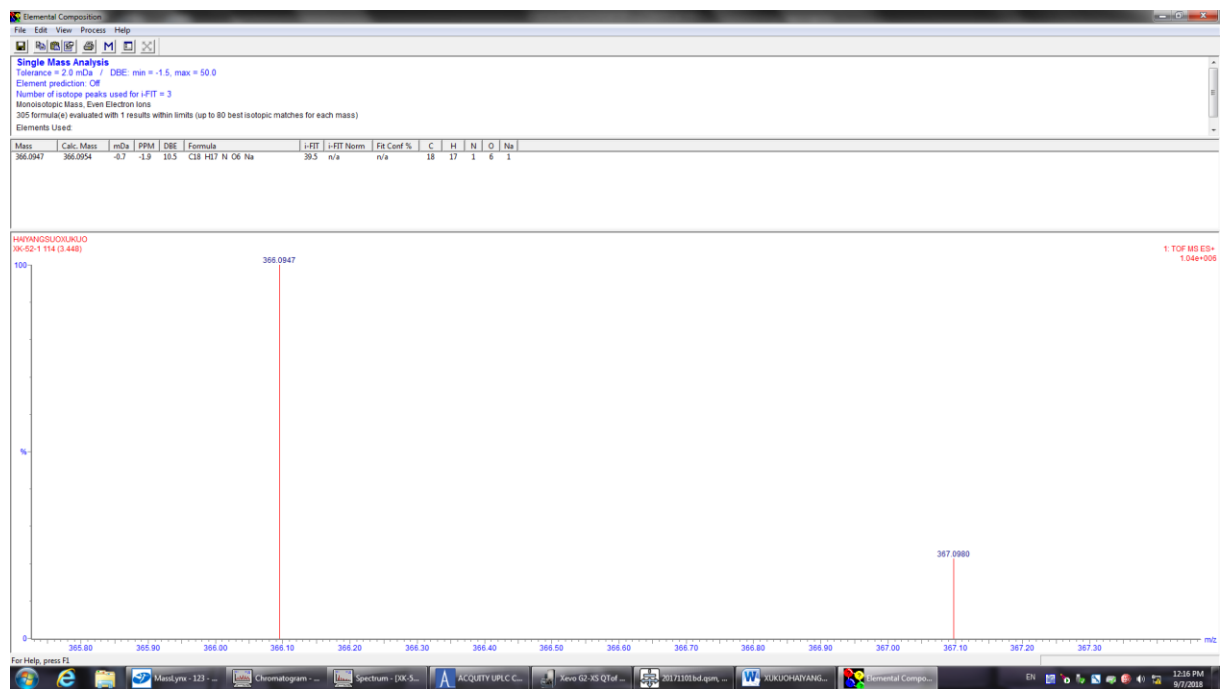


Figure S58. The HR-ESI-MS data of **18**

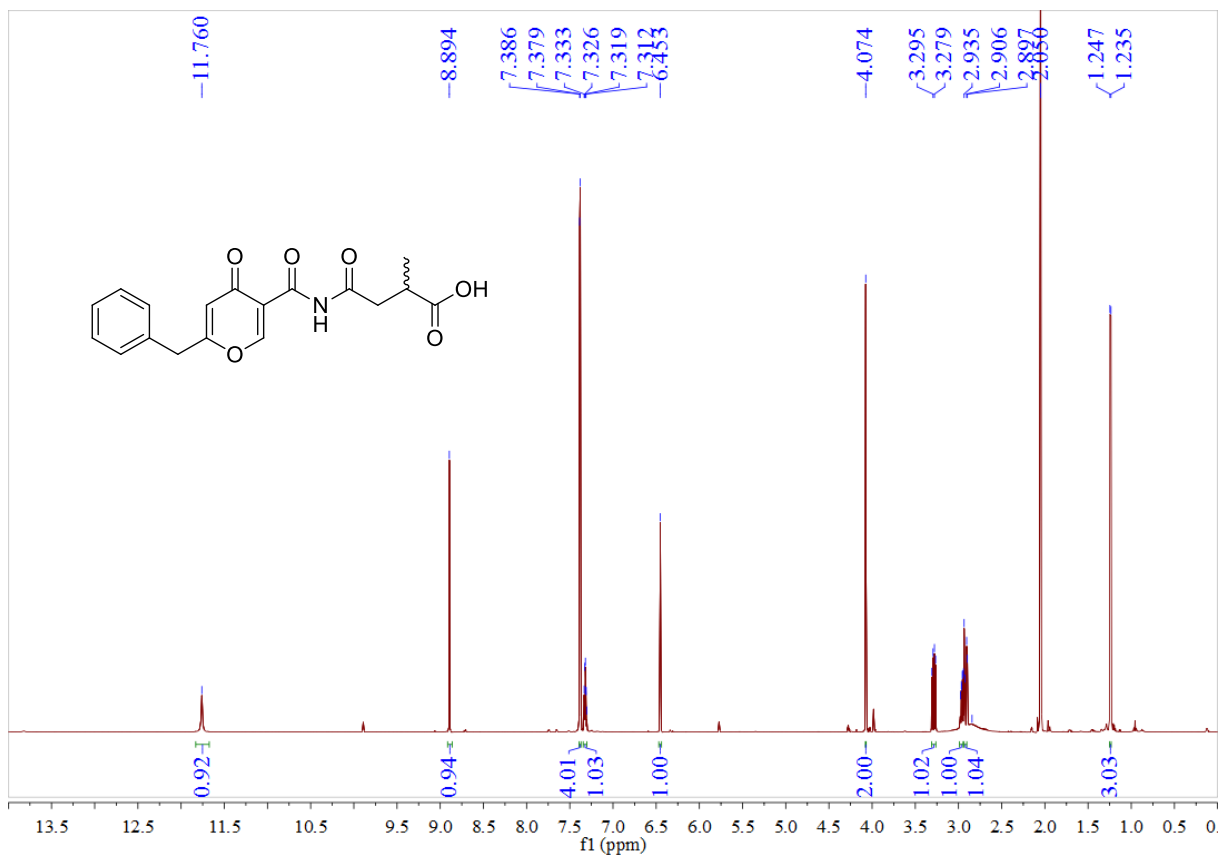


Figure S59. The ^1H NMR spectrum (600 MHz) of **18** in acetone- d_6

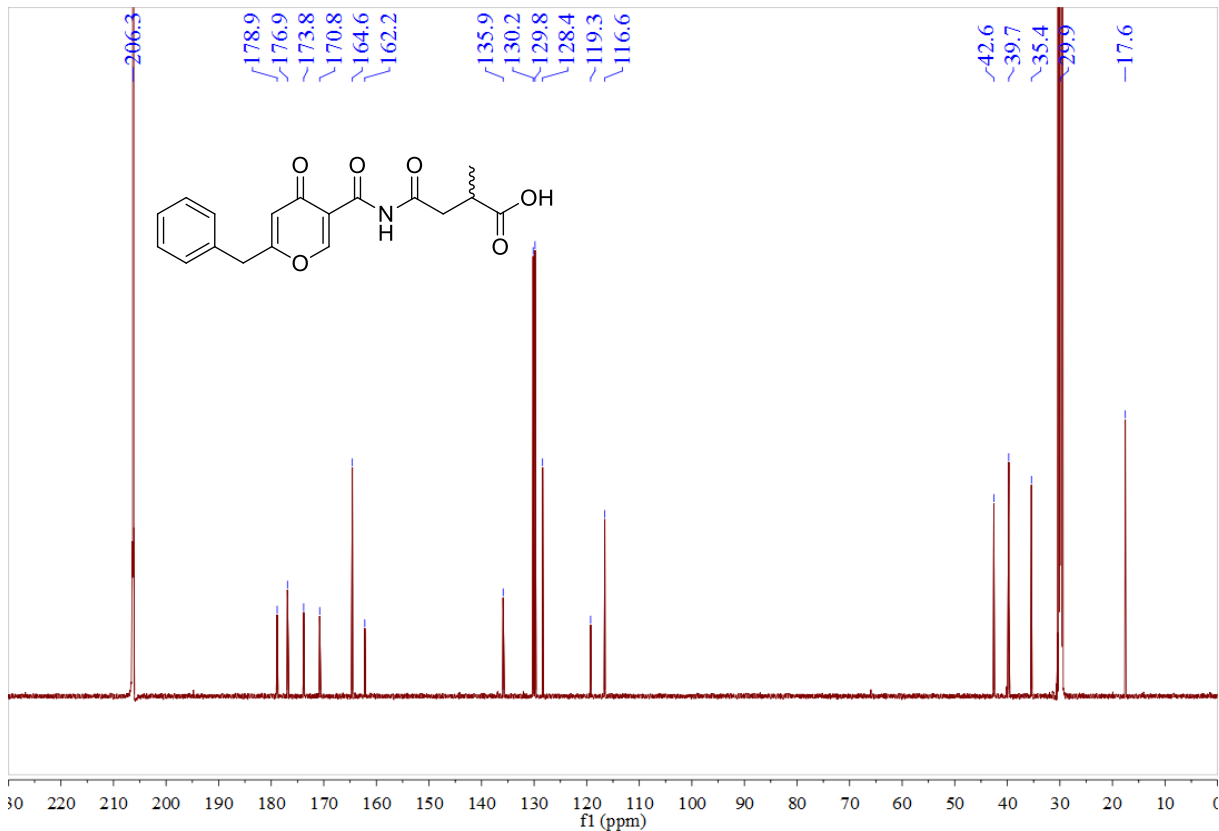
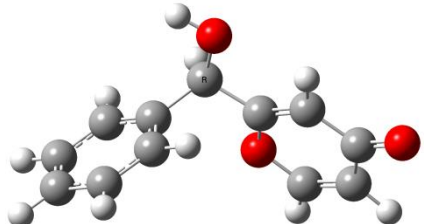
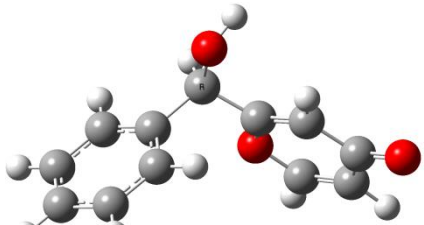


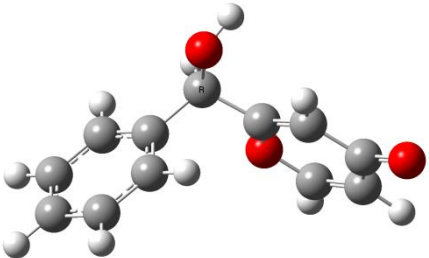
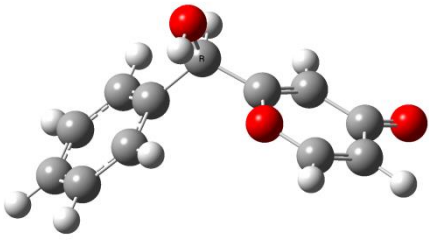
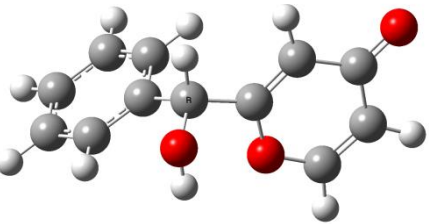
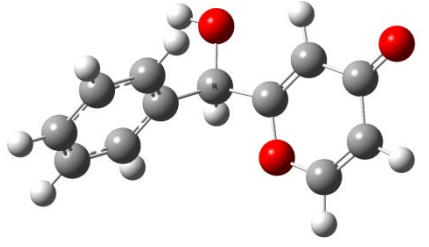
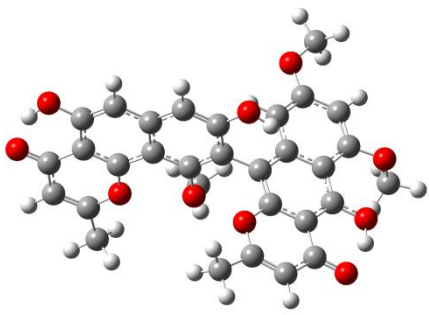
Figure S60. The ^{13}C NMR spectrum (150 MHz) of **18** in acetone- d_6

General procedure for ECD calculations

In general, conformational analyses of compounds **1** and **12** are carried out via systematic searching in the WaveFunction Spartan 14 (version 1.1.4) using the MMFF94 force field. Conformers with Boltzmann distribution over 1% are chosen as the beginning for ECD calculations. Ground-state geometries are optimized at the B3LYP/6-311+G(d,p) level in gas phase by the Gaussian 16 program (Gaussian Inc., Wallingford, CT, USA).¹ All quantum computations are performed on an IBM cluster machine located at the High Performance Computing Center of Peking Union Medical College. The energies, oscillator strengths, and rotational strengths (velocity) of the first 50 electronic excitations are calculated using the TD-DFT methodology at the B3LYP/6-311+G(d,p) level in methanol. The ECD spectra are simulated by the overlapping Gaussian function (half the bandwidth at 1/e peak height, 0.25 eV).² By comparison of the calculated and experimental ECD spectra, the absolute configurations of these compounds are established.

Table 1. The 3D conformers of **1** and **12** with Boltzmann distribution over 1%.

Compounds	no.	3D Conformers	ΔG (kcal/mol)	Population (%)
1	1		0.00	79.7
	2		5.92	7.3

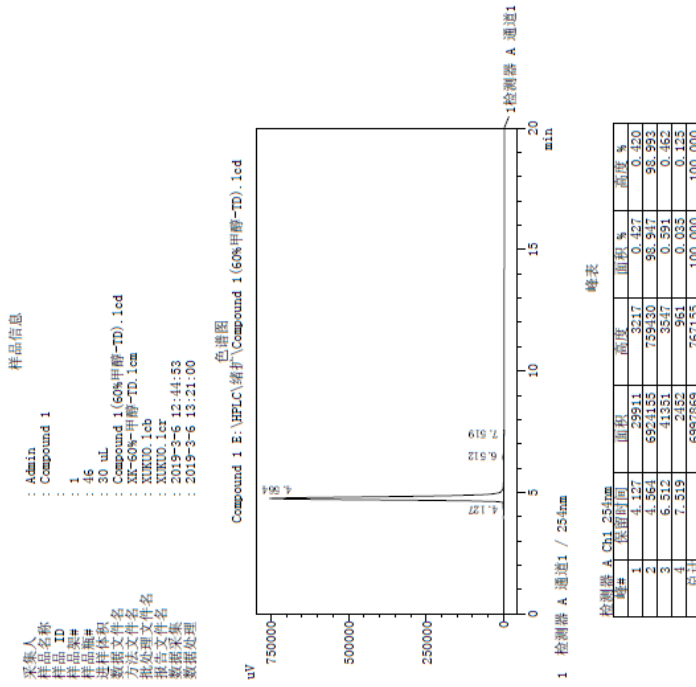
	3		6.73	5.3
	4		7.48	3.9
	5		8.39	0.027
	6		10.54	1.1
12	1		0.00	100.0

References:

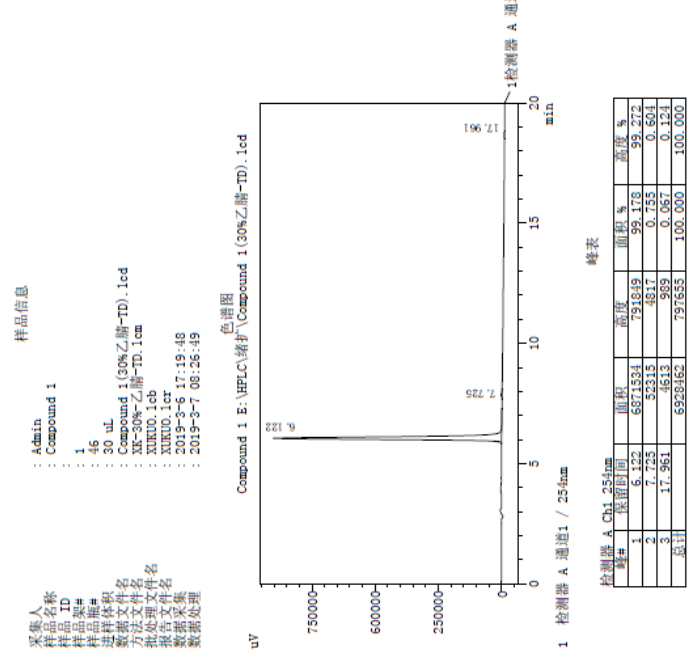
1. Frisch, M. J.; Trucks, G. W.; Schlegel, H. B.; Scuseria, G. E.; Robb, M. A.; Cheeseman, J. R.; Scalmani, G.; Barone, V.; Mennucci, B.; Petersson, G. A.; Nakatsuji, H.; Caricato, M.; Li, X.; Hratchian, H. P.; Izmaylov, A. F.; Bloino, J.; Zheng, G.; Sonnenberg, J. L.; Hada, M.; Ehara, M.; Toyota, K.; Fukuda, R.; Hasegawa, J.; Ishida, M.; Nakajima, T.; Honda, Y.; Kitao, O.; Nakai, H.; Vreven, T.; Montgomery, Jr., J. A.; Peralta, J. E.; Ogliaro, F.; Bearpark, M.; Heyd, J. J.; Brothers, E.; Kudin, K. N.; Staroverov, V. N.; Kobayashi, R.; Normand, J.; Raghavachari, K.; Rendell, A.; Burant, J. C.; Iyengar, S. S.; Tomasi, J.; Cossi, M.; Rega, N.; Millam, J. M.; Klene, M.; Knox, J. E.; Cross, J. B.; Bakken, V.; Adamo, C.; Jaramillo, J.; Gomperts, R.; Stratmann, R. E.; Yazyev, O.; Austin, A. J.; Cammi, R.; Pomelli, C.; Ochterski, J. W.; Martin, R. L.; Morokuma, K.; Zakrzewski, V. G.; Voth, G. A.; Salvador, P.; Dannenberg, J. J.; Dapprich, S.; Daniels, A. D.; Farkas, Ö.; Foresman, J. B.; Ortiz, J. V.; Cioslowski, J.; Fox, D. J. Gaussian 09, Rev. C 01; Gaussian, Inc., Wallingford CT, 2009.
2. Stephens, P. J.; Harada, N. ECD cotton effect approximated by the Gaussian curve and other methods. *Chirality* **2010**, 22, 229–233.

Analytical HPLC spectra for all isolated compounds (1–18)

==== Shimadzu LCsolution 分析报告 ===



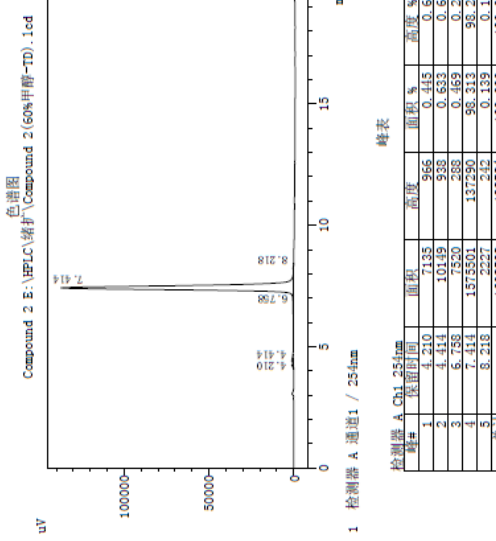
==== Shimadzu LCsolution 分析报告 ===



==== Shimadzu LCsolution 分析报告 ====

样品信息

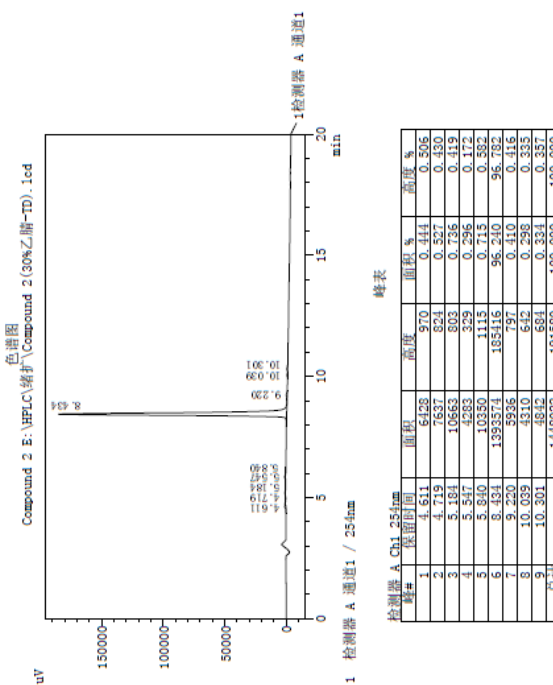
采集人	Admin
样品名称	Compound 2
样品ID	1
进样体积	47
数据文件名	Compound 2 (60%甲醇-TD).1cd
方法处理文件名	XX-60%_乙腈-TD.1cm
报告文件名	XKHO.1cb
数据采集文件名	XKHO.1cr
数据处理文件名	2019-3-6 13:08:24
采集日期	2019-3-6 13:38:44
数据处理日期	2019-3-7 08:27:38



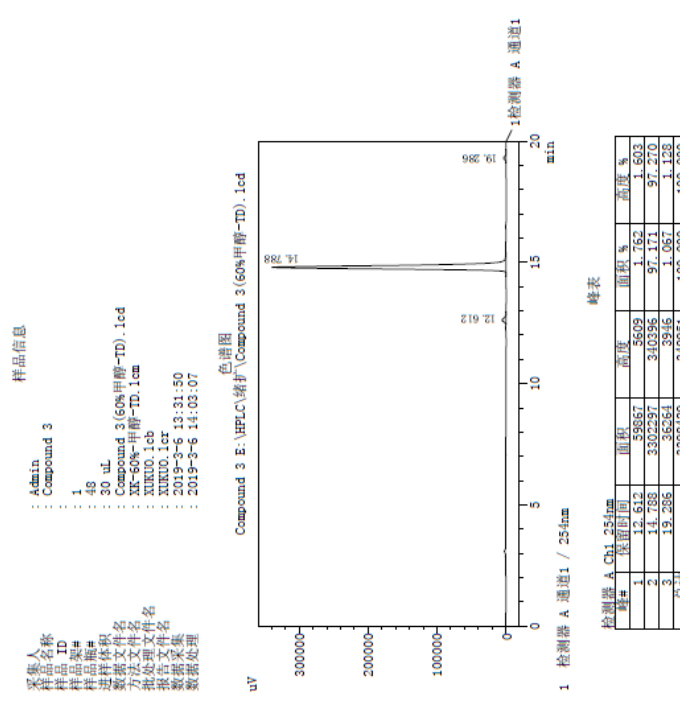
==== Shimadzu LCsolution 分析报告 ====

样品信息

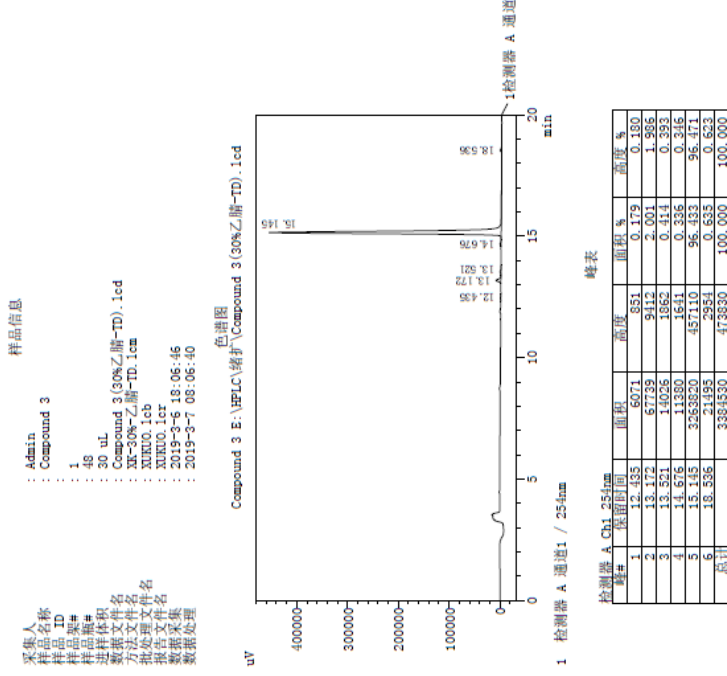
采集人	Admin
样品名称	Compound 2
样品ID	1
进样体积	47
数据文件名	Compound 2 (30%乙腈-TD).1cd
方法处理文件名	XX-30%_乙腈-TD.1cm
报告文件名	XKHO.1cb
数据采集文件名	XKHO.1cr
数据处理文件名	2019-3-6 17:43:17
采集日期	2019-3-6 13:08:24
数据处理日期	2019-3-7 08:27:38



==== Shimadzu LCsolution 分析报告 ====

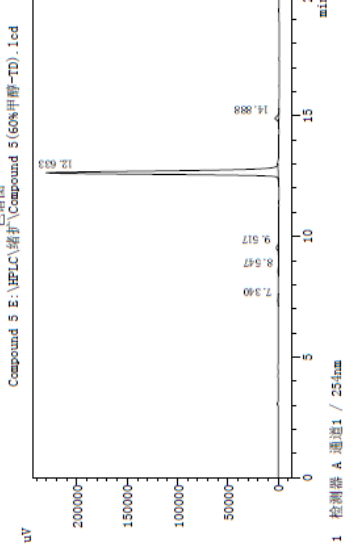


==== Shimadzu LCsolution 分析报告 ====



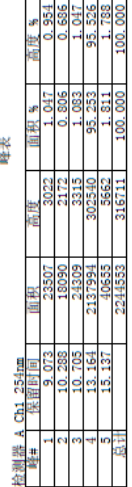
===== Shimadzu LCsolution 分析报告 =====

采集人 : Admin
样品名称 : Compound 5
样品ID : 1
进样体积 : 50 uL
进样体积# : 30 uL
进样体积文件名 : Compound 5(60%甲醇-TD).1cd
数据文件名 : XK-50%-甲醇-TD.1cm
方法文件名 : XK-50%-Z 脍-TD.1cm
报生文件名 : XK10_1.cbf
报生文件名 : XK10_1.er
报生文件名 : 2015-3-6 14:48:33
数据处理 : 2015-3-6 14:48:44
数据处理 : 2015-3-6 14:48:33



检测器 A Ch1 254nm	保留时间	面积	面积 %	高度	高度 %
1	7.340	5501	505	0.244	0.212
2	8.517	7281	643	0.323	0.270
3	9.517	29414	2316	1.305	0.973
4	12.633	2171555	23720	96.369	96.970
5	14.888	38652	3722	1.758	1.566
总计		2253333	237930	100.000	100.000

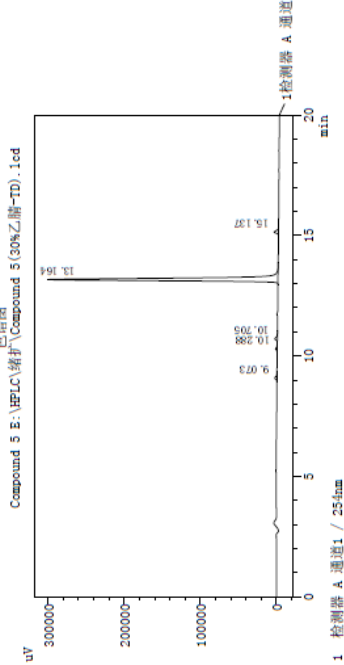
峰表
检测器 A Ch1 254nm



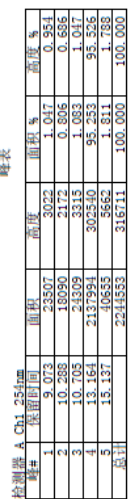
峰表
检测器 A Ch1 254nm

===== Shimadzu LCsolution 分析报告 =====

采集人 : Admin
样品名称 : Compound 5
样品ID : 1
进样体积 : 50 uL
进样体积# : 30 uL
进样体积文件名 : Compound 5(30%乙腈-TD).1cd
数据文件名 : XK-50%-Z 脍-TD.1cm
方法文件名 : XK-50%-Z 脍-TD.1cm
报生文件名 : XK10_1.cbf
报生文件名 : XK10_1.er
报生文件名 : 2015-3-6 13:53:33
数据处理 : 2015-3-7 07:54:32



峰表
检测器 A Ch1 254nm



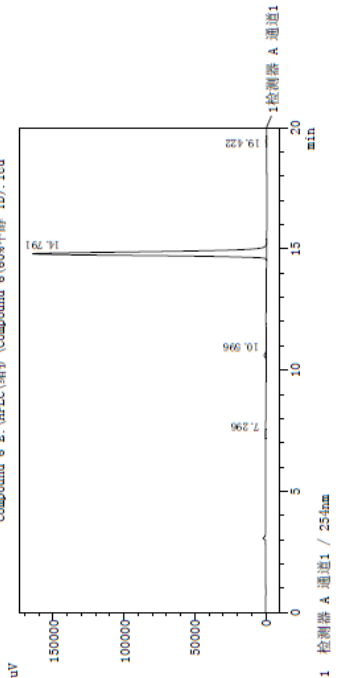
峰表
检测器 A Ch1 254nm

==== Shimadzu LCsolution 分析报告 ====

样品信息

采集人 Admin
样品名称 Compound 6
样品ID 1
样品施# 51
进样体积 30 uL
数据文件名 Compound 6 (60%甲醇-TD).1cd
方法文件名 XX-60%-甲醇-TD.1cm
批处理文件名 XMXN0.1cb
报告文件名 XMXN0.1cr
数据采集 2019-3-6 19:17:04
数据处理 2019-3-6 19:40:05
2019-5-8 14:42:10
2019-5-8 15:03:10

Compound 6 E:\HPLC\维扩\Compound 6 (60%甲醇-TD).1cd 色谱图



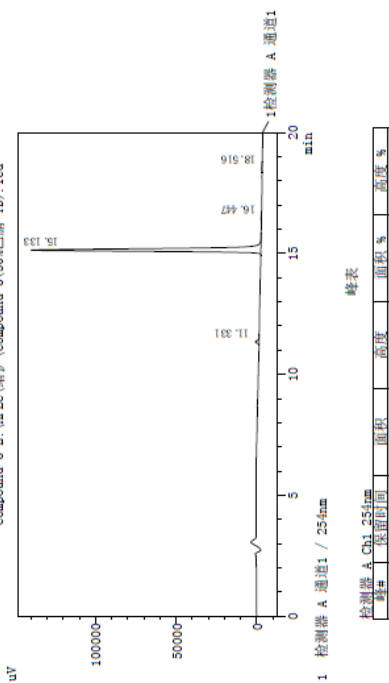
检测器 A Ch1 254nm					
峰#	保留时间	面积	面积 %	高度	高度 %
1	7.296	1318	0.074	0.079	1.507
2	10.995	15553	1412	0.976	9.305
3	11.994	173515	16505	0.845	3.45
4	19.472	173509	1643	0.211	0.251
总计		1716317	161072	100.000	100.000

==== Shimadzu LCsolution 分析报告 ====

样品信息

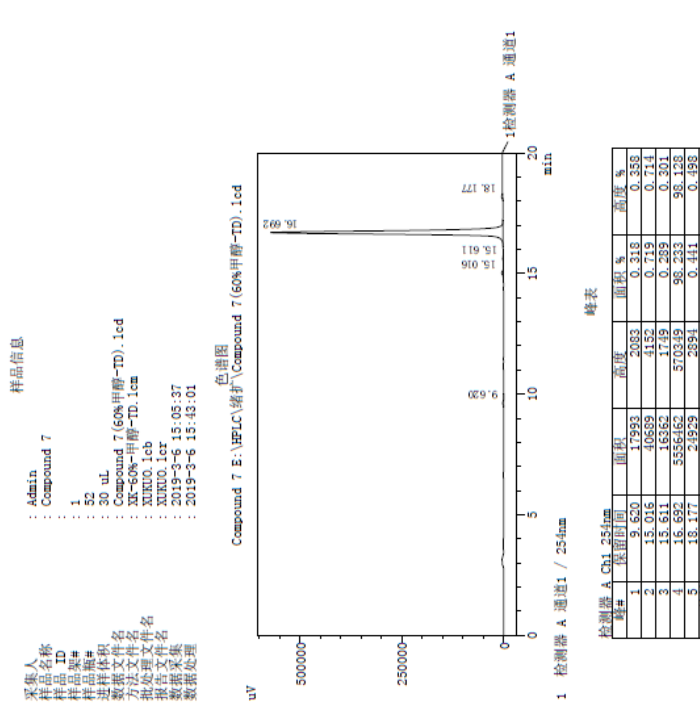
采集人 Admin
样品名称 Compound 6
样品ID 1
样品施# 51
进样体积 30 uL
数据文件名 Compound 6 (30%乙腈-TD).1cd
方法文件名 XX-30%-乙腈-TD.1cm
批处理文件名 XMXN0.1cb
报告文件名 XMXN0.1cr
数据采集 2019-3-6 19:17:04
数据处理 2019-3-6 19:40:05

Compound 6 E:\HPLC\维扩\Compound 6 (30%乙腈-TD).1cd 色谱图

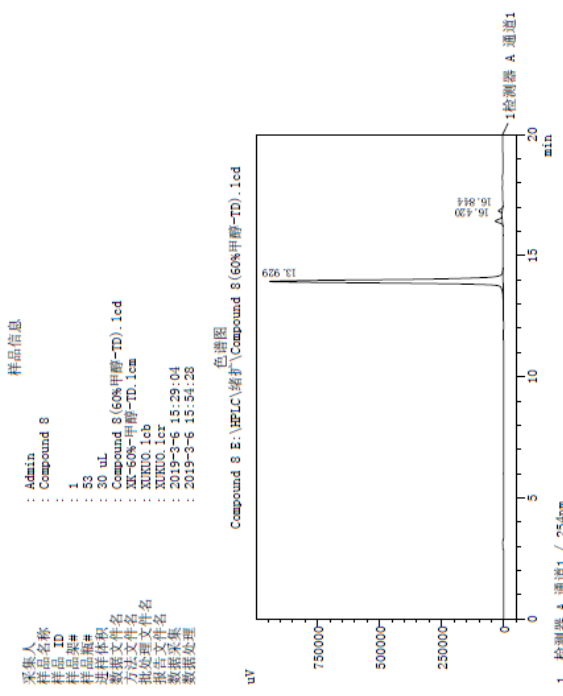


检测器 A Ch1 254nm					
峰#	保留时间	面积	面积 %	高度	高度 %
1	11.331	16413	22.57	1.552	1.507
2	15.133	106882	14534	97.935	98.005
3	16.447	3239	3.45	0.303	0.237
4	18.516	2769	3.00	0.251	0.206
总计		1083334	145356	100.000	100.000

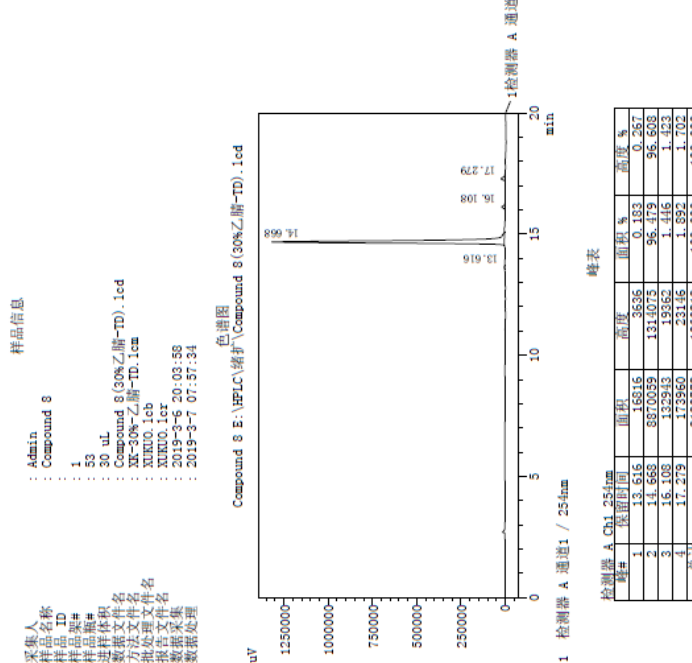
==== Shimadzu LCsolution 分析报告 =====



==== Shimadzu LCsolution 分析报告 ====

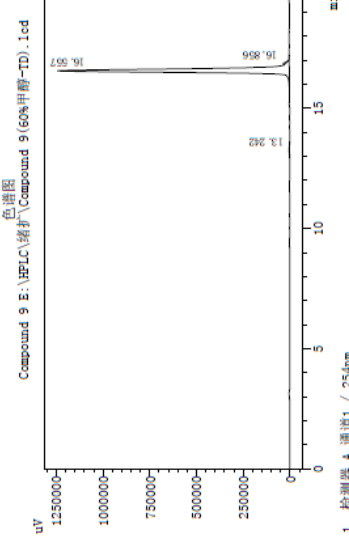


==== Shimadzu LCsolution 分析报告 ====



==== Shimadzu LCsolution 分析报告 ====

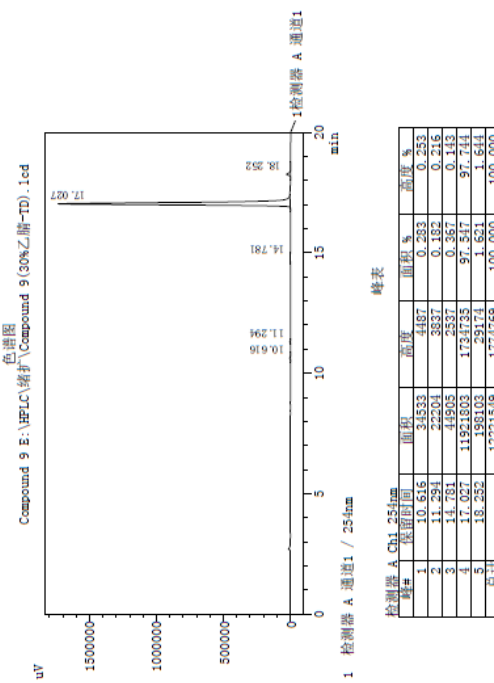
采集人 : Admin
 样品名称 : Compound 9
 样品ID : 1
 样品瓶# : 54
 进样体积 : 30 ul
 样品瓶# : Compound 9 (60%甲醇-TD).1cd
 样品名称 : Compound 9 (60%甲醇-TD).1cm
 数据文件名 : XX-60%-乙腈-TD.1cm
 批处理文件名 : XMKIO.1cb
 报告文件名 : XMKIO.1cr
 报告采集日期 : 2019-3-6 15:52:33
 数据采集日期 : 2019-3-7 07:59:29
 数据处理日期 : 2019-3-7 08:01:13



检测器 A Ch1 254nm	保留时间	面积	面积 %	高度	高度 %
1	13.242	55900	0.350	0.350	0.253
2	16.557	1205614	1340172	99.001	98.786
3	16.856	559928	10845	0.459	0.861
总计	12181342	13551408	100.000	100.000	100.000

==== Shimadzu LCsolution 分析报告 ====

采集人 : Admin
 样品名称 : Compound 9
 样品ID : 1
 样品瓶# : 54
 进样体积 : 30 ul
 样品瓶# : Compound 9 (30%乙腈-TD).1cd
 样品名称 : Compound 9 (30%乙腈-TD).1cm
 数据文件名 : XX-30%-乙腈-TD.1cm
 批处理文件名 : XMKIO.1cb
 报告文件名 : XMKIO.1cr
 报告采集日期 : 2019-3-6 20:27:25
 数据采集日期 : 2019-3-7 08:01:13
 数据处理日期 : 2019-3-7 08:59:29



Shimadzu LCsolution 分析报告

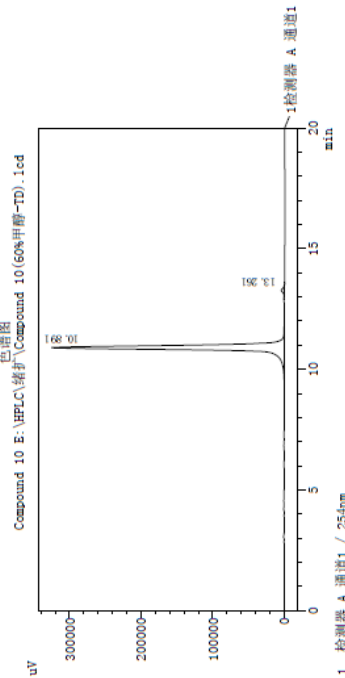
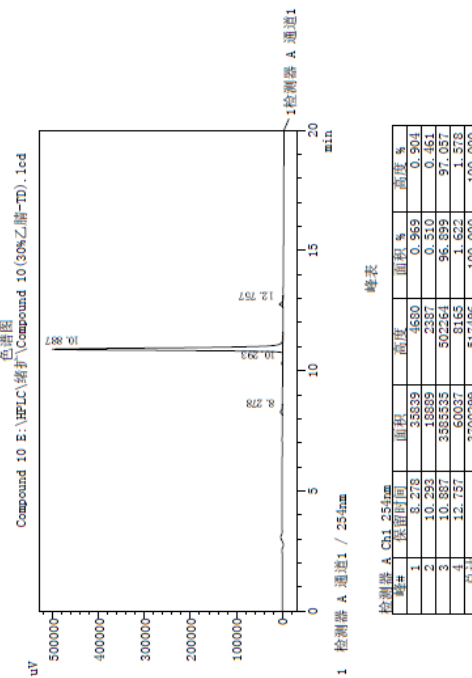


表 2-1 峰表

1

Shimadzu LCsolution 分析報告

样品信息	Admin	Compound 10	1	55	30 μ L	Compound 10(30%乙腈-TD).1cm	XKUO..1cr	XKUO..1cr	20-50:33
采集人姓名	采集品名称	样品品性	进针号	体积	积分	文件名	采集人姓名	采集品名称	日期

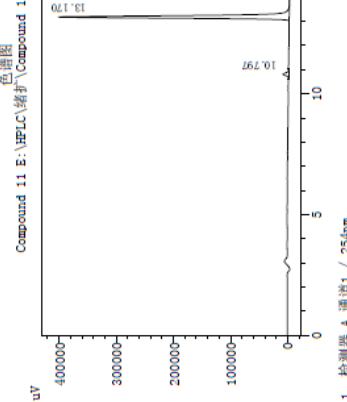


14

==== Shimadzu LCsolution 分析报告 ====

样品信息

采集人 : Admin
样品名称 : Compound 11
样品ID : 1
样品采集# : 56
进样体积 : 30 uL
方法文件名 : Compound 11(60%甲醇-TD).1cd
报告文件名 : XX-60%_乙腈-TD.1cm
数据文件名 : XRMIO.1cb
批处理文件名 : XRMIO.1cr
报告生成时间 : 2019-3-7 13:16:41
数据采集 : 2019-3-7 13:39:43
数据处理 : 2019-3-7 13:49:13



峰表					
检测器 A	Ch1 254nm	保留时间	面积	高度	面积 %
1	10.797	154367	11575	2.556	2.767
2	13.170	705957	406754	97.444	97.233
总计		7214524	4163329	100.000	100.000

峰表

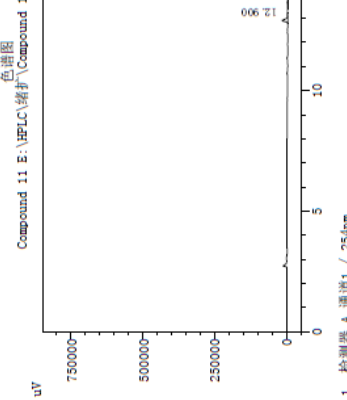


峰表					
检测器 A	Ch1 254nm	保留时间	面积	高度	面积 %
1	10.79	154367	11575	2.556	2.720
2	13.618	705957	406754	97.444	97.193
总计		7214524	4163329	100.000	100.000

==== Shimadzu LCsolution 分析报告 ====

样品信息

采集人 : Admin
样品名称 : Compound 11
样品ID : 1
样品采集# : 56
进样体积 : 30 uL
方法文件名 : Compound 11(30%乙腈-TD).1cd
报告文件名 : XX-30%_乙腈-TD.1cm
数据文件名 : XRMIO.1cb
批处理文件名 : XRMIO.1cr
报告生成时间 : 2019-3-7 08:26:10
数据采集 : 2019-3-7 08:49:13
数据处理 : 2019-3-7 08:49:13



峰表

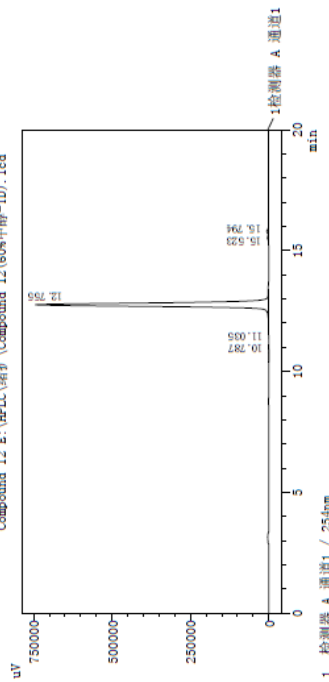
峰表					
检测器 A	Ch1 254nm	保留时间	面积	高度	面积 %
1	10.797	154367	11575	2.556	2.767
2	13.618	705957	406754	97.444	97.233
总计		7214524	4163329	100.000	100.000

==== Shimadzu LCsolution 分析报告 =====

样品信息

采集人 : Admin
 样品名称 : Compound 12
 样品ID : 1
 样品量# : 57
 样品体积# : 30 uL
 进样体积# : Compound 12(60%甲醇-TD).1cd
 数据文件名# : XX-60%-甲醇-TD.1cm
 方法文件名# : XRMIO.1cb
 报告文件名# : XRMIO.1cr
 批处理文件名# : XRMIO.1cr
 数据采集 : 2013-3-7 13:40:09
 数据处理 : 2013-3-7 14:14:13

Compound 12 E:\HPLC\维扩\Compound 12 (60%甲醇-TD).1cd



峰表

检测器 A Ch1 254nm	
峰#	保留时间
1	10.787
2	11.035
3	12.755
4	15.223
5	15.794
总	14.245

	高度	面积	面积 %	高度 %
1	5375	353	0.073	0.048
2	729	90	0.010	0.012
3	74337	98.612	98.675	98.612
4	32177	0.453	0.495	0.453
5	58699	5764	0.732	0.768
总	753362	100.000	100.000	100.000

检测器 A Ch1 254nm	
峰#	保留时间
1	12.319
2	13.511
3	13.825
4	16.873
总	1123016

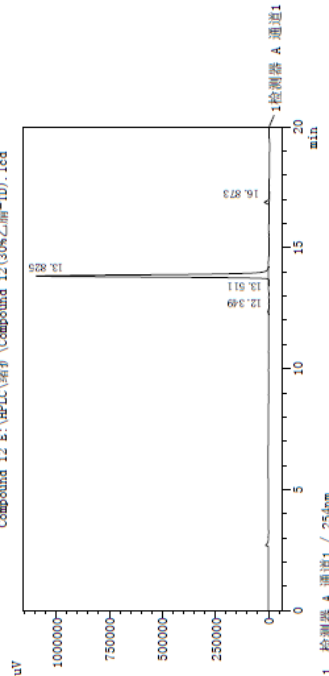
	高度	面积	面积 %	高度 %
1	10164	1582	4558	0.371
2	713105	109465	97.246	0.441
3	22171	16485	97.244	97.244
4	7345310	1123016	100.000	100.000

==== Shimadzu LCsolution 分析报告 =====

样品信息

采集人 : Admin
 样品名称 : Compound 12
 样品ID : 1
 样品量# : 57
 样品体积# : 30 uL
 进样体积# : Compound 12(30%乙腈-TD).1cd
 数据文件名# : XX-30%-乙腈-TD.1cm
 方法文件名# : XRMIO.1cb
 报告文件名# : XRMIO.1cr
 批处理文件名# : XRMIO.1cr
 数据采集 : 2013-3-7 08:49:39
 数据处理 : 2013-3-7 09:39:03

Compound 12 E:\HPLC\维扩\Compound 12 (30%乙腈-TD).1cd



峰表

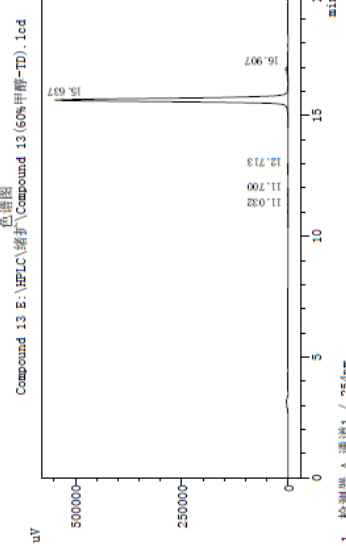
检测器 A Ch1 254nm	
峰#	保留时间
1	11.611
2	16.828
总	1123016

	高度	面积	面积 %	高度 %
1	10164	1582	4558	0.371
2	713105	109465	97.246	0.441
总	7345310	1123016	100.000	100.000

==== Shimadzu LCsolution 分析报告 ====

样品信息

采集人 : Admin
 样品名称 : Compound 13
 样品ID : 1
 样品描述# : 58
 进样体积 : 30 uL
 样品瓶# : Compound 13(60%甲醇-TD).1cd
 方法文件名 : XX-60%-TD.1cm
 数据文件名 : XMKIO.1cb
 批处理文件名 : XMKIO.1cr
 报告文件名 : 2019-3-7 14:03:35
 数据采集 : 2019-3-7 14:26:39
 数据处理 : 2019-3-7 14:03:35



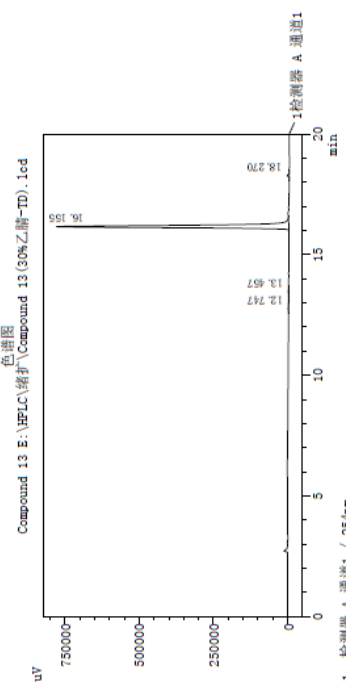
峰表

检测器 A Ch1 254nm					
峰#	保留时间	面积	面积 %	高度	高度 %
1	11.032	7976	601	0.145	0.122
2	11.700	8756	801	0.160	0.144
3	12.713	4611	505	0.084	0.091
4	15.637	510919	51652	98.361	98.573
5	16.907	607745	5992	1.250	1.069
总计		5193337	5555531	100.000	100.000

==== Shimadzu LCsolution 分析报告 ====

样品信息

采集人 : Admin
 样品名称 : Compound 13
 样品ID : 1
 样品描述# : 58
 进样体积 : 30 uL
 样品瓶# : Compound 13(30%乙腈-TD).1cd
 方法文件名 : XX-30%-TD.1cm
 数据文件名 : XMKIO.1cb
 批处理文件名 : XMKIO.1cr
 报告文件名 : 2019-3-7 09:13:07
 数据采集 : 2019-3-7 09:36:11
 数据处理 : 2019-3-7 09:36:11



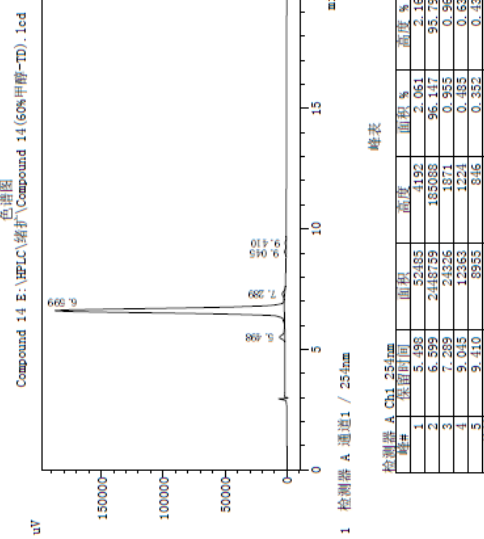
峰表

检测器 A Ch1 254nm					
峰#	保留时间	面积	面积 %	高度	高度 %
1	12.457	1270	1270	1.159	1.159
2	12.747	1270	1270	1.159	1.159
3	16.155	1270	1270	1.159	1.159
总计		3710	3710	3.477	3.477

==== Shimadzu LCsolution 分析报告 ====

采集人
样品名称
样品ID
样品瓶#
进样体积
进样器#
数据文件名
批处理文件名
报告文件名
报告文件集
数据集处理

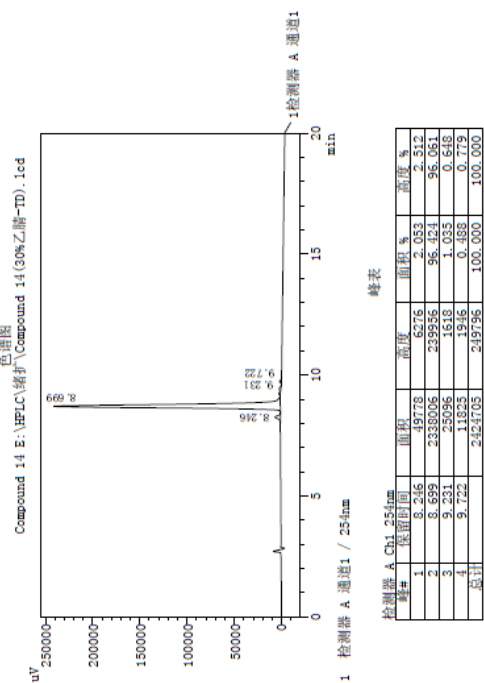
样品信息
Admin
Compound 14
1
59
30 uL
Compound 14(60%甲醇-TD).1cd
XF-60%-甲醇-TD.1cm
XRDIO.1cb
XRDIO.1cr
2013-3-7
2013-3-7
14:27:05
2013-3-7
15:04:50



==== Shimadzu LCsolution 分析报告 ====

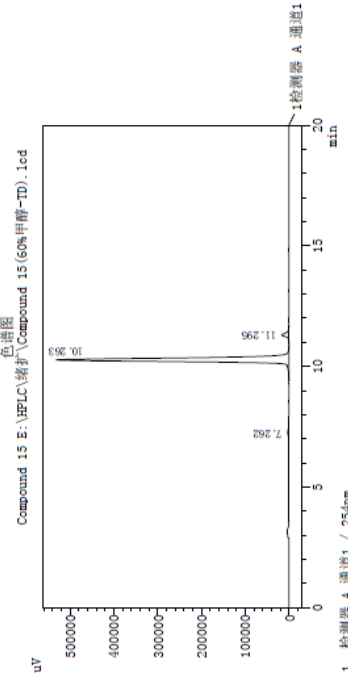
采集人
样品名称
样品ID
样品瓶#
进样体积
进样器#
数据文件名
批处理文件名
报告文件名
报告文件集
数据集处理

样品信息
Admin
Compound 14
1
59
30 uL
Compound 14(30%乙腈-TD).1cd
XF-30%-乙腈-TD.1cm
XRDIO.1cb
XRDIO.1cr
2013-3-7
2013-3-7
09:36:38
2013-3-7
09:59:41



==== Shimadzu LCsolution 分析报告 =====

采集人 Admin
样品名称 Compound 15
样品ID 1
样品体积 60 uL
进样体积 30 uL
进样器# Compound 15 (60%甲醇-TD).1cd
数据文件名 XX-60%-甲醇-TD.1cm
方法文件名 XRDIO.1cb
批处理文件名 XRDIO.1cr
报告文件名 2019-3-7 14:50:34
数据采集 2019-3-7 15:15:37
数据处理 2019-3-7 10:23:11

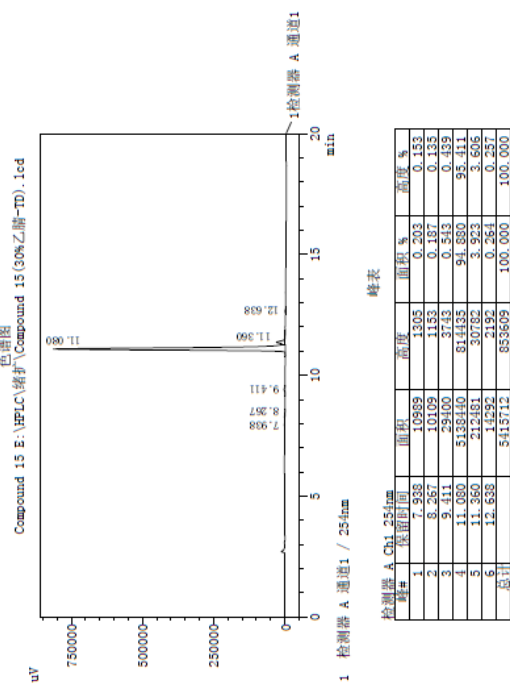


峰表					
检测器 A Ch1 254nm					
峰#	保留时间	面积	高度	面积 %	高度 %
1	7.262	33673	23.2	0.425	0.193
2	10.263	322266	53118	96.413	96.661
3	11.295	161821	16010	2.965	2.914
总计		5353760	555550	100.000	100.000

峰表					
检测器 A Ch1 254nm					
峰#	保留时间	面积	高度	面积 %	高度 %
1	7.262	33673	23.2	0.425	0.193
2	10.263	322266	53118	96.413	96.661
3	11.295	161821	16010	2.965	2.914
总计		5353760	555550	100.000	100.000

==== Shimadzu LCsolution 分析报告 =====

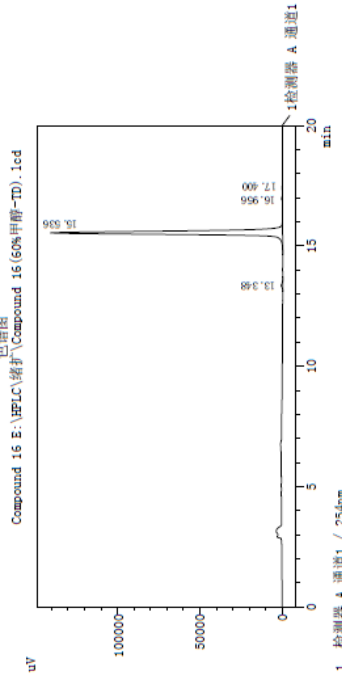
采集人 Admin
样品名称 Compound 15
样品ID 1
样品体积 60 uL
进样体积 30 uL
进样器# Compound 15 (30%乙腈-TD).1cd
数据文件名 XX-30%-乙腈-TD.1cm
方法文件名 XRDIO.1cb
批处理文件名 XRDIO.1cr
报告文件名 2019-3-7 10:00:08
数据采集 2019-3-7 10:23:11
数据处理 2019-3-7 10:23:11



峰表					
检测器 A Ch1 254nm					
峰#	保留时间	面积	高度	面积 %	高度 %
1	9.411	8377	7.938	0.153	0.153
2	11.262	11099	11.262	0.197	0.197
3	11.262	10169	11.262	0.197	0.197
4	11.262	29400	11.262	0.543	0.543
5	11.262	513440	11.262	91.880	91.880
6	11.262	212481	11.262	3.923	3.923
总计		655609	11.262	0.261	0.261
		5415712	11.262	100.000	100.000

Shimadzu LCsolution 分析报告

人 称 名 姓 名 文 程 处理
采 集 品 名 ID 架 # 和 件 文 球 文 采 程
采 样 品 品 品 槽 # 件 文 球 文 采 程
采 样 品 品 品 槽 # 件 文 球 文 采 程
采 样 品 品 品 槽 # 件 文 球 文 采 程
采 样 品 品 品 槽 # 件 文 球 文 采 程

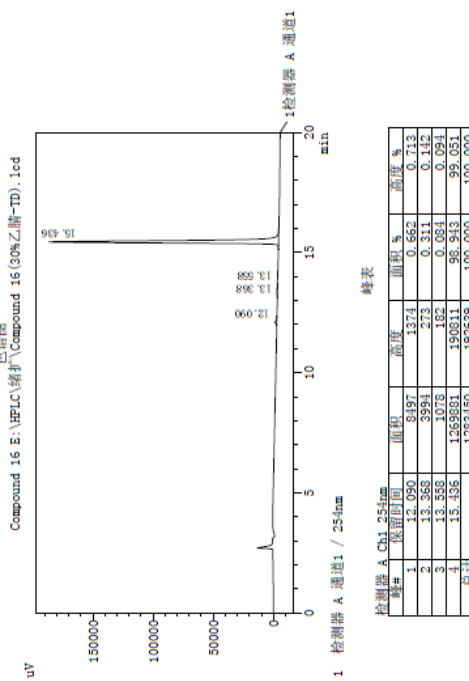


站號	A Ch1 25mm	雨量	面積	面重	面積 %	面重 %
1	13.318	87.40	877	0.655	0.114	
2	15.535	131.931	1411.62	0.870	0.833	
3	16.955	4357	612	0.327	0.428	
4	17.400	197.68	250	0.146	0.175	
G1		13344.00	14293.21	1.000	1.000	1.000

114

Shimadzu LCsolution 分析报告

样品信息	
Admin	Compound 16
采集人	1
采样品种	1
采样地点	XH-2018-7
采样时间	2019-3-7
采样方法	15.0%Z-醋-1D, 1cm
采样部位	15.0%Z-醋-1D, 1cm
采样状态	15.0%Z-醋-1D, 1cm
采样人姓名	XHNUO_16
采样人学名	XHNUO_16
采样人简介	2019-3-7 10:33:36
采样人邮箱	2019-3-7 10:46:39

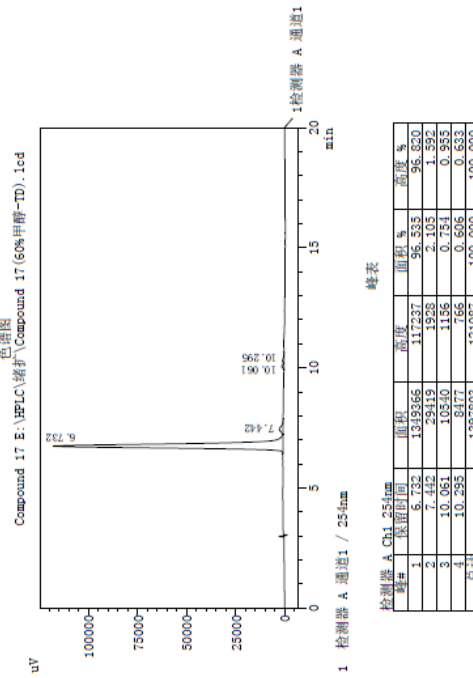


峰表					
综合测距 A Ch1.25mm		高程间		高程 %	
测站号	高程间	高程	高程	高程	高程 %
1	12.050	6.917	13.174	0.662	0.713
2	13.363	3.994	7.773	0.311	0.142
3	13.558	1.569	1.822	0.038	0.094
4	15.456	15.958	16.011	98.913	99.051
总高差	123.3150	21.3139	100.000	100.000	100.000

七

===== Shimadzu LCsolution 分析报告 =====

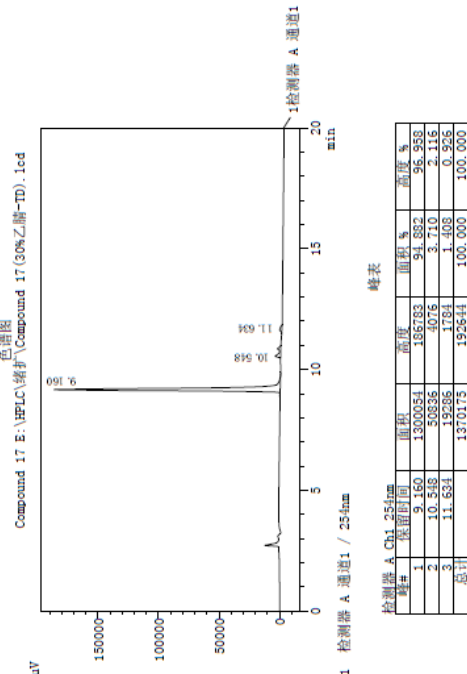
采集人 : Admin
 样品名称 : Compound 17
 样品ID : 1
 样品瓶# : 62
 样品体积 : 30 uL
 样品瓶# : Compound 17(60%甲醇-TD).1.cld
 样品体积 : XX-60%-甲醇-TD.1cm
 数据文件名 : XH-60%-乙腈-TD.1.cld
 处理文件名 : XHEDO.1cb
 报告文件名 : XHEDO.1cr
 指定文件名 : 2019-3-7 15:37:31
 数据采集 : 2019-3-7 16:00:34
 数据处理 : 2019-3-7 14:36:53



1 检测器 A 通道1					
峰#	保留时间	面积	高度	面积 %	高度 %
1	9.160	1300054	186783	94.982	96.358
2	10.548	50836	1075	3.710	2.116
3	11.634	19265	1784	1.408	0.926
总计		1370175	195644	100.000	100.000

===== Shimadzu LCsolution 分析报告 =====

采集人 : Admin
 样品名称 : Compound 17
 样品ID : 1
 样品瓶# : 62
 样品体积 : 30 uL
 样品瓶# : Compound 17(30%乙腈-TD).1.cld
 样品体积 : XX-30%-乙腈-TD.1cm
 数据文件名 : XH-30%-乙腈-TD.1.cld
 处理文件名 : XHEDO.1cb
 报告文件名 : XHEDO.1cr
 指定文件名 : 2019-3-7 14:47:04
 数据采集 : 2019-3-7 14:36:53

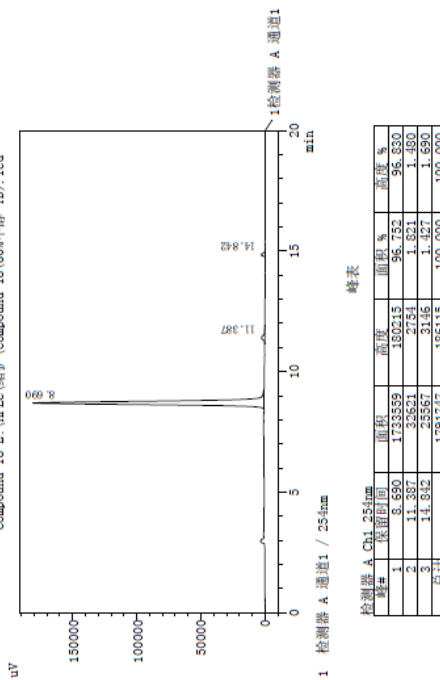


==== Shimadzu LCsolution 分析报告 ====

样品信息

采集人 : Admin
样品名称 : Compound 18
样品ID : 1
样品瓶# : 63
进样体积 : 30 uL
进样器 : Compound 18(60%甲醇-TD).1cd
数据文件名 : XX-60%-甲醇-TD.1cm
数据文件名 : XNKO.1cb
批处理文件名 : XNKO.1cr
报告文件名 : XNKO.1cr
数据采集 : 2019-3-7 11:10:32
数据处理 : 2019-3-7 11:33:33

Compound 18 E:\HPLC\维护\Compound 18 (60%甲醇-TD).1cd 色谱图



==== Shimadzu LCsolution 分析报告 ====

样品信息

采集人 : Admin
样品名称 : Compound 18
样品ID : 1
样品瓶# : 63
进样体积 : 30 uL
进样器 : Compound 18(30%乙腈-TD).1cd
数据文件名 : XX-30%-乙腈-TD.1cm
数据文件名 : XNKO.1cb
批处理文件名 : XNKO.1cr
报告文件名 : XNKO.1cr
数据采集 : 2019-3-7 11:10:32
数据处理 : 2019-3-7 11:33:33

Compound 18 E:\HPLC\维护\Compound 18 (30%乙腈-TD).1cd 色谱图

